

# PANMEP

PROGRAMA ANDALUZ DE FORMACIÓN EN MEDICINA  
PERSONALIZADA Y DE PRECISIÓN

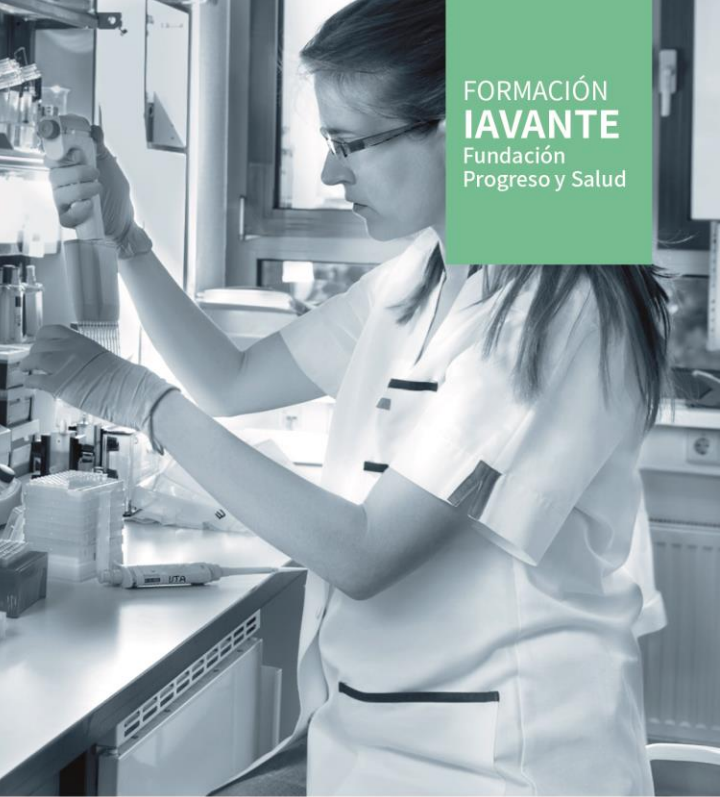
EXPERTO UNIVERSITARIO EN MEDICINA PERSONALIZADA Y DE PRECISIÓN

# DIAGNÓSTICO MOLECULAR

ORGANIZAN:

- Consejería de Salud y Consumo, Fundación Progreso y Salud - IAVANTE
- Universidad Internacional de Andalucía

FORMACIÓN  
IAVANTE  
Fundación  
Progreso y Salud



COLABORA

**Johnson&Johnson**

ORGANIZAN

**i un**  
Universidad  
Internacional  
de Andalucía  
**A**

**Junta de Andalucía**  
Consejería de Salud y Consumo

## Diagnóstico molecular

# Casos prácticos I

Federico Rojo

# Caso 1.

## Alteración de ALK

Mujer 68 años

Sin antecedentes tabáquicos

Antecedentes: HTA

5/22: Estudiada por Neumología como NÓDULO EN LSD A ESTUDIO por lesión en LSD objetivada en TC de tórax. Nódulo de contorno mal definido de unos 15 mm en segmento anterior del LSD. Se identifican varios pequeños nódulos periféricos milimétricos bilaterales.

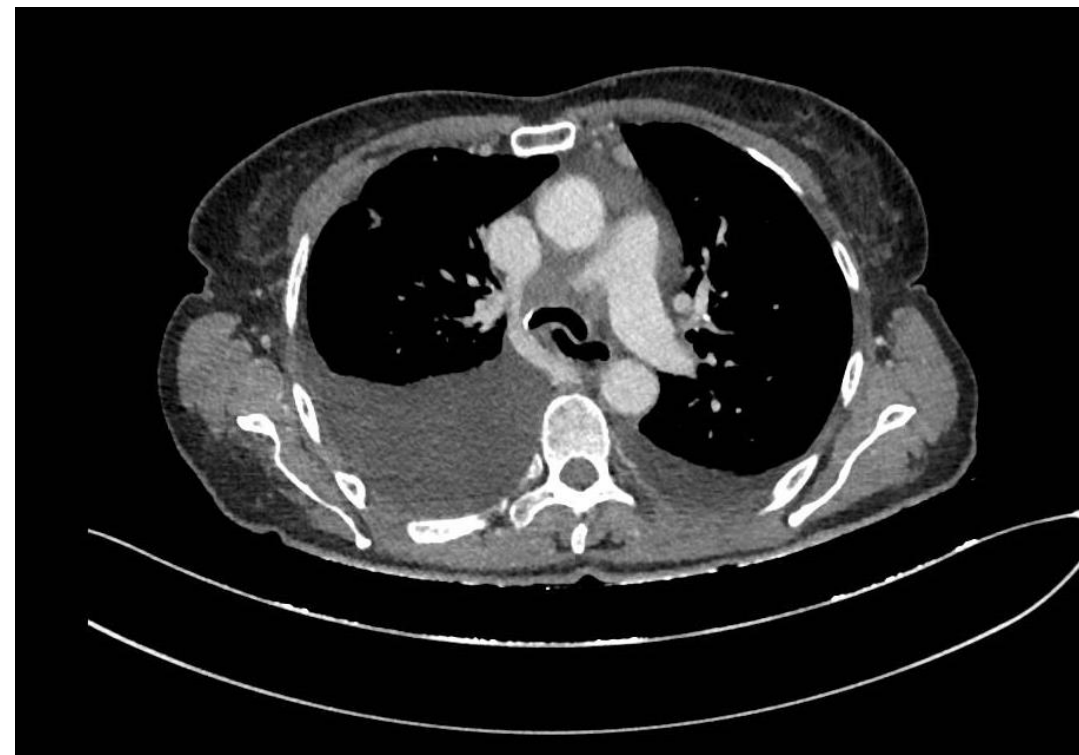
Adenopatías paratraqueal en hilio pulmonar derecho y en espacio subcarinal

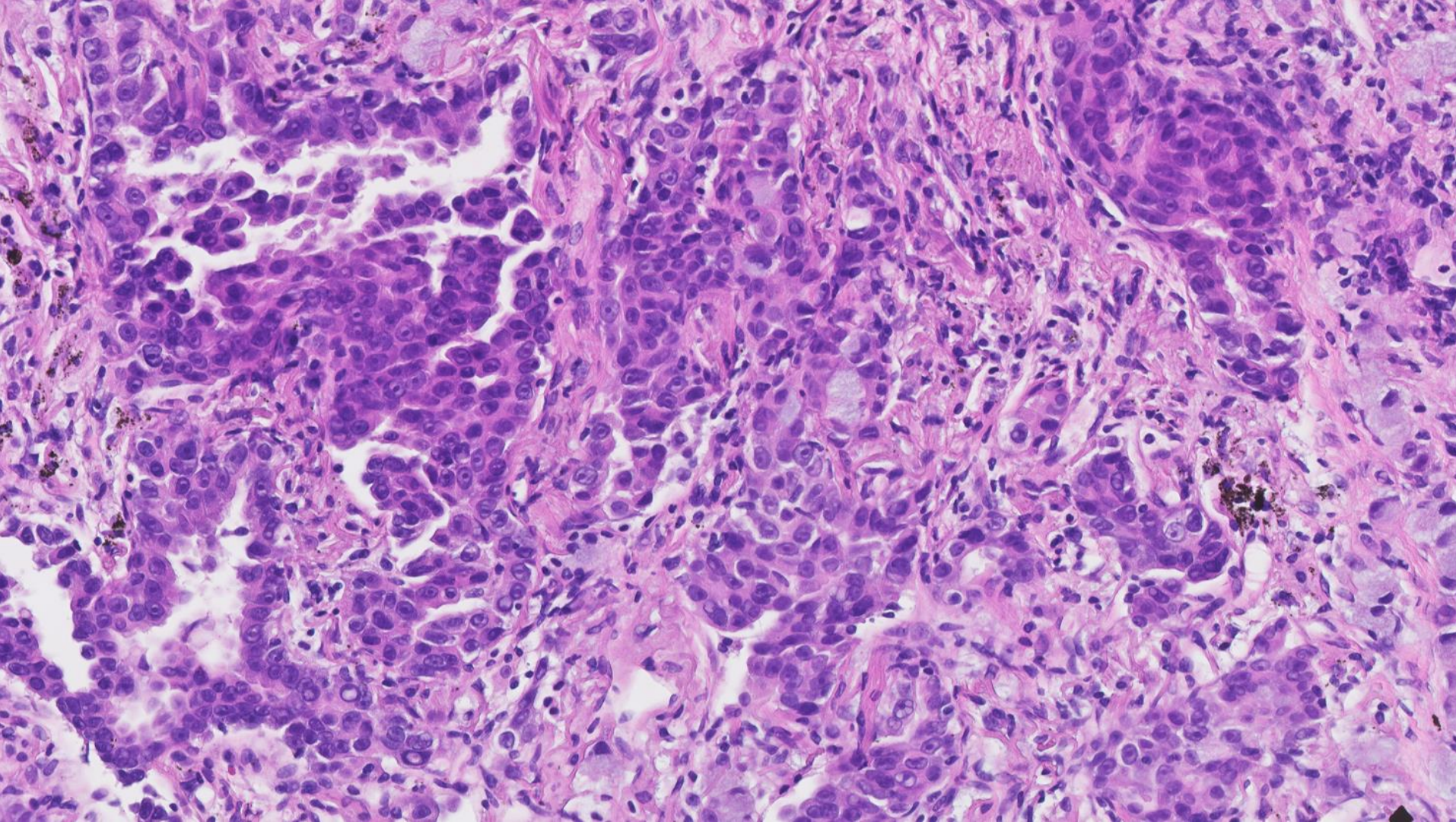
Captación en PET-TC con 18FDG

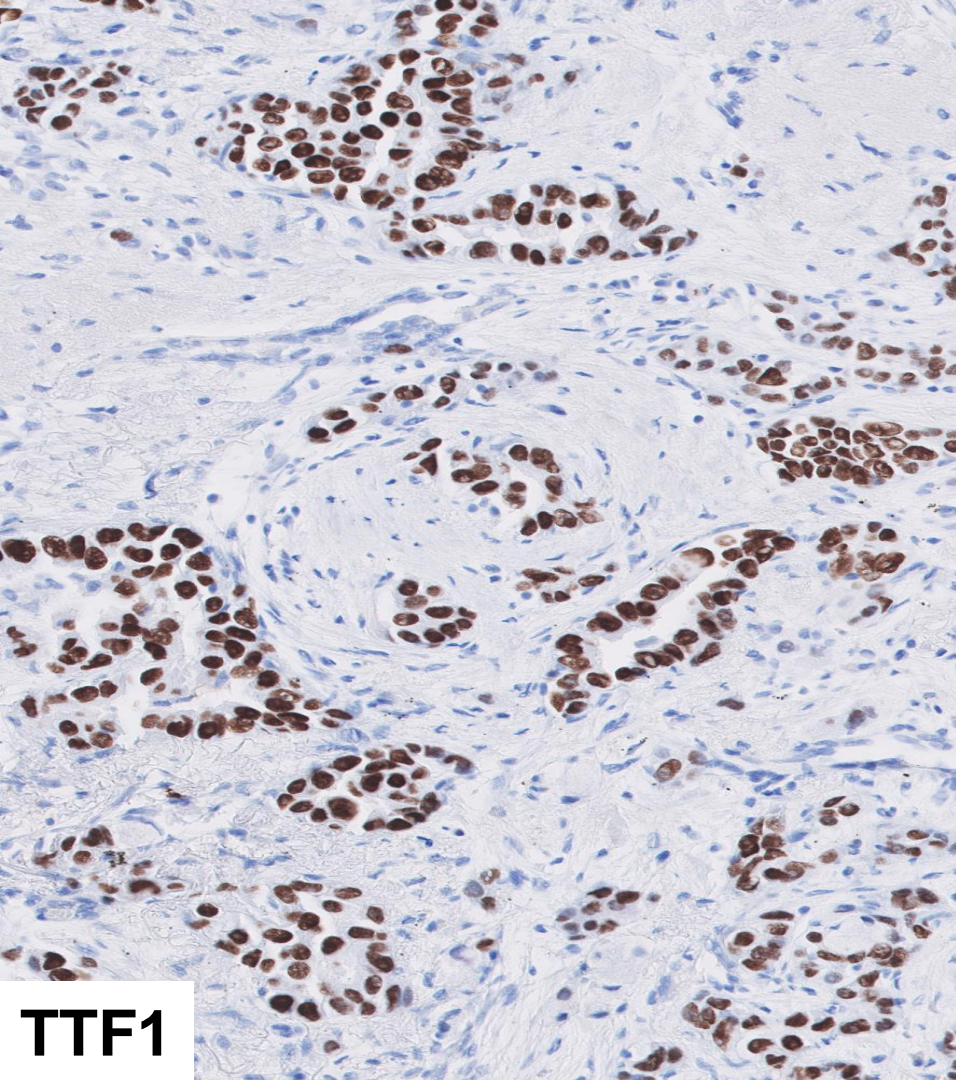
N. MALIGNA DE BRONQUIO Y PULMON

SIN ESPECIFICAR T: 4 N: x M: 1 Estadio: IV

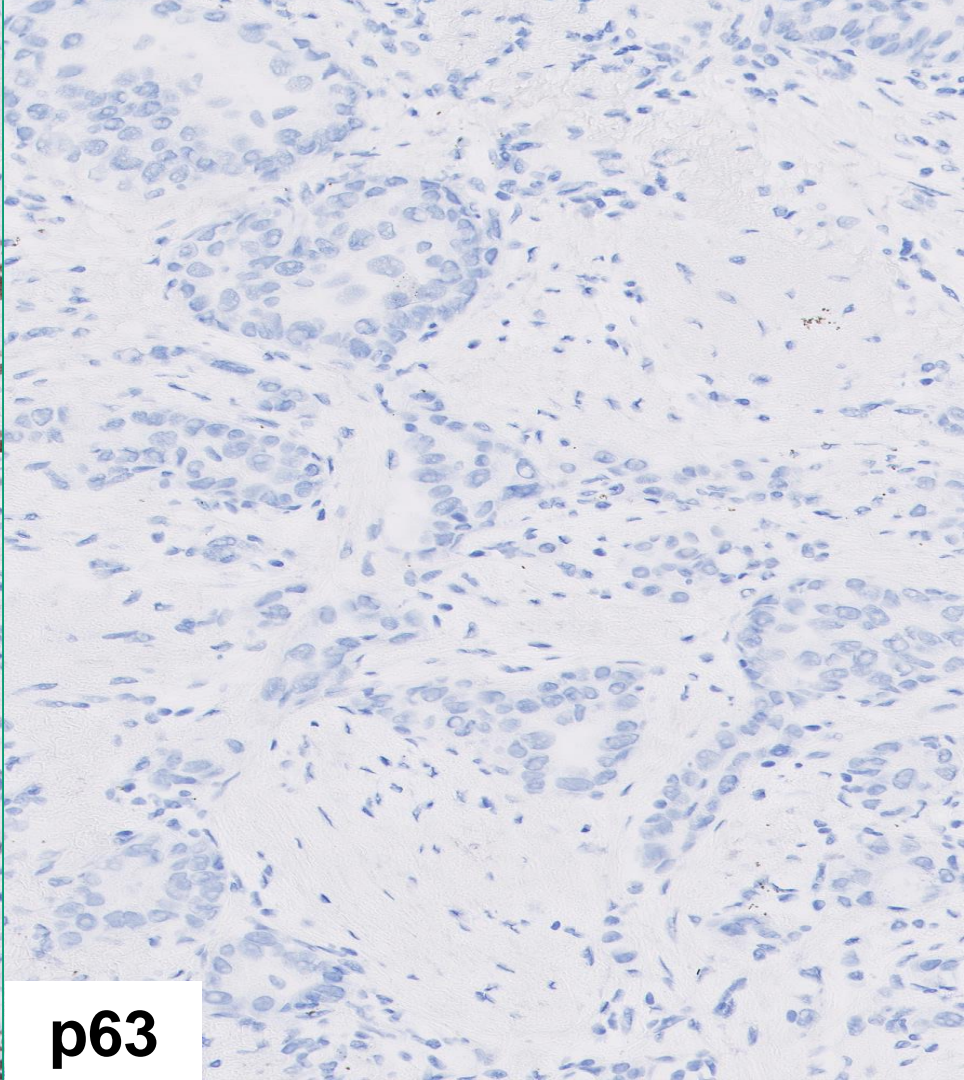
BAG de la lesión pulmonar



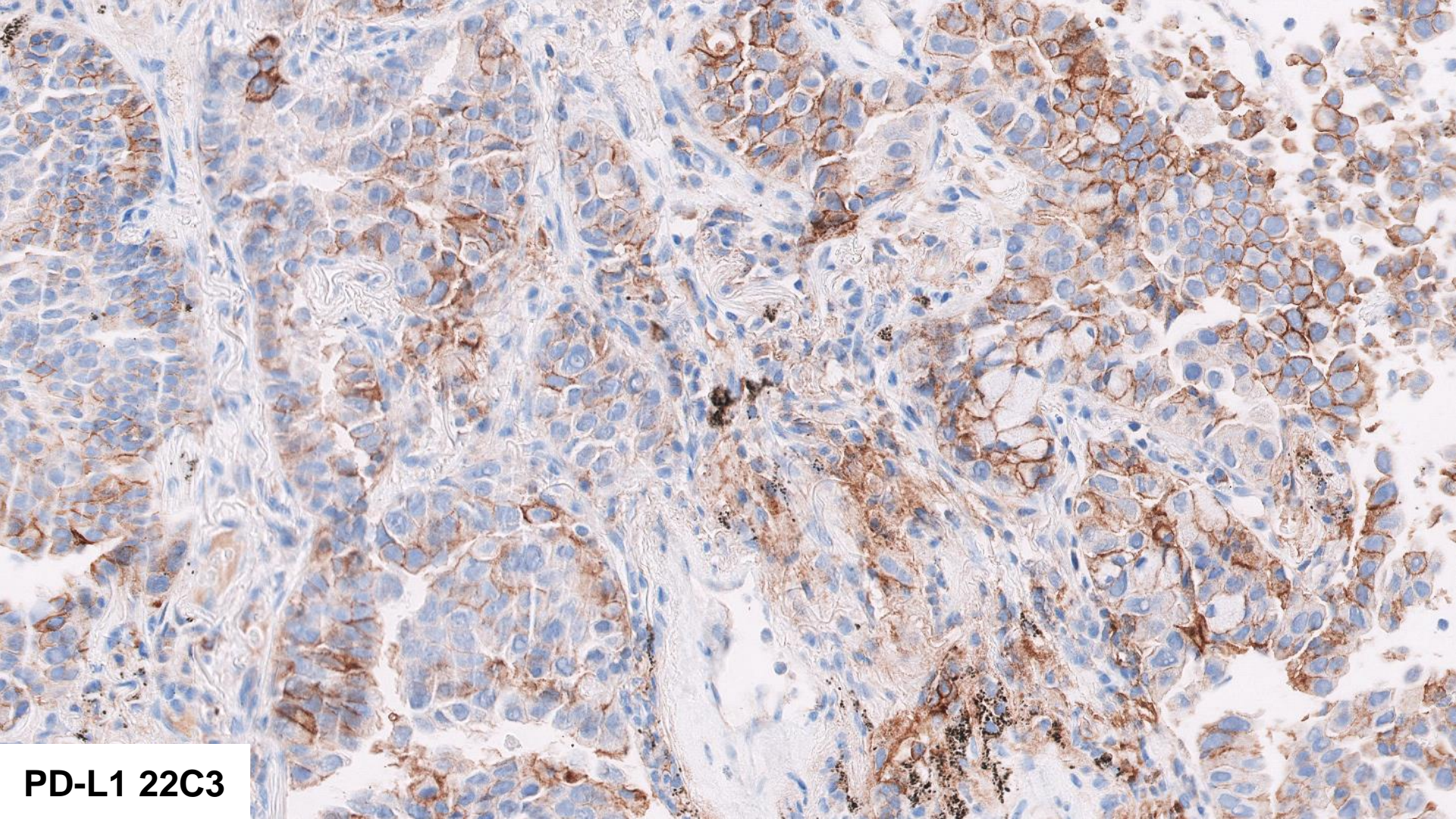




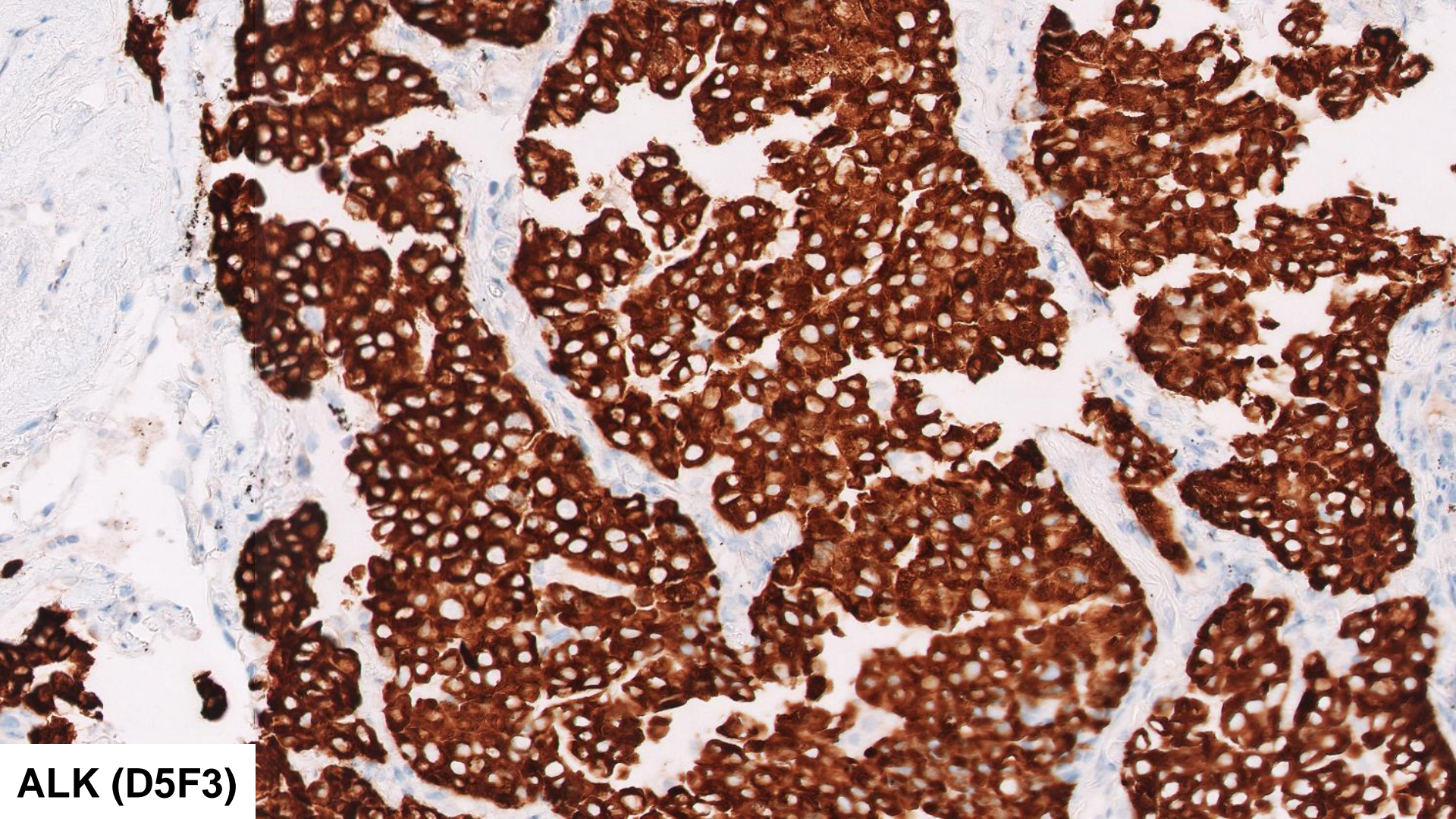
TTF1



p63



**PD-L1 22C3**



**ALK (D5F3)**

# Action OncoKitDx

## Perfil mutacional obtenido:

Variantes patogénicas:

Traslocación ALK exón 19 (chr2:29,446,394) :: EML4 (chr2:42,522,654, +) (56 lecturas).

No se identifican alteraciones en EGFR (exones 18, 19, 20 y 21), traslocaciones de ROS1 o RET, amplificación de MET, mutaciones del sitio de splicing del exón 14 de MET, mutaciones puntuales en KRAS (codones 12/13 y 61), mutaciones en BRAF (V600), ni mutaciones o inserciones en el exón 20 de ERBB2 (HER2).

## Otras alteraciones identificadas:

Variantes de significado incierto\*\*:

IDH2(NM\_002168.2)Exón8 c.992C>T; p.Thr331Met (53%)

\*\* Se consideran Variantes de significado incierto aquellos cambios a nivel nucleotídico cuya repercusión no es conocida hasta la fecha. Estos cambios no deben considerarse de valor clínico. Son susceptibles a reclasificaciones futuras por consorcios especializados.

## Inestabilidad de microsatélites:

No se identifica inestabilidad de microsatélites, fracción de inestabilidad 0,14 (marcadores inestables 14 de 103 analizados) (MSS 0-0.17)

Secuenciadores compatibles	Illumina NextSeq500, Illumina NextSeq2000, Illumina HiSeq, Illumina NovaSeq
Número de reacciones	20
Número de muestras por run	Mid Output v2.5 kit (150 cycles): 12 muestras High Output v2.5 kit (150 cycles): 32 muestras
Secuenciación	Paired-end (2 x 75 ciclos)
Cantidad de ADN por muestra	50-200 ng
Calidad de ADN recomendada	DIN >3
Región genómica analizada	500 Kb
SNVs e INDELs	AKT1*, ALK, ARID1A, ATM, ATRX, BAP1, BRAF, BRCA1, BRCA2, CDH1, CHEK2, CTNNB1, EGFR, ERBB2, ESR1, FGFR1, FGFR4, GNA11, GNAQ, H3F3A, HIST1H3B, HIST1H3H, HRAS, IDH1, IDH2, KIT, KRAS, MAP2K1, MET, MLH1, MSH2, MSH6, MTOR, MYC, NRAS, NTRK1, NTRK2, NTRK3, PALB2, PBRM1, PDGFRA, PIK3CA, PMS2 + 5'UTR, PTEN, POLD1, POLE, RET, ROS1, SDHA, SDHB, SDHD, TERT + 5'UTR, TSC1*, TSC2*, TP53 y VHL.
Genes diana	* Secuenciación de hotspots
	SVs: ALK (intrón 19), ATP1B1 (intrones 3 y 4), BRAF (intrones 7, 8, 9 y 10), EGFR (intrones 7, 23, 24 y 25), ETV6 (intrones 4 y 5), FGFR2 (intrón 17 y región 3'UTR), FGFR3 (intrón 17 y región 3'UTR), NTRK1 (intrones 8, 9, 10, 11 y 12), NTRK2 (intrones 12 y 15), RET (intrones 9, 10 y 11) y ROS1 (intrones 31, 32, 33, 34 y 35).
	ADN procedente de sangre periférica, tejido fresco, congelado y parafinado

AVANZATE  
NOMBRÉ CURSO

# Caso 1.

## Alteración de ALK

Cáncer de pulmón, estadio IV con afectación secundaria adenopática, pulmonar, hepática y suprarrenal, ALK+.

6/22 Inicia tratamiento dirigido con alectinib.

9/22 Primera reevaluación precoz: Disminución de nódulo de contorno mal definido y peor definición con perdida de nodularidad de nódulo satélite configurando aspecto de opacidad focal mal definida.

Disminución en número y tamaño de pequeños nódulos bilaterales.

Disminución de tamaño y de captación de adenopatías mediastínicas (paratraqueales altas y bajas bilaterales, prevasculares, espacio subcarinal) e hiliares bilaterales sugiriendo componente necrótico post-tratamiento.

Disminución de tamaño de lesiones focales hepáticas.



# Caso 2.

## Alteración de ALK

AVVITE  
NOMPERCURSO

## Caso 2.

# Alteración de ALK

Mujer 61 años

Ex-fumadora de 20 cigarrillos/día desde 2021

Antecedentes médicos: HTA y diabetes,  
EPOC moderado fenotipo bronquítico crónico  
no agudizador.

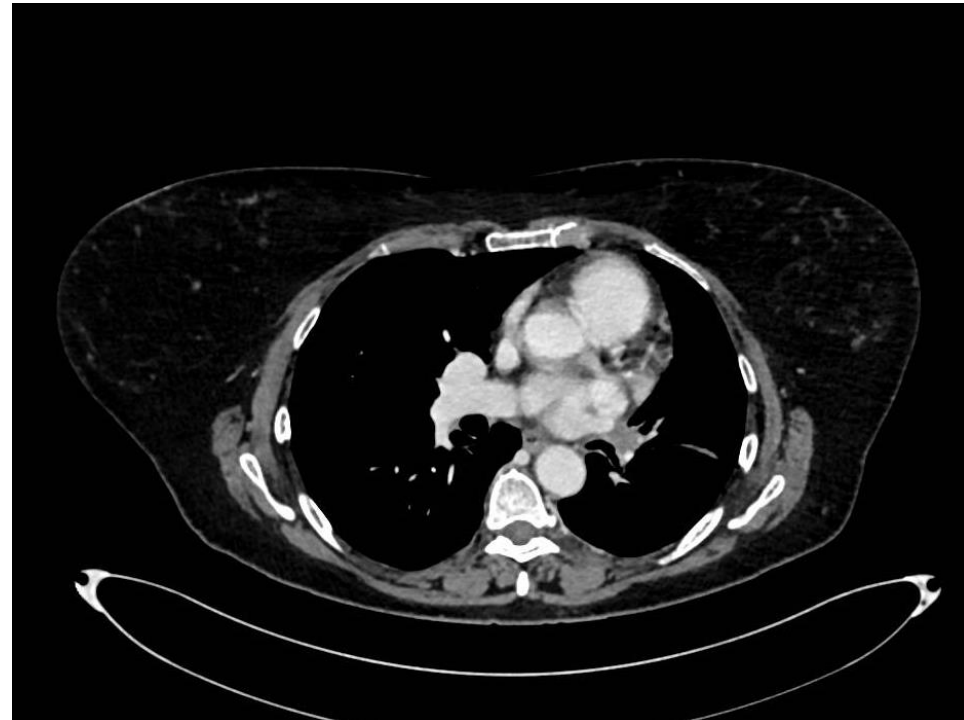
01/22. Diagnóstico Oncológico:

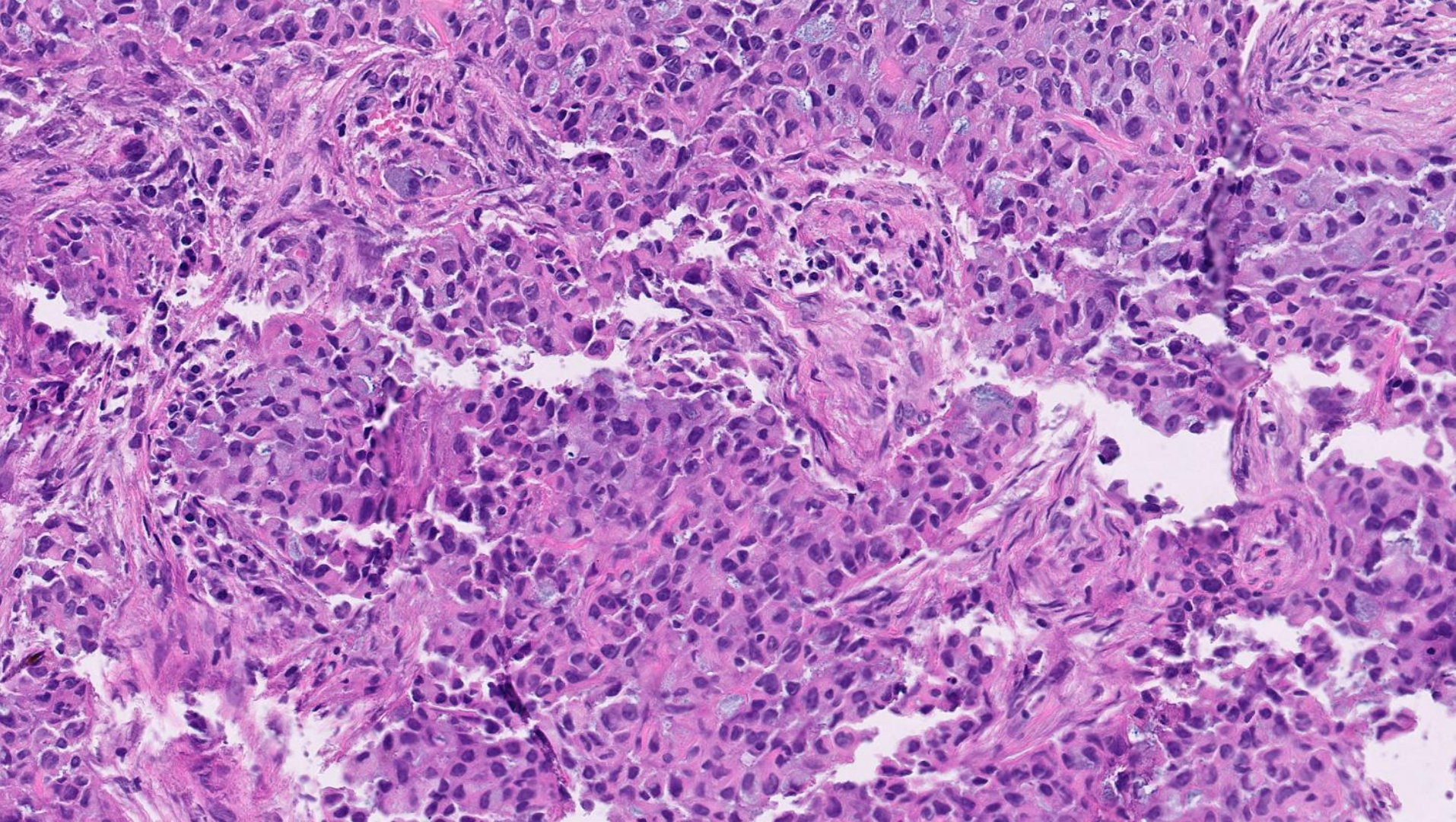
Adenocarcinoma de pulmón, estadio IV

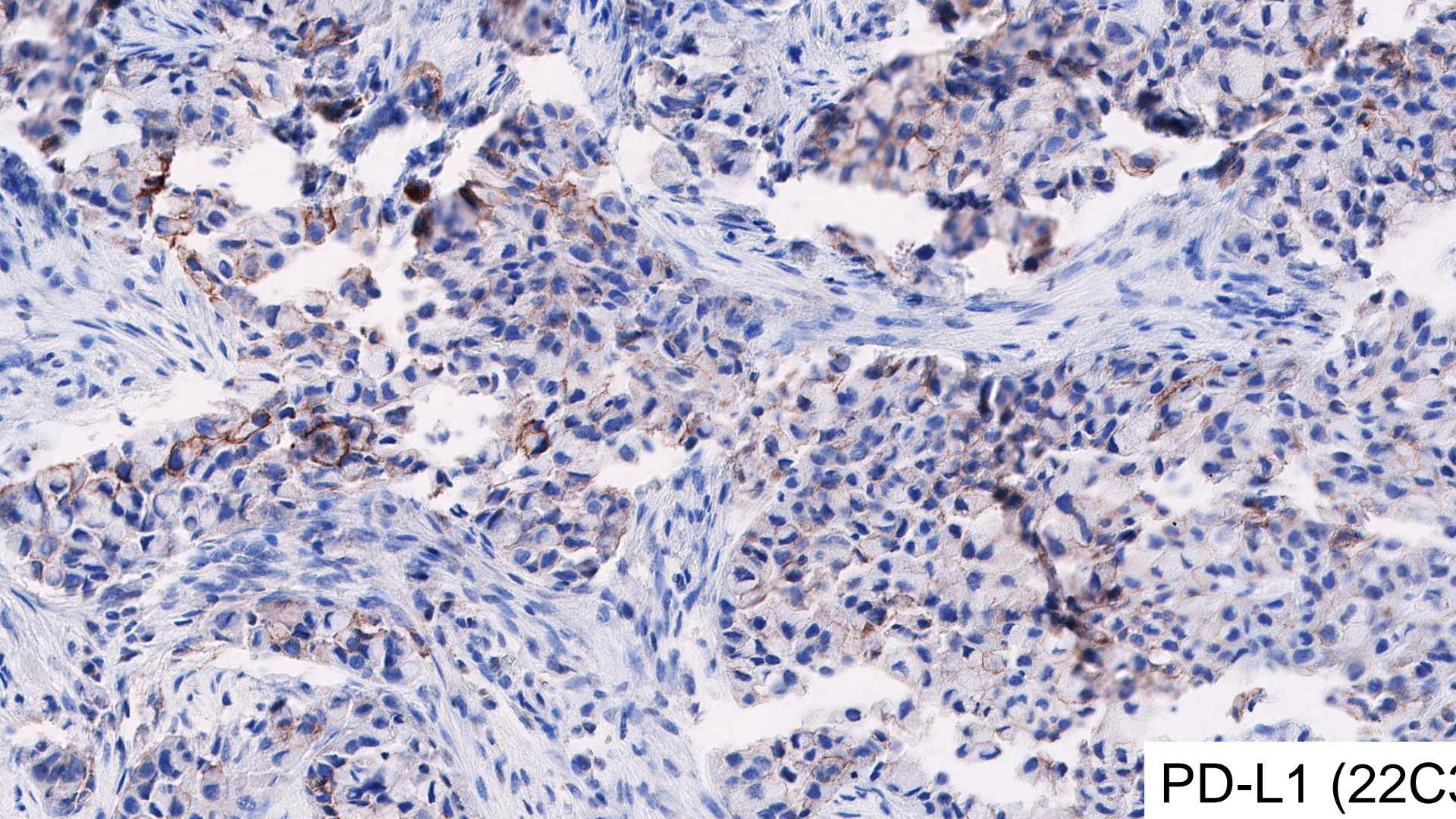
TC: Masa pulmonar parahiliar izquierda, de  
aproximadamente 3,2 cm, que asocia  
atelectasia de la lingula, segmento  
anteromedial basal y lateral basal del LII.

Derrame pleural izquierdo leve.

BAG de masa pulmonar

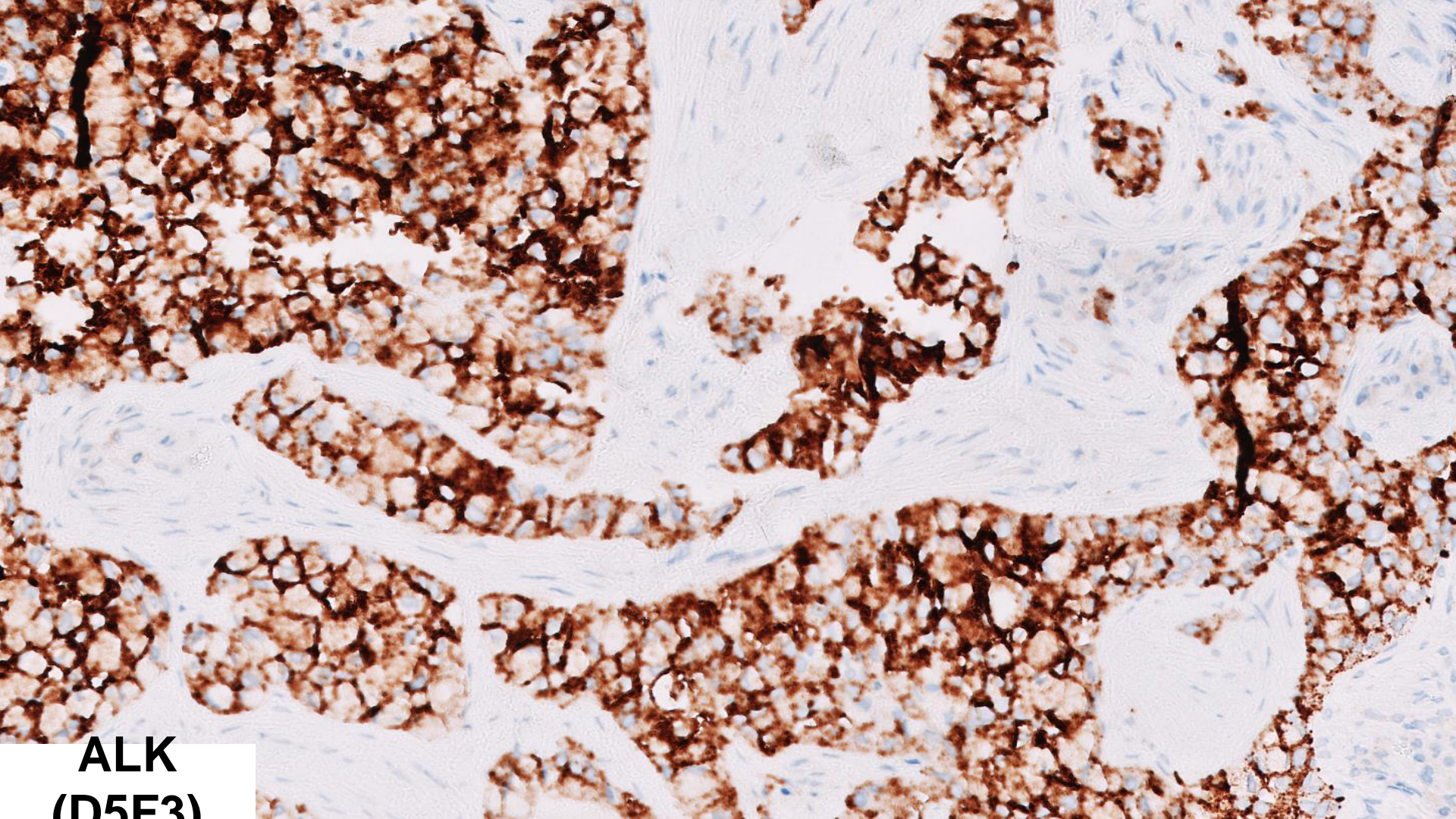






PD-L1 (22C3)

**ALK  
(D5E3)**



# Action OncoKitDx

## Perfil mutacional obtenido:

Variantes patogénicas:

Traslocación ALK exón 19 (chr2:29447951) :: AC007682.1 (chr2:51322755) (6 lecturas).

Esta traslocación se identifica entre los exones 19 y 20 de ALK con la región no codificante AC007682.1 (LOC730100), situada en el cromosoma 2, próxima a EML4. Esta traslocación no está descrita en las bases de datos y se desconocen sus implicaciones en la activación de ALK y su valor predictivo de beneficio a inhibidores selectivos.

No se identifican alteraciones en EGFR (exones 18, 19, 20 y 21), traslocaciones de ROS1 o RET, amplificación de MET, mutaciones del sitio de splicing del exón 14 de MET, mutaciones puntuales en KRAS (codones 12/13 y 61), mutaciones en BRAF (V600), ni mutaciones o inserciones en el exón 20 de ERBB2 (HER2).

## Otras alteraciones identificadas:

Variantes de significado incierto\*\*:

CTNNB1 ( NM\_001904.3 ): Exón 6/15 c.879C>A p.Phe293Leu (VAF 5,58%)

ATM ( NM\_000051.3 ): Exón 13/63 c.1937C>T p.Ser646Leu (VAF 59,07%)

\*\* Se consideran Variantes de significado incierto aquellos cambios a nivel nucleotídico cuya repercusión no es conocida hasta la fecha. Estos cambios no deben considerarse de valor clínico. Son susceptibles a reclasificaciones futuras por consorcios especializados.

## Inestabilidad de microsatélites:

No se identifica inestabilidad de microsatélites, fracción de inestabilidad 0,14 (marcadores inestables 14 de 103 analizados) (MSS 0-0.17)

# Caso 2.

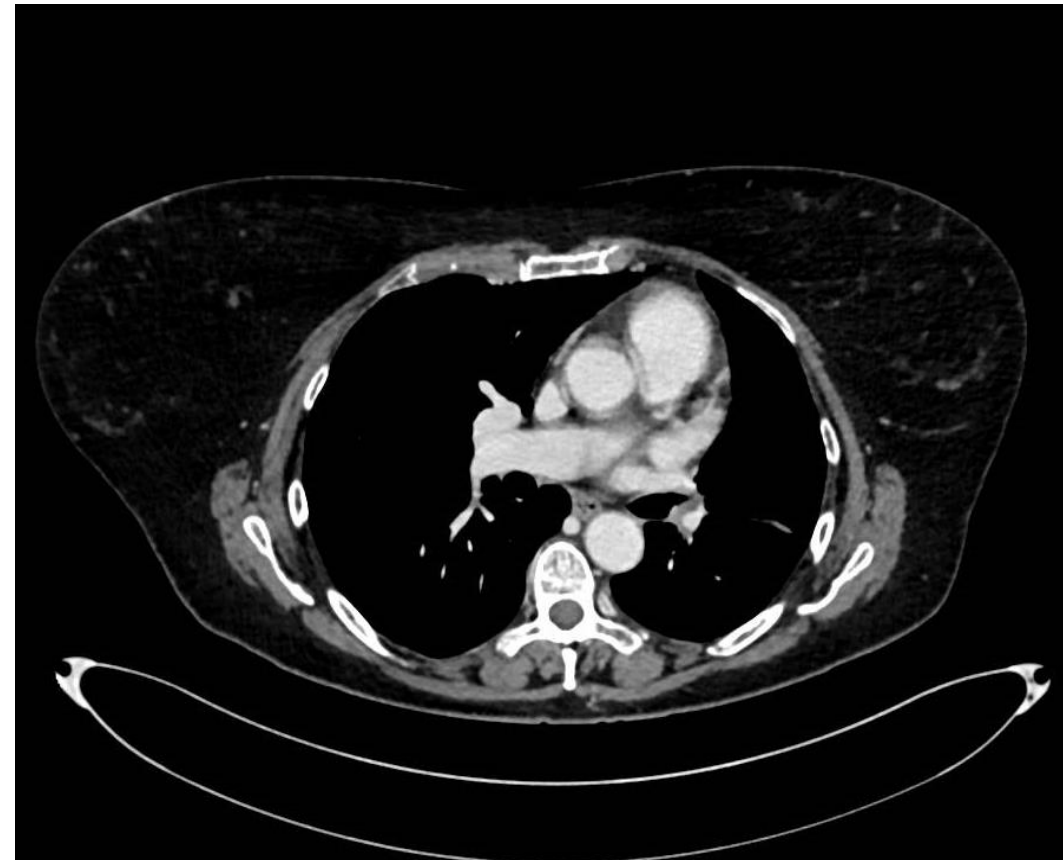
## Alteración de ALK

2/22: Alectinib 1200mg/dia

5/22: RP mayor, con re-expansión pulmonar casi completa. Resolución del derrame pleural izquierdo.

12/22: estabilidad de la pequeña densidad de partes blandas de unos 15 mm en región hilar izquierda, adyacente al bronquio de la lingula.

Adenopatías no de tamaño significativo. Sin cambios significativos respecto al estudio previo.



# Caso 3.

## Alteración de ALK

# Caso 3.

## Alteración de ALK

Hombre 56 años, ex-fumador desde hace 10 años (IPA = 3.2). Inicio a los 36, lo dejó a los 42 - 10 cig/día (leve exposición al tabaco)

Antecedentes: HTA

Historia actual: Remitido por centro privado ante diagnóstico de ADC de pulmón, estadio IVA (T4N3M1a).

Comienza el estudio en mayo 2022, con disfonía de 2 meses de evolución.

Rx de tórax: masa de LSI.

Estudio de marcadores en biopsia líquida.

Patient ID:	Guardant Sample A052684802	Report ID:	A052684802.220615_NB501022_0978_AHV3K7BG
Report Date:	Jun 18, 2022	Disease:	XL.nof1 report Lung adenocarcinoma
Gender:	male		

### 1. Summary

#### CLINICALLY RELEVANT ALTERATIONS

##### TIER 1: VARIANTS OF STRONG CLINICAL SIGNIFICANCE

###### Predictive Variants

Marker	Alteration	Therapies approved in this indication	Therapies approved in other indications	May indicate resistance to therapies	Trials
ALK	EML4-ALK fusion	Crizotinib (A), Brigatinib (A), Ceritinib (A), Alectinib (A), Lorlatinib (A)	None	None	Yes

Prognostic and Diagnostic Variants: None

##### TIER 2: VARIANTS OF POTENTIAL CLINICAL SIGNIFICANCE: NONE

#### GUIDELINES

Marker-Alteration	Summary
ALK-EML4-ALK fusion	For non-small cell lung carcinoma (NSCLC) patients with tumors harboring ALK rearrangement, the ESMO Clinical Practice Guidelines highlight crizotinib, alectinib, and brigatinib (I, A) and ceritinib (I, B) as therapy options, and note that alectinib, brigatinib, and ensartinib have been associated with longer progression-free survival, and alectinib with lower toxicity, as compared with crizotinib. For patients with CNS involvement, alectinib (III, A), brigatinib (III, B), or ceritinib (IV, B) are recommended (2020; ESMO Guidelines_NSCLC 2020).

INTERACTIONS: NONE

#### OTHER ALTERATIONS

##### TIER 3: VARIANTS OF UNCERTAIN CLINICAL SIGNIFICANCE: NONE

##### TIER 4: BENIGN OR LIKELY BENIGN VARIANTS: NONE

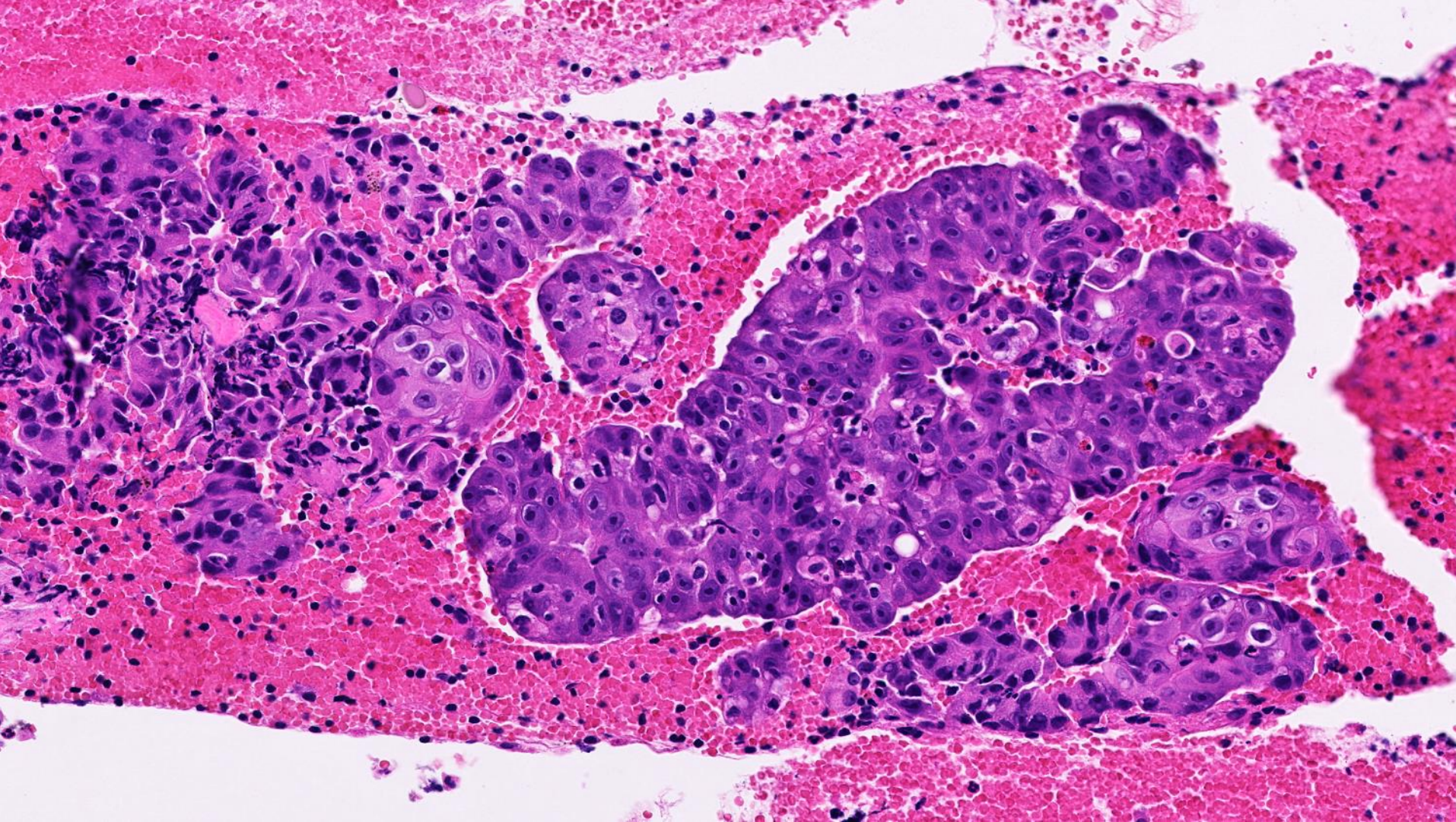
AVANTE  
NOMBRERO

# Caso 3.

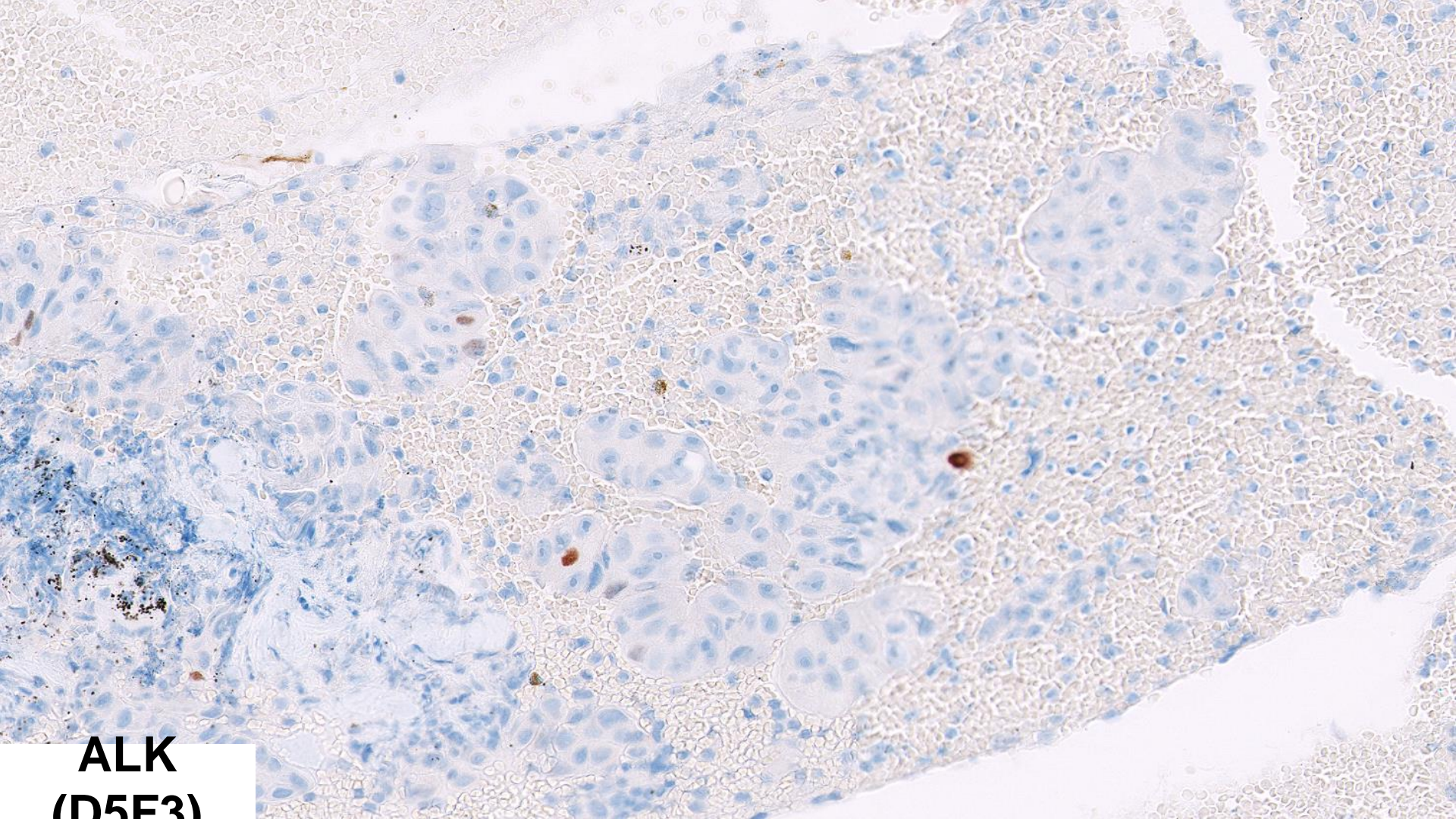
## Alteración de ALK

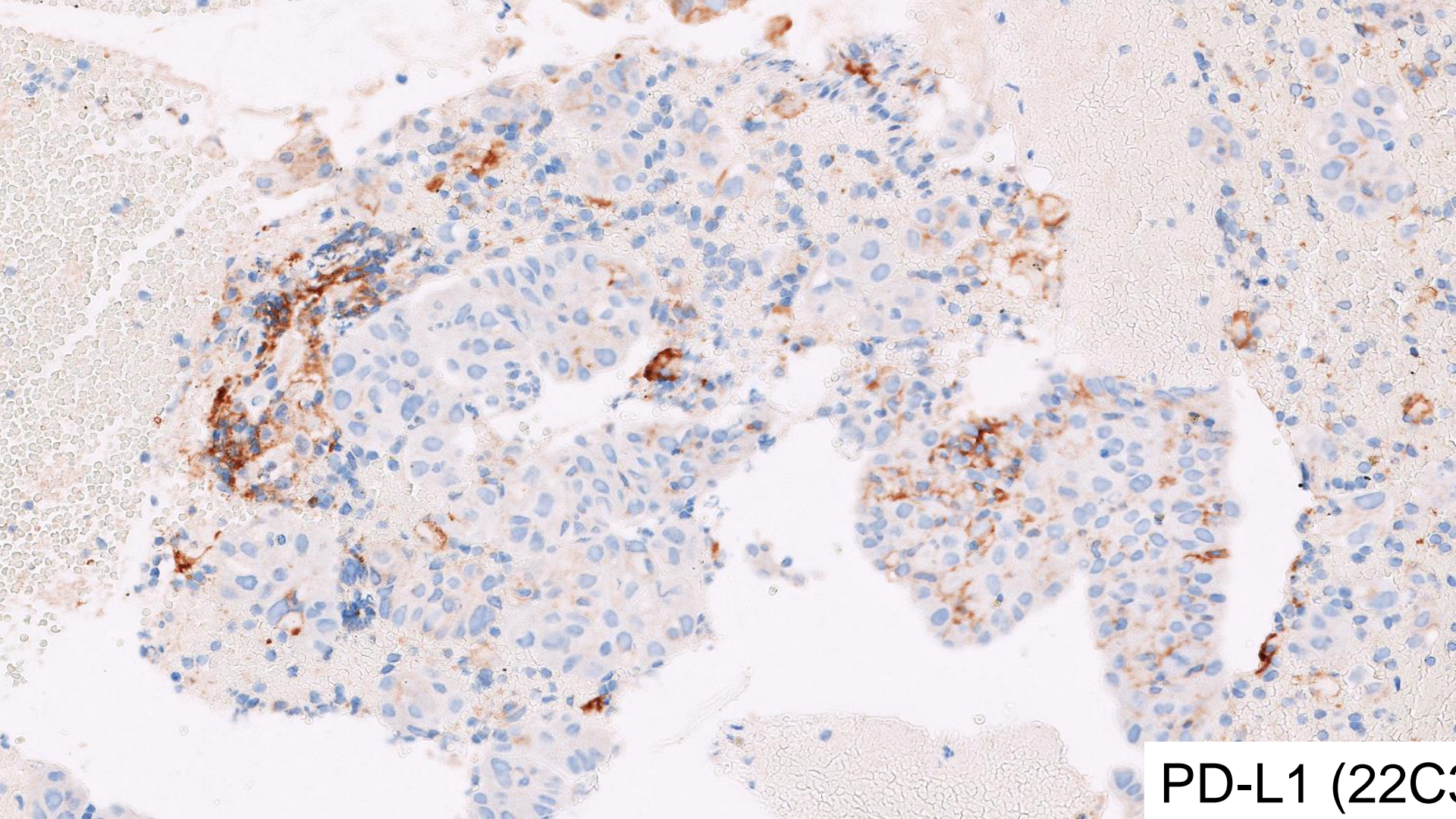
Pruebas: PET-TC y TC tórax y broncoscopia. Masa pulmonar 9cm, en LSI. Contacta con pleura mediastínica e infiltra estructuras broncovasculares. Nódulos pulmonares en LID, de 10mm y LII, de 8mm, sugerentes de metástasis. Captación patológica en adenopatía en nivel IV dcho, supraclaviculares bilaterales y múltiples mediastínicas prevasculares, paratraqueales bilaterales, subcarinales, paraórticas y subaórticas, hiliares izquierdas y periesofágica derecha. PAAF EBUS de mediastino región 4R : ADENOCARCINOMA PRIMARIO PULMONAR. Estudio inmunohistoquímico CKAE1/AE3. TTF1 y napsina. Negativo para p63.





**ALK  
(D5E3)**





PD-L1 (22C3)

AVANTAGE  
NOMBRE CURSO

# Caso 3.

## Alteración de ALK

Situación clínica con deterioro físico, aumento de síntomas.

Control 09/22: Aumento de la masa en LSI, con incremento de la afectación adenopática mediastínica, hiliar y de carina. Crecimiento de los nódulos en LID y LII, y aparición de lesiones satélites.

Se solicita confirmación de perfil molecular sobre EBUS.



# Action OncoKitDx

## Perfil mutacional obtenido:

Variantes patogénicas:

Se detecta una fusión de ALK::EML4 asociada a una delección en la posición 2:29447107::2:42524443.

Esta fusión es de patrón no convencional ALK::EML4, asociada a una delección (2:29447107::2:42524443) entre ambos genes, sin inversión de sus secuencias. No existe evidencia clínica de la eficacia de los inhibidores de tirosina-quinasa en estas variantes.

## Otras alteraciones identificadas:

Variantes de significado incierto\*\*:

ERBB2(NM\_000535.5)Exón 7 c.892G>A;p.Ala298Thr (VAF 52.22%)

SDHA(NM\_004168.2)Exón10 c.1414G>A;p.Glu472Lys (VAF 5%)

CHEK2(NM\_001005735.1) c.449-5T>A; (VAF 41%)

\*\* Se consideran Variantes de significado incierto aquellos cambios a nivel nucleotídico cuya repercusión no es conocida hasta la fecha. Estos cambios no deben considerarse de valor clínico. Son susceptibles a reclasificaciones futuras por consorcios especializados.

## Inestabilidad de microsatélites:

No se identifica inestabilidad de microsatélites, fracción de inestabilidad 0.14 (marcadores inestables 15 de 110 analizados) (MSS 0-0.17)

Have you explored our new Comparative Genome Viewer (CGV) yet?

## Genome Data Viewer

**Homo sapiens**  
(human)

Assembly: GRCh37.p13 (GCF\_000001405.25) • Chr 2 (NC\_000002.11)

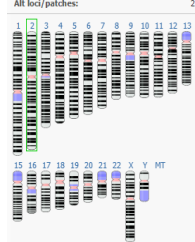
Search assembly  
 Location, gene or phenotype

## Assemblies

## Ideogram View

Unplaced/unlocalized scaffolds: 59

Alt loc/patches: 213



Home Share this page Reset All More Tools More Info

## Genome Data Viewer

**Homo sapiens**  
(human)

Assembly: GRCh37.p13 (GCF\_000001405.25) • Chr 2 (NC\_000002.11)

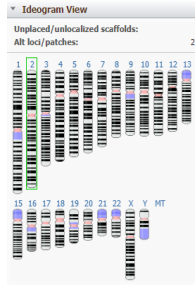
Search assembly  
 Location, gene or phenotype

## Assemblies

## Ideogram View

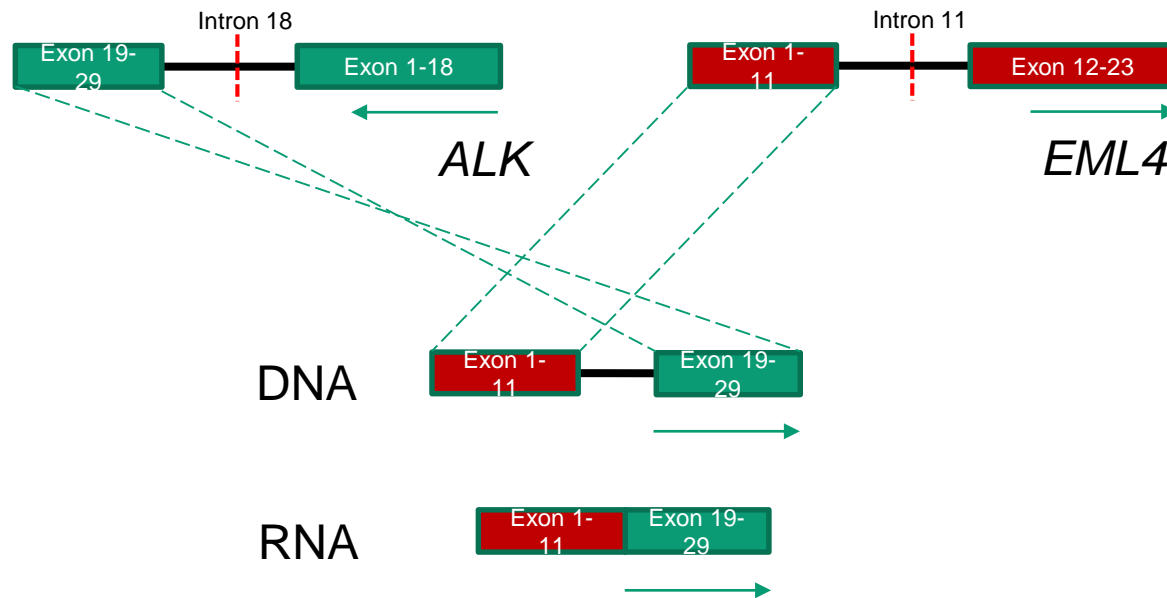
Unplaced/unlocalized scaffolds: 59

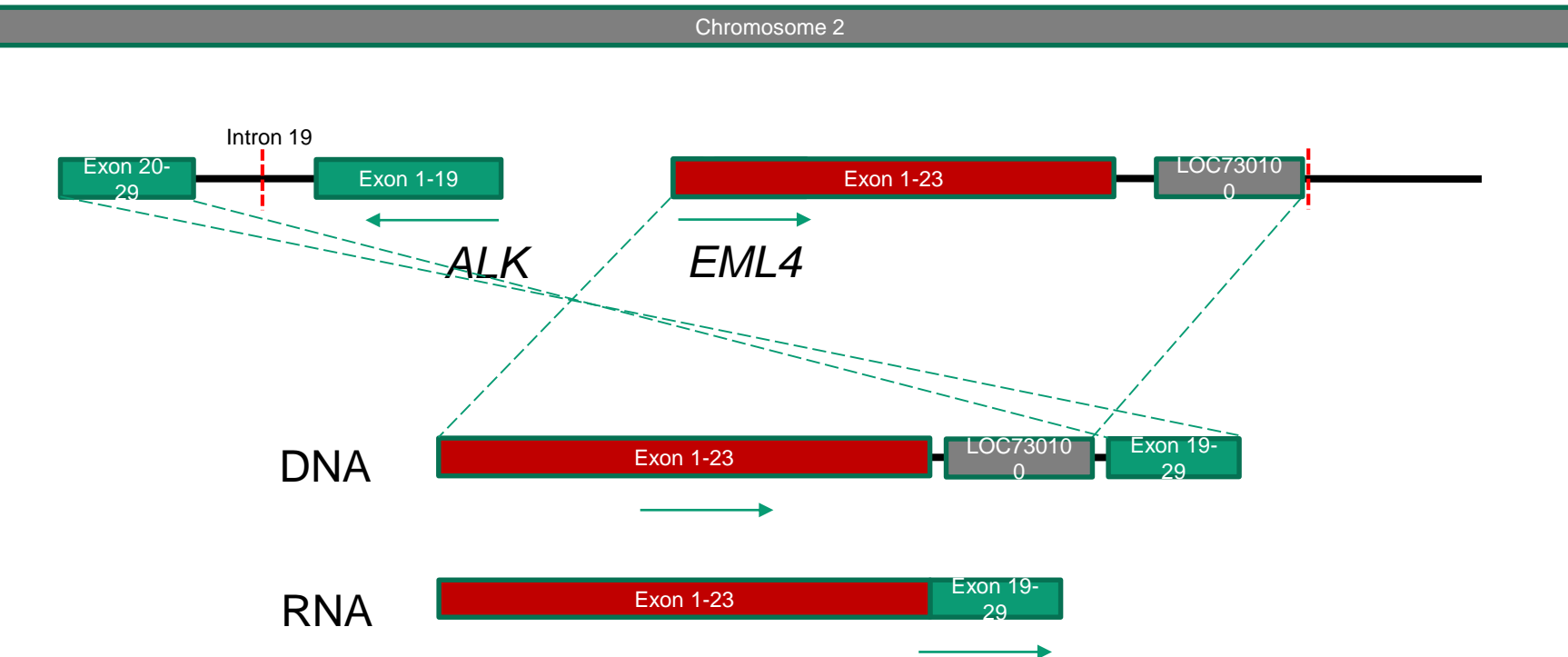
Alt loc/patches: 213



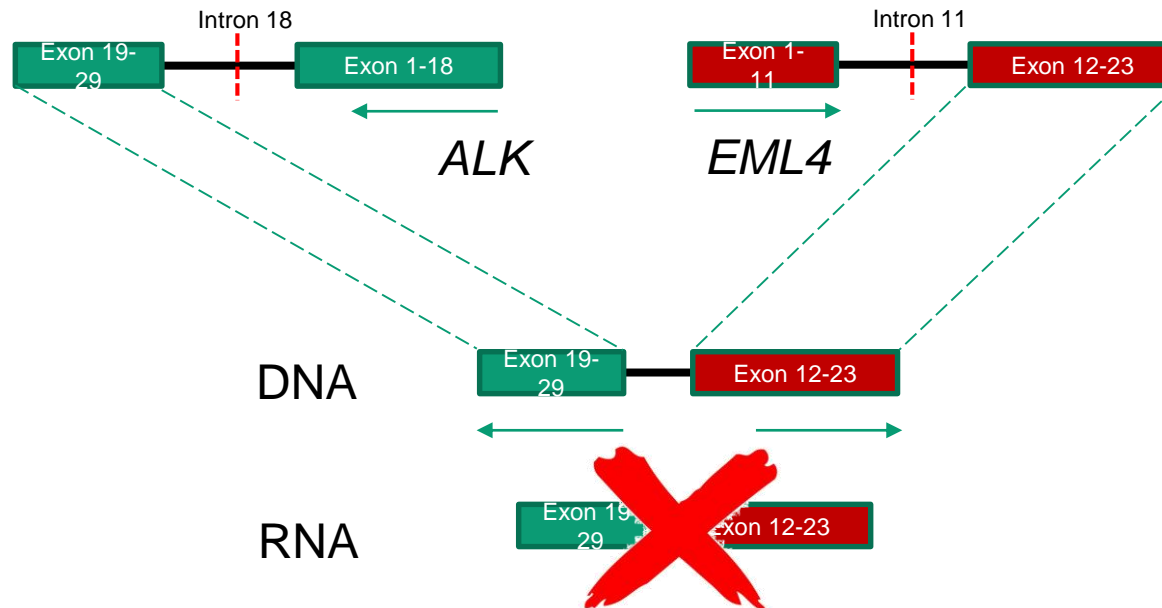
Home Share this page Reset All More Tools More Info

Chromosome 2



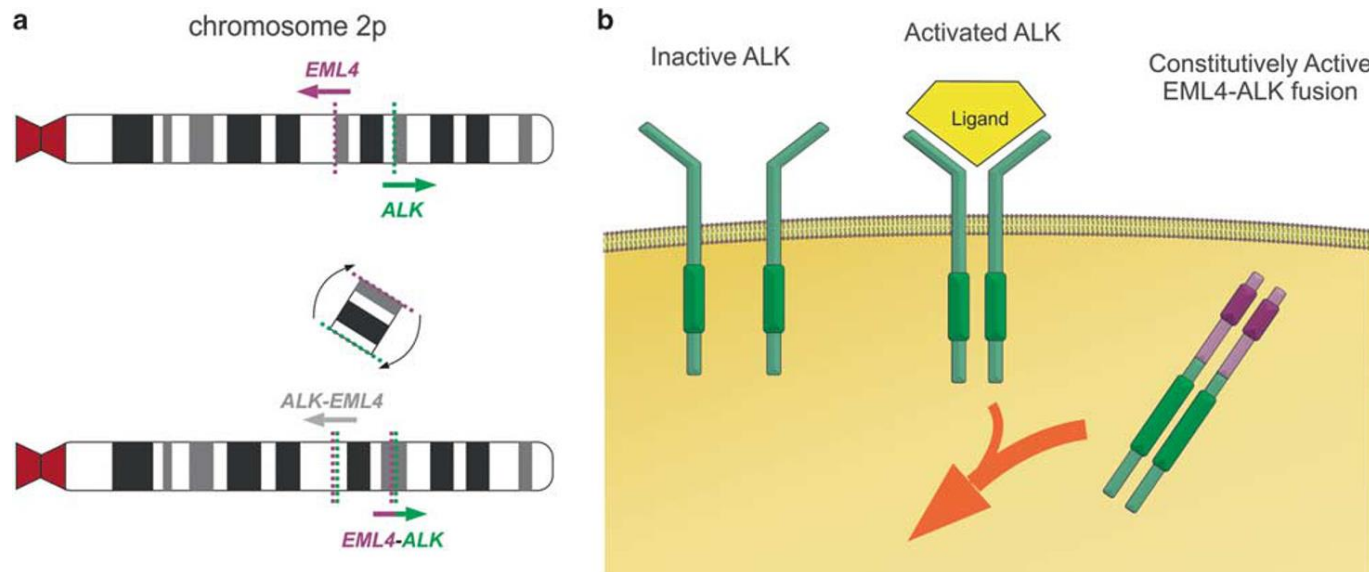


Chromosome 2



# Genomic heterogeneity of *ALK* fusion breakpoints in non-small-cell lung cancer

Jason N Rosenbaum<sup>1</sup>, Ryan Bloom<sup>2</sup>, Jason T Forsy<sup>3</sup>, Jeff Hiken<sup>3</sup>, Jon R Armstrong<sup>3</sup>, Julie Branson<sup>4</sup>, Samantha McNulty<sup>4</sup>, Priya D Velu<sup>1</sup>, Kymberlie Pepin<sup>5</sup>, Haley Abel<sup>6</sup>, Catherine E Cottrell<sup>7</sup>, John D Pfeifer<sup>4</sup>, Shashikant Kulkarni<sup>8</sup>, Ramaswamy Govindan<sup>5</sup>, Eric Q Konnick<sup>9</sup>, Christina M Lockwood<sup>9</sup> and Eric J Duncavage<sup>4</sup>



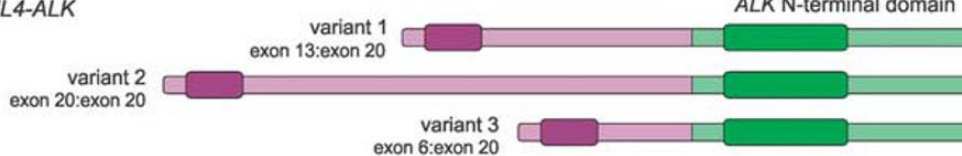
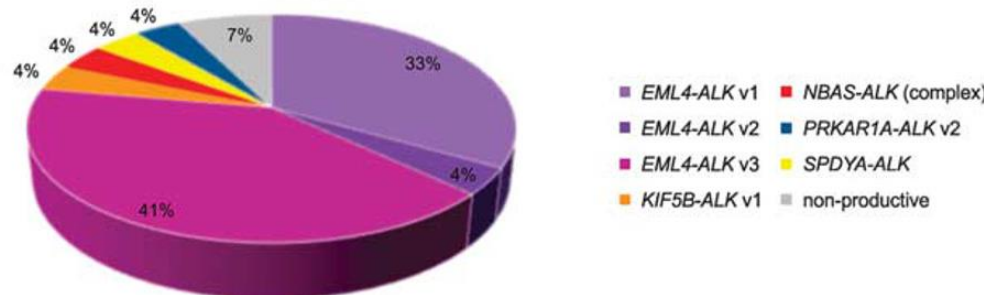
**a** *EML4-ALK***b** *KIF5B-ALK*  
exon 24:exon 20**c** *PRKAR1A-ALK*  
exon 10:exon 20**c** *SPDYA-ALK*  
exon 10:exon 20**c** *NBAS-ALK*  
exon 35:exon 20**d** DNA Rearrangements



Table 2. List of Chromosomal Locations of Intergenic Translocations With Potential Fusion Partners

NOMBRE CURSO Year	Published in Print/Presented	Chromosomal Location	Potential Fusion Partner Gene	Response to ALK TKI at the Time of Publication	Tumor Source	Method of Detection	Variant Frequency in Tumor	FISH/ IHC	References
1	2019	12q23.3	<i>RIC8B</i>	NR	Tumor	NGS	NR	ND/NR	Zhao, 2019 <sup>44</sup>
2	2019	2p21	<i>LOC388942</i> ( <i>LINC01913</i> )	NR	Tumor	NGS	NR	ND/NR	Zhao, 2019 <sup>44</sup>
	2020	2p21	<i>LOC388942</i> ( <i>LINC01913</i> )	NR					
3	2019	2q22.1-q22.2	<i>LRP1B</i>	NR	Tumor	NGS	NR	ND/NR	Zhao, 2019 <sup>44</sup>
4	2019	2p16.2	<i>MIR4431</i>	NR	Tumor	NGS	NR	ND/NR	Zhao, 2019 <sup>44</sup>
5	2019	2p23.3	<i>CENPA/DPYSL5</i>	PR to crizotinib	Tumor	NGS	NR	+/+	Fei, 2019 <sup>63</sup>
6	2020	18q12.1	<i>CDH2</i>	NR	Tumor	NGS	NR	NR/NR	Tian, 2020 <sup>59</sup>
7	2020	18q12.2	<i>CELF4</i>	NR	Tumor	NGS	NR	NR/NR	Tian, 2020 <sup>59</sup>
8	2020	2p23.3	<i>CENPA</i>	PR to crizotinib	Tumor	NGS	NR	NR/NR	Tian, 2020 <sup>59</sup>
9	2020	15q13.3	<i>CHRNA7</i>	PR to crizotinib	Tumor	NGS	NR	NR/NR	Tian, 2020 <sup>59</sup>
10	2020	2q14.3	<i>CNTNAP5</i>	NR	Tumor	NGS	NR	NR/NR	Tian, 2020 <sup>59</sup>
11	2020	2p21	<i>COX7A2L</i>	NR	Tumor	NGS	NR	NR/NR	Tian, 2020 <sup>59</sup>
12	2020	2p13.2	<i>DYSF</i>	NR	Tumor	NGS	NR	NR/NR	Tian, 2020 <sup>59</sup>
13	2020	2p16.3	<i>FSHR</i>	NR	Tumor	NGS	NR	NR/NR	Tian, 2020 <sup>59</sup>
14	2020	13q12.11	<i>GJB6</i>	NR	Tumor	NGS	NR	NR/NR	Tian, 2020 <sup>59</sup>
15	2020	3q22.3	<i>LINC01210</i>	NR	Tumor	NGS	NR	NR/NR	Tian, 2020 <sup>59</sup>
16	2020	2p22.3	<i>MEMO1</i>	NR	Tumor	NGS	NR	NR/NR	Tian, 2020 <sup>59</sup>
17	2020	2p22.3	<i>MIR548AD</i>	NR	Tumor	NGS	NR	NR/NR	Tian, 2020 <sup>59</sup>
18	2020	4q31.1	<i>MGST2</i>	NR	Tumor	NGS	NR	NR/NR	Tian, 2020 <sup>59</sup>
19	2020	2q11.2	<i>PDCL3</i>	NR	Tumor	NGS	NR	NR/NR	Tian, 2020 <sup>59</sup>
20	2020	2p22.2	<i>QPCT</i>	NR	Tumor	NGS	NR	NR/NR	Tian, 2020 <sup>59</sup>
21	2020	2p23.3	<i>RAB10</i>	NR	Tumor	NGS	NR	NR/NR	Tian, 2020 <sup>59</sup>
22	2020	2p22.1	<i>SLC8A1</i>	NR	Tumor	NGS	NR	NR/NR	Tian, 2020 <sup>59</sup>
23	2020	2q32.3	<i>STK17B</i>	NR	Tumor	NGS	NR	NR/NR	Tian, 2020 <sup>59</sup>
24	2020	6q24.1-q24.2	<i>VTA1</i>	NR	Tumor	NGS	NR	NR/NR	Tian, 2020 <sup>59</sup>
25	2020	2p22.2	<i>CDC42EP3<sup>d</sup></i>	No response to crizotinib and alectinib	Plasma	NGS	13.0%	ND/+	Zhang, 2020 <sup>60</sup>
26	2020	19q13.42	<i>PR11-433C9.2</i> ( <i>PRPF31</i> )	NR	Tumor	NGS	18.6%	ND/NR	Zhang, 2020 <sup>60</sup>
27	2020	3p22.1	<i>RPSA</i>	NR	Tumor	NGS	7.9%	ND/+	Zhang, 2020 <sup>60</sup>
28	2020	2p23.3	<i>UBXN2A</i>	NR	Tumor	NGS	25.4%	ND/NR	Zhang, 2020 <sup>60</sup>



# NOMBRE CURSO

## Intergenic Breakpoints Identified by DNA Sequencing Confound Targetable Kinase Fusion Detection in NSCLC

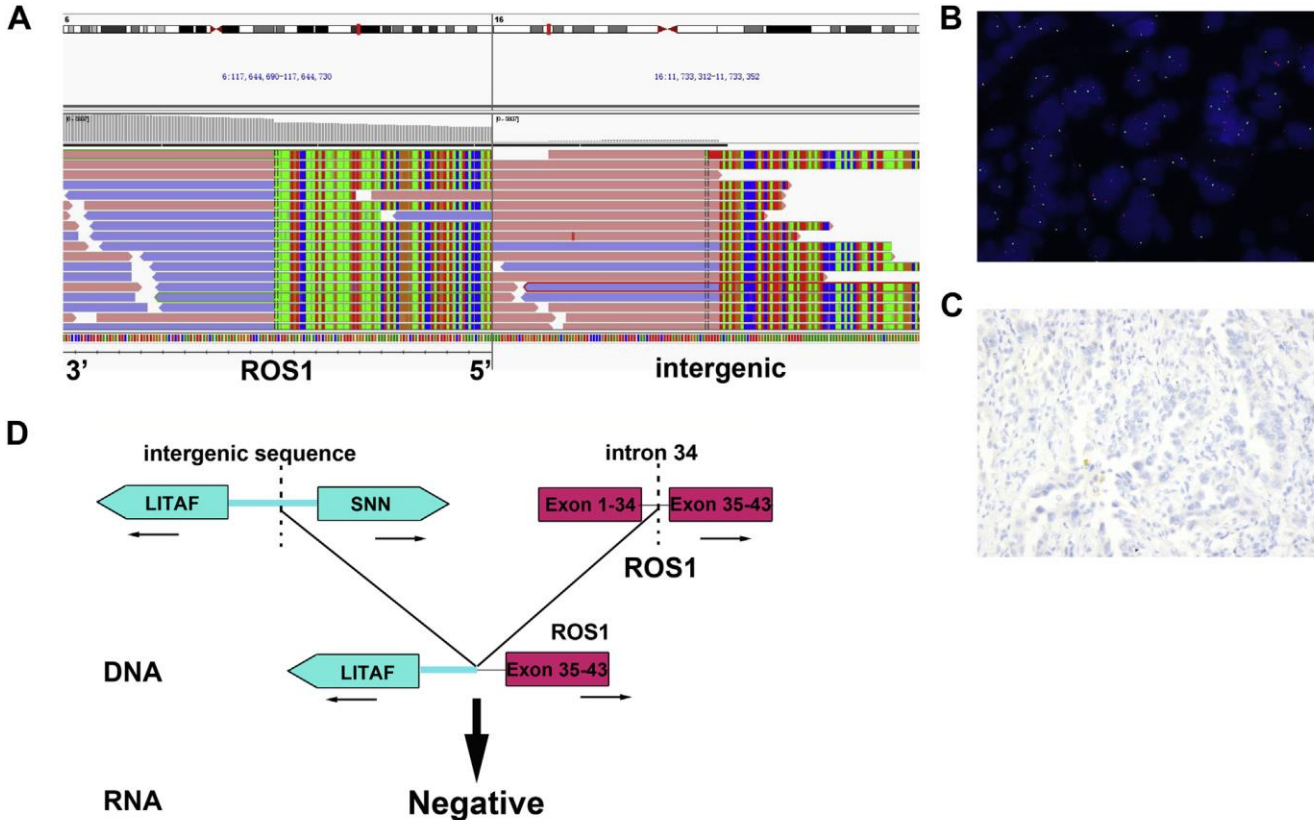
Weihua Li, MD,<sup>a</sup> Yutao Liu, MD,<sup>b</sup> Wenbin Li, PhD,<sup>a</sup> Li Chen, PhD,<sup>c</sup>  
Jianming Ying, MD, PhD<sup>a,\*</sup>

<sup>a</sup>Department of Pathology, National Cancer Center/National Clinical Research Center for Cancer/Cancer Hospital, Chinese Academy of Medical Sciences and Peking Union Medical College, Beijing, People's Republic of China

<sup>b</sup>Department of Medical Oncology, National Cancer Center/National Clinical Research Center for Cancer/Cancer Hospital, Chinese Academy of Medical Sciences and Peking Union Medical College, Beijing, People's Republic of China

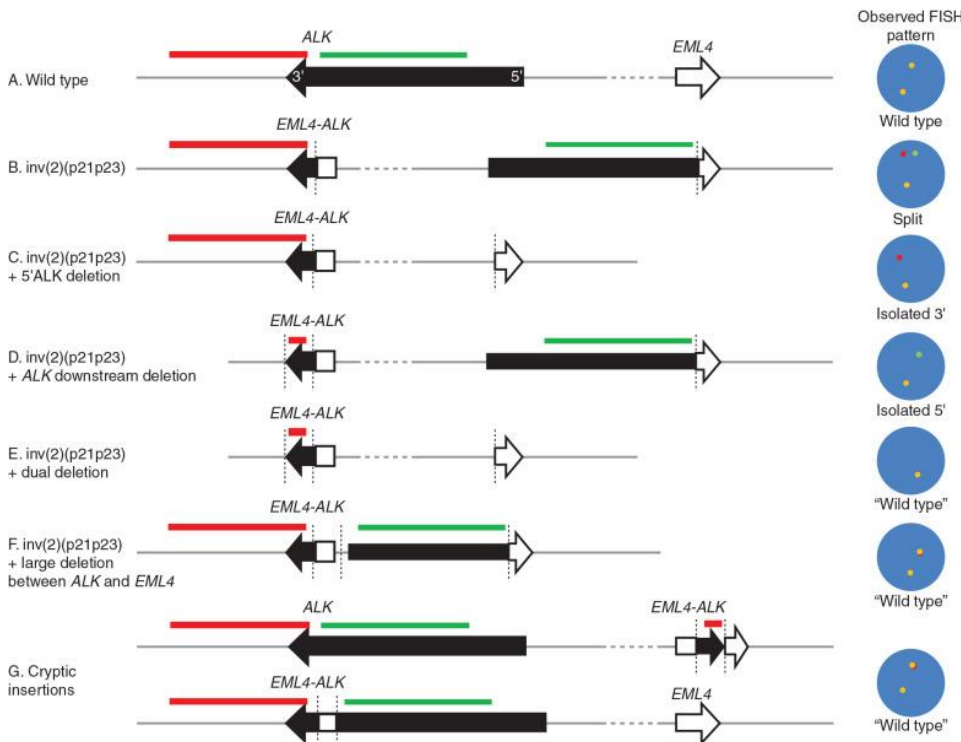
<sup>c</sup>Helltec Biotechnologies, Shenzhen, Guangdong Province, People's Republic of China

Received 11 January 2020; revised 20 February 2020; accepted 21 February 2020



## Prospective and clinical validation of ALK immunohistochemistry: results from the phase I/II study of alectinib for ALK-positive lung cancer (AF-001JP study)

K. Takeuchi<sup>1,2\*</sup>, Y. Togashi<sup>1,2</sup>, Y. Kamihara<sup>3</sup>, T. Fukuyama<sup>3</sup>, H. Yoshioka<sup>4</sup>, A. Inoue<sup>5</sup>, H. Katsuki<sup>3</sup>, K. Kiura<sup>6</sup>, K. Nakagawa<sup>7</sup>, T. Seto<sup>8</sup>, M. Maemondo<sup>9</sup>, T. Hida<sup>10</sup>, M. Harada<sup>11</sup>, Y. Ohe<sup>12</sup>, N. Nogami<sup>13</sup>, N. Yamamoto<sup>14</sup>, M. Nishio<sup>15</sup> & T. Tamura<sup>16</sup>



# Caso 4.

## Cáncer de pulmón con mutación de EGFR

# Caso 4.

## Cáncer de pulmón con mutación de EGFR

Mujer de 59 años, sin antecedentes personales de interés. Historia familiar con tía materna ca ovario, tía materna ca colon, tía materna ca páncreas y tío materno ca estómago (edades entre 60-70 años). Tío paterno ca colon (85 años).

No fumadora. Historia de asma con dolor en HCD y aumento de tos reciente.

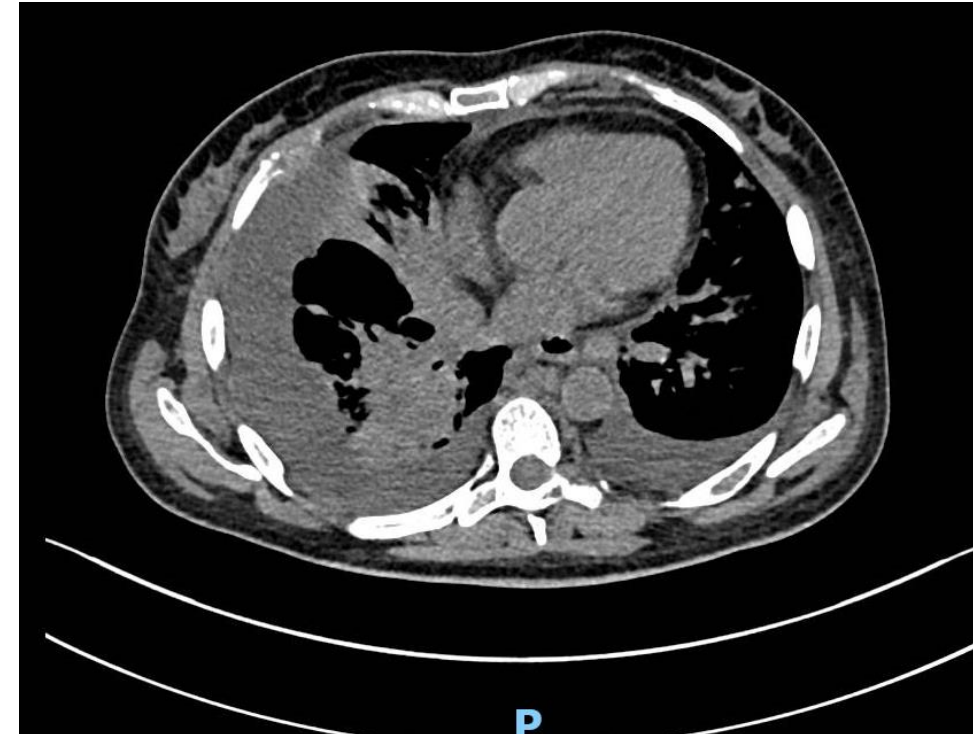
Diagnóstico Oncológico Febrero 2022 : Masa parenquimatosa heterogénea en LID de 7,8 cm. Múltiples lesiones de aspecto metastásico en el parénquima hepático la de mayor tamaño de unos 55 mm en lóbulo caudado. Adenopatías hiliares hepáticas, retroperitoneales y periesofágicas.

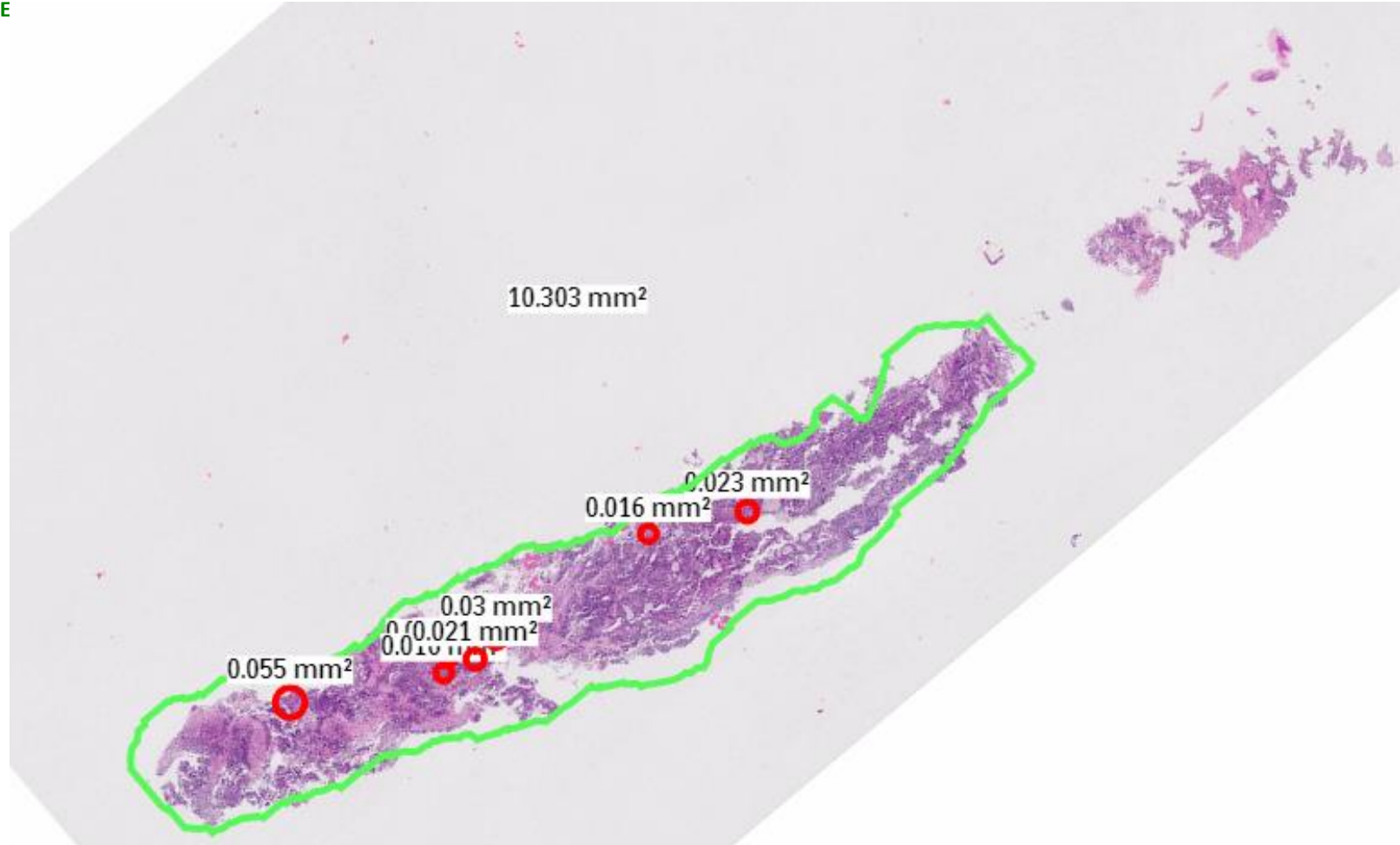
Derrame pericárdico de hasta 17 mm de espesor máximo. Leve cuantía de derrame pleural derecho.

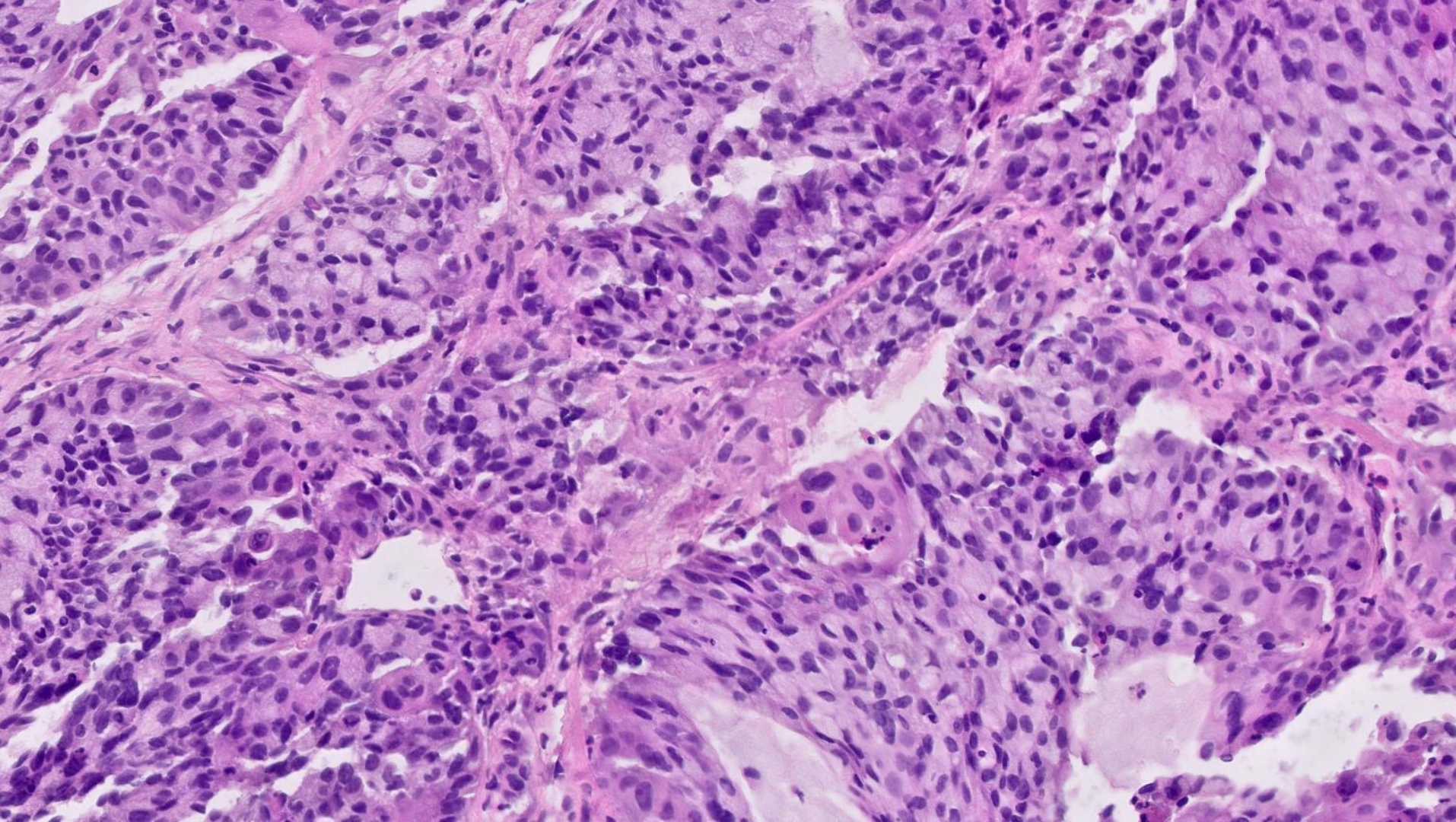
N. MALIGNA DE BRONQUIO PRINCIPAL T: x N: x

M: 1 Estadio: IV

ECOG: 0



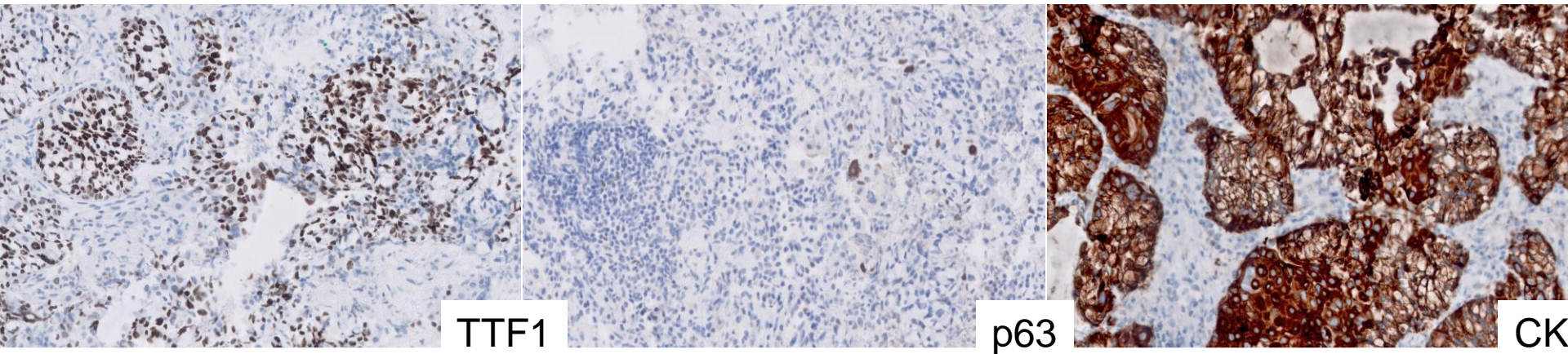




IANNE  
NOMEROSO

# Caso 4.

# Cáncer de pulmón con mutación de EGFR



# Action OncoKitDx

## Perfil mutacional obtenido:

Variantes patogénicas:

EGFR ( NM\_005228.3 ): Exón 19/28 c.2239\_2250del p.Leu747\_Ala750del (VAF 55,31%). Mutado EGFR delección exón 19  
No se identifican traslocaciones de ALK, ROS1 o RET, amplificación de MET, mutaciones del sitio de splicing del exón 14 de MET, mutaciones puntuales en KRAS (codones 12/13 y 61), mutaciones en BRAF (V600), ni mutaciones o inserciones en el exón 20 de ERBB2 (HER2).

## Otras alteraciones identificadas:

Otras variantes patogénicas:

Amplificación de EGFR, 8,43 copias

# Caso 4.

## Cáncer de pulmón con mutación de EGFR

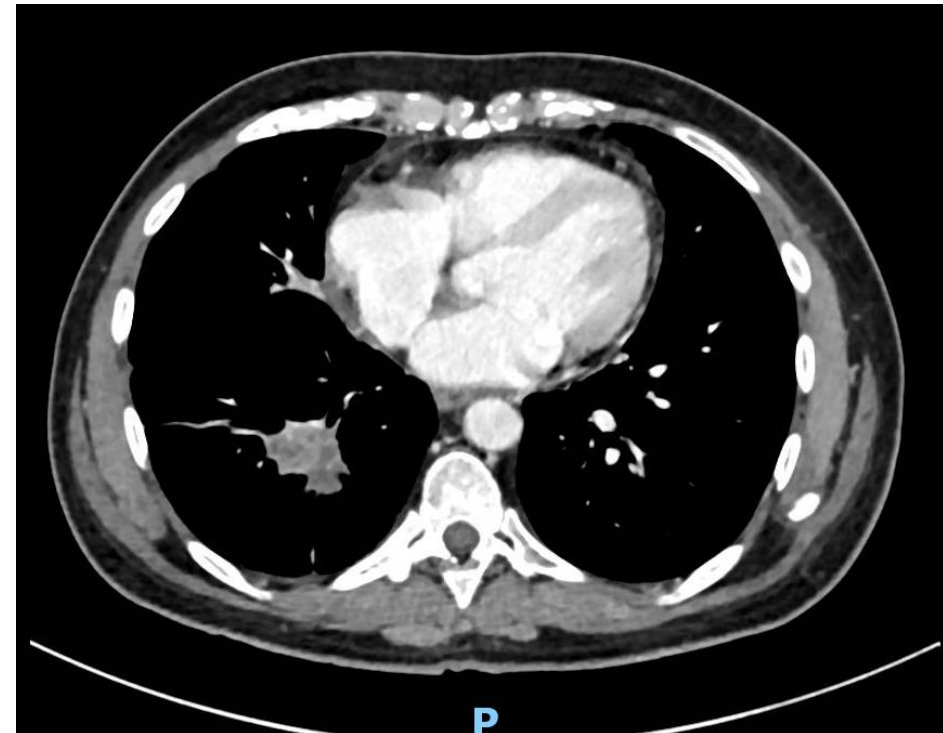
Cáncer de células no pequeñas estadio IVB (hepáticas y ganglionares).

EGFR del 19

PD L1 0%. ALK y NTRK

negativos Marzo 2022: Inicia tratamiento con Osimertinib, con excelente respuesta.

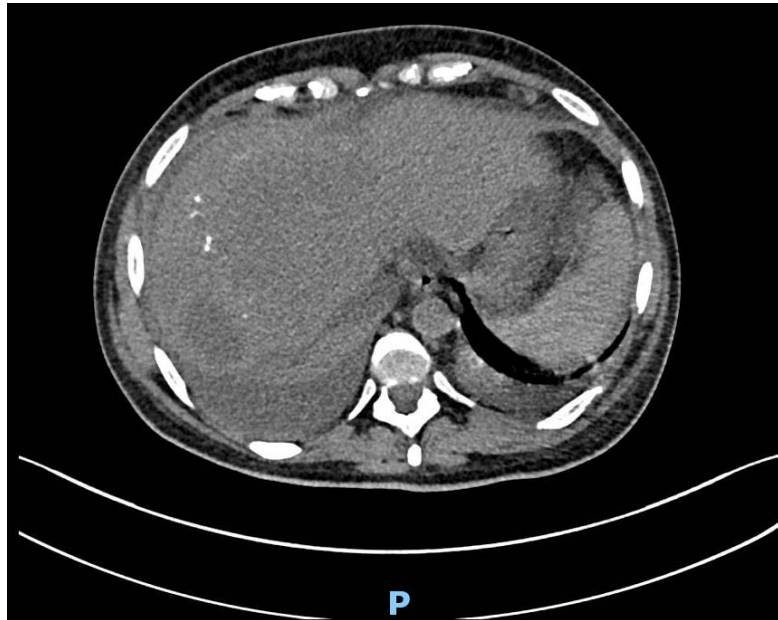
Respuesta en pulmón y regresión de lesiones adenopáticas y hepática



# Caso 4.

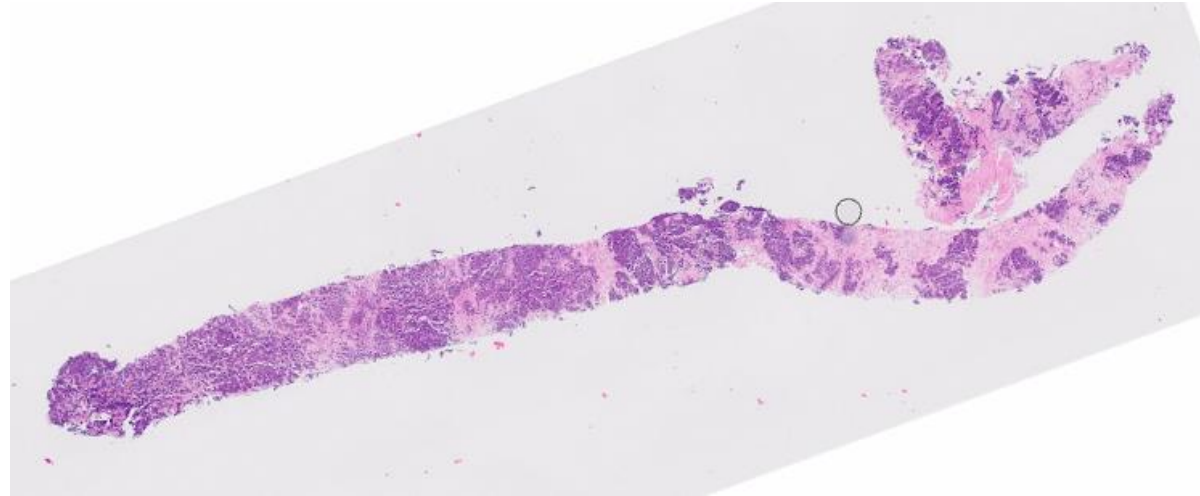
## Cáncer de pulmón con mutación de EGFR

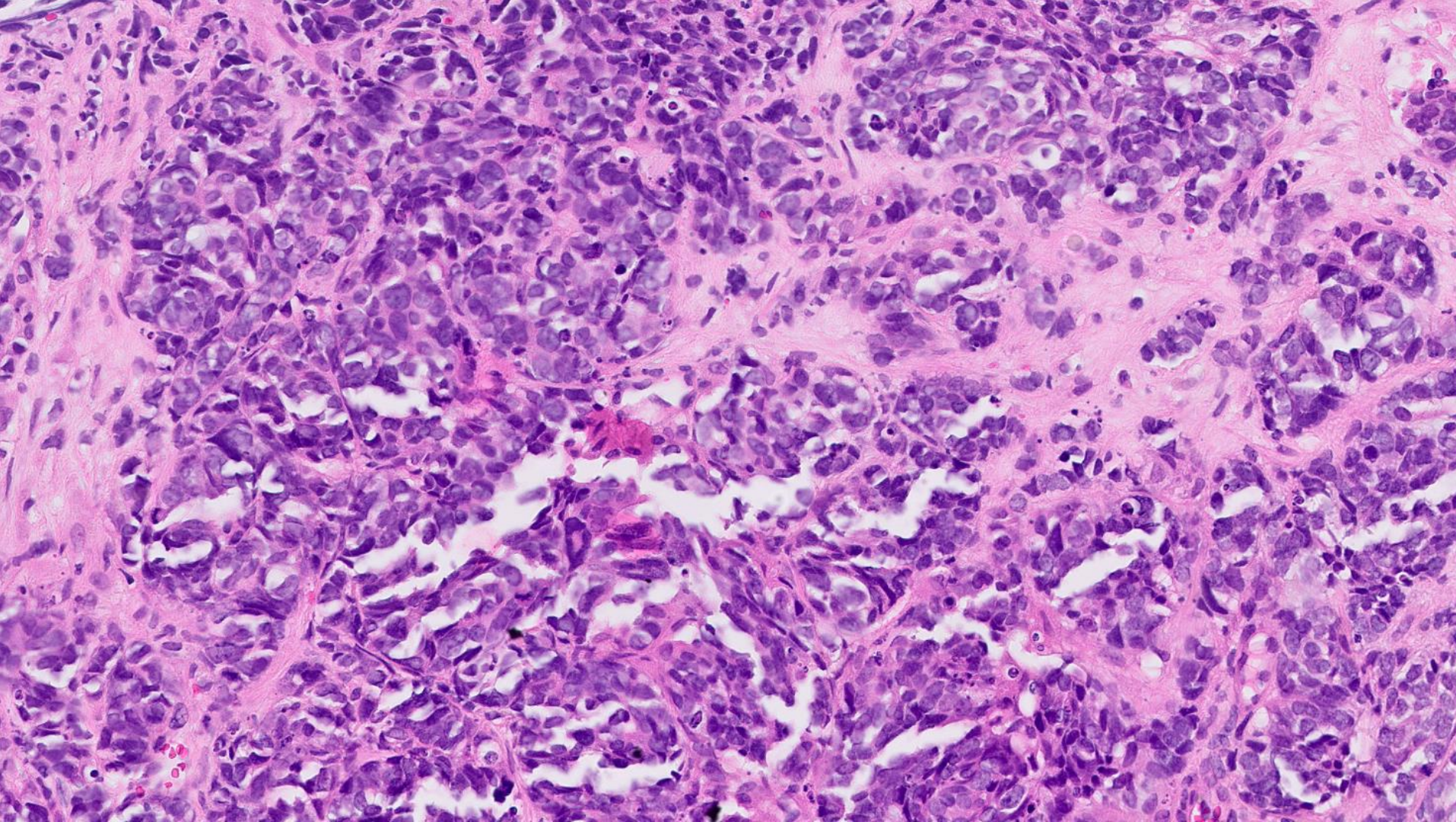
Julio 2023: Progresión pulmonar con afectación hepática importante y 3 lesiones de 14, 8 y 5 mm en SNC.  
1 metástasis ósea en soma C4.

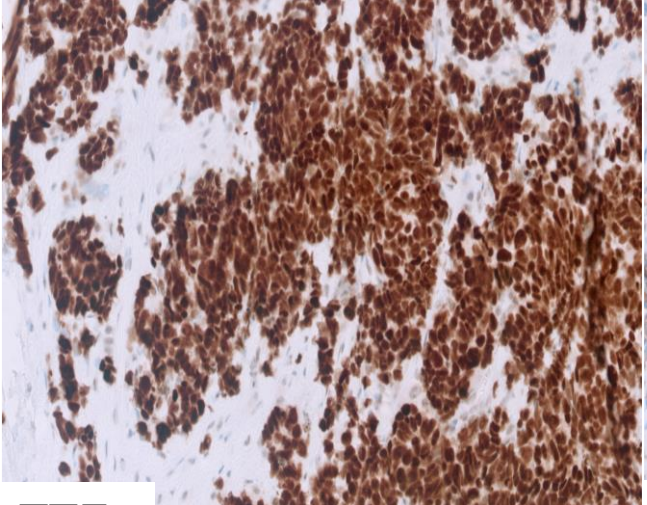


# Caso 4.

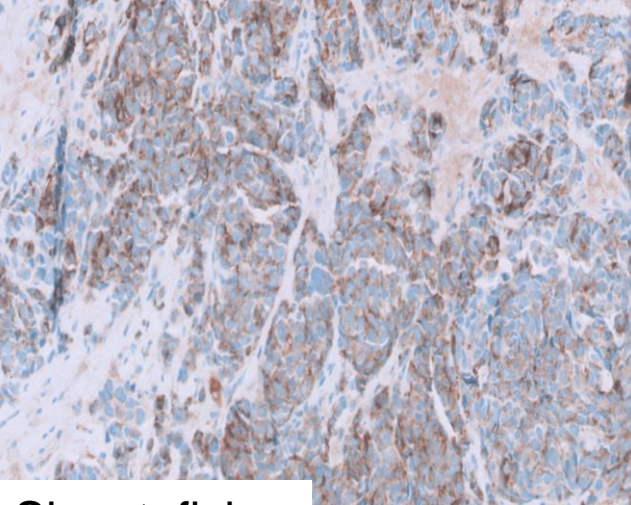
## Cáncer de pulmón con mutación de EGFR



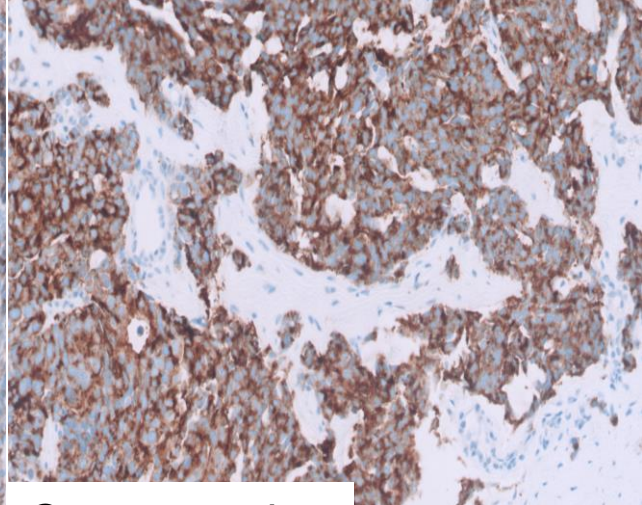




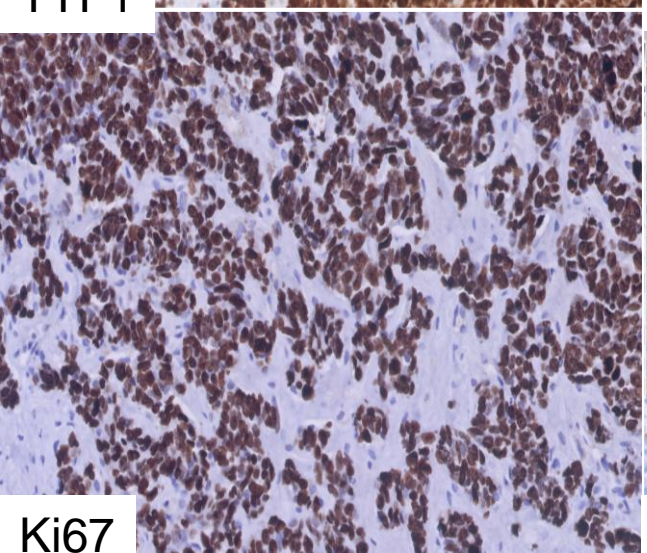
TTF1



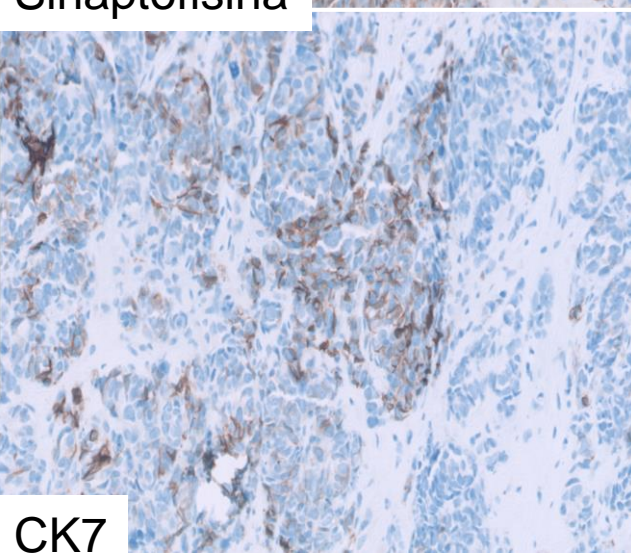
Sinaptophysina



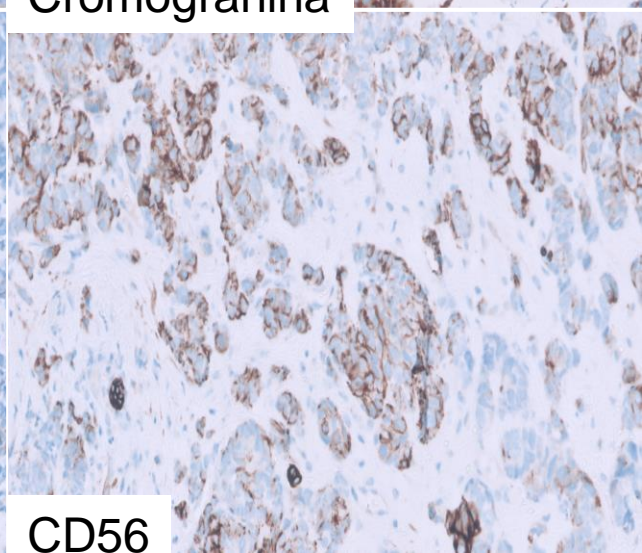
Cromogranina



Ki67



CK7



CD56

# Caso 4.

## Cáncer de pulmón con mutación de EGFR

Cilindros tisulares constituidos por una proliferación neoplásica densamente celular, de hábito epitelial y con parcial morfología fusocelular, que crece formando masas sólidas irregulares, nidos o cordones y como células sueltas, en un estroma fibroescleroso. Las células son de tamaño intermedio, citoplasma eosinófilo no definido y núcleo hipercromático, denso, con ocasional y pequeño nucleolo.

TTF1: positivo, difuso e intenso

Cromogranina: positivo, en la gran mayoría de las células

Sinaptofisina: positivo difuso

CK7: positivo parcheado

P63: positivo parcheado nuclear, en células aisladas

CK20: negativo

Ki67: 90%

**Diagnóstico: Cáncer con características morfológicas e inmunofenotipo congruente con Cáncer de células pequeñas.**

# Action OncoKitDx

## Perfil mutacional obtenido:

Variantes patogénicas:

EGFR ( NM\_005228.3 ): Exón 19/28 c.2239\_2250del p.Leu747\_Ala750del (VAF 70%). Mutado EGFR delección exón 19  
No se identifican traslocaciones de ALK, ROS1 o RET, amplificación de MET, mutaciones del sitio de splicing del exón 14 de MET, mutaciones puntuales en KRAS (codones 12/13 y 61), mutaciones en BRAF (V600), ni mutaciones o inserciones en el exón 20 de ERBB2 (HER2).

## Otras alteraciones identificadas:

Variantes patogénicas:

HRAS NM\_005343.2 :Exón 2/6 c.38G>T p.Gly13Val (VAF:1,11%)

Variantes de significado incierto\*\*:

EGFR ( NM\_005228.3 ): Exón 19/28 c.2251A>C p.Thr751Pro (VAF 62%)

# Caso 4.

# Carcinoma de pulmón con mutación de EGFR

SEARCH  
NUMBER OF RESULTS

cBioPortal FOR CANCER GENOMICS

Data Sets Web API Tutorials/Webinars FAQ News Visualize Your Data About cBioPortal Installations

Login

Modify Query Combined Study (40285 samples)  
Querying 40285 samples / 37648 patients in 36 studies EGFR

Queried gene is altered in • 4796 (13%) of queried patients  
• 5493 (14%) of queried samples

OncoPrint Cancer Types Summary Plots Mutations Structural Variants Beta Comparison/Survival CN Segments Pathways Download

EGFR

Add annotation tracks Y-Axis Max: 5 Showing 7 mutations (7 samples / 5 patients) Remove filter Legend NM\_005228

Recep\_I\_domain Furin-like Recep\_I\_domain GF\_recep\_IV Pkinase\_Tyr

T751P

# patients

EGFR T751P in non-small cell lung cancer

Unknown Oncogenic Effect Unknown Biological Effect

EGFR, a receptor tyrosine kinase, is altered by amplification and/or mutation in lung and brain cancers among others.

The EGFR T751P mutation has not specifically been reviewed by the OncoKB team, and therefore its biological significance is unknown.

There are no FDA-approved or NCCN-compendium listed treatments specifically for patients with EGFR T751P mutant non-small cell lung cancer.

Biological Effect

The EGFR T751P mutation has not specifically been reviewed by the OncoKB team. However, the mutation effect description for EGFR T751, an alternate allele of EGFR T751P, is: The EGFR T751 mutation is located in the kinase domain of the protein. This mutation has been identified in non-small cell lung cancer, plasma cell myeloma and prostate cancer ( ). Although not functionally characterized per se, a patient with ovarian cancer and a patient with sarcoma harboring EGFR T751 were treated with erlotinib, cetuximab and bevacizumab and single agent erlotinib, respectively, and both patients did not respond to treatments ( ). In silico analysis suggests that EGFR T751 confers resistance to treatment with osimertinib ( ).

Columns (10 / 625) t751p

Study of Origin	Sample ID	Cancer Type Detailed	Protein Change	Ann	IC	Allele Freq (T)	# Mut in Sample
Lung Adenocarcinoma (CPTA... Non-Small Cell Lung Cancer ... Non-Small Cell Lung Cancer ... Non-Small Cell Lung Cancer ... Lung Adenocarcinoma Met O... Lung Adenocarcinoma Met O... Metastatic Non-Small Cell Lu...	C3N-02067 CRUK0012-R1 CRUK0012-R2 CRUK0012-Pre-ctDNA P-0020803-T01-WES P-0026255-T01-WES NCI-L-081-01	Lung Adenocarcinoma Non-Small Cell Lung Cancer Non-Small Cell Lung Cancer Non-Small Cell Lung Cancer Lung Adenocarcinoma Lung Adenocarcinoma Lung Adenocarcinoma	T751P T751P T751P T751P T751P T751P T751P	○ ○ ○ ○ ○ ○ ○	7 7 7 7 7 7 7	0.26 0.19 0.13 0.09 0.16 0.28	30 66 63 17 197 94 6

Showing 1-7 of 7 Mutations: includes 2 duplicate mutations in patients with multiple samples (page 1 of 1)

The information above is intended for research purposes only and should not be used as a substitute for professional diagnosis and treatment.

# Caso 4.

# Cáncer de pulmón con mutación de EGFR

VarSome

EGFR(NM\_005228.5):c.2251A>C × hg38 Search Editions About Community News Demo Sign in Join

chr7-55174788-A-C (EGFR p.T751P)

Submit to ClinVar Link publication Classify Share API Link Favorites

General Information SNV EGFR(NM_005228.5):c.2251A>C p.(Thr751Pro)		Somatic Classification Only available in Premium	Cancer Samples Summary cBioPortal Samples: 7 Sources: 1	Germline Classification	Deafness Variation Database No data available	ClinGen No data available
Genes EGFR	JAX CKB No data available	Cosmic Only available in Premium	PharmGKB Only available in Premium	ClinVar No data available	Conservation Scores phyloP100: 9.223	Structural Variants
Community Contributions	CIVIC No data available	ICGC Somatic No data available	Region Browser	LOVD Only available in Premium	Uniprot Variants No data available	Beacon Network
Publications Variant: 1 Gene: 2118	DoCM No data available	Cancer Hotspots No data available	Expression Data Top: cells_cultured_fibroblasts Tissues: 52	Frequencies exomes: not found (cov: 41.7) genomes: not found (cov: 32.4)	In-Silico Predictors PP3: Supporting 9 12 2 4 3	Protein Viewer
Transcripts NM_005228.5 - missense MANE Select	PMKB Tier 1 Evidence: 1 Adenocarcinoma	GDC No data available	GWAS No data available	MitoMap No data available	OMIM Only available in Premium	

Variant Explain

Chromosome chr7 Position 55174788 REF Sequence A ALT Sequence C Variant type SNV Cytoband 7p11.2 HGVS EGFR(NM\_005228.5):c.2251A>C p.(Thr751Pro) RS ID rs2128954841 | dbSNP Gene symbol EGFR

UCSC genome browser Masternim Mastermind TraP Score

This variant has been viewed 15 times on VarSome.

Connect with past and future viewers of this variant...

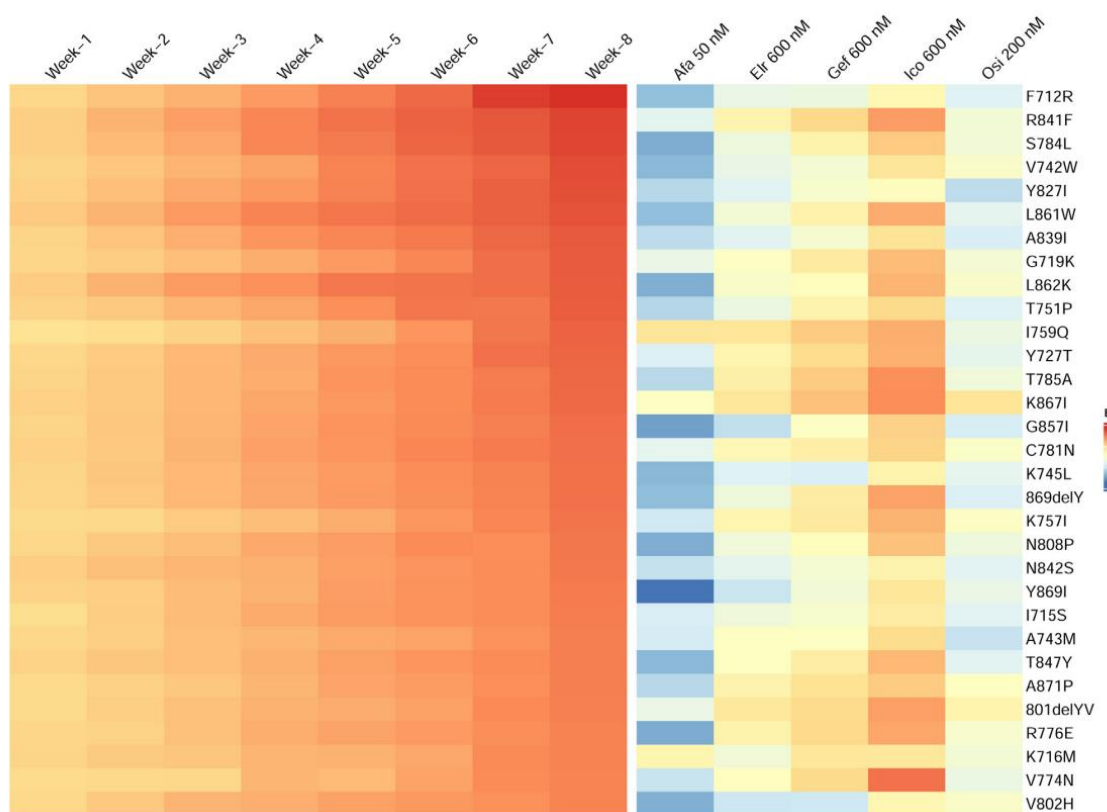
⚠ VarSome.com is for research use only. Find out about our clinically certified platform: VarSome Clinical.



## Original Research Article

## Defining the sensitivity landscape of EGFR variants to tyrosine kinase inhibitors

Lei An<sup>a,b</sup>, Yueqiang Wang<sup>b,c</sup>, Guangyao Wu<sup>a</sup>, Zhenxing Wang<sup>a</sup>, Zeyuan Shi<sup>a</sup>, Chang Liu<sup>c</sup>, Chunli Wang<sup>c</sup>, Ming Yi<sup>d</sup>, Chengguang Niu<sup>e</sup>, Shaofeng Duan<sup>c</sup>, Xiaodong Li<sup>a</sup>, Wenxue Tang<sup>f,g</sup>, Kongming Wu<sup>d</sup>, Shuqing Chen<sup>b,c,f,g</sup>, Hongen Xu<sup>f,g,\*</sup>



# Caso 5.

## Clasificación molecular en cáncer de endometrio

AVANZATE  
NOMBRE RECURSO

# Caso 5.

# Clasificación molecular en cáncer de endometrio

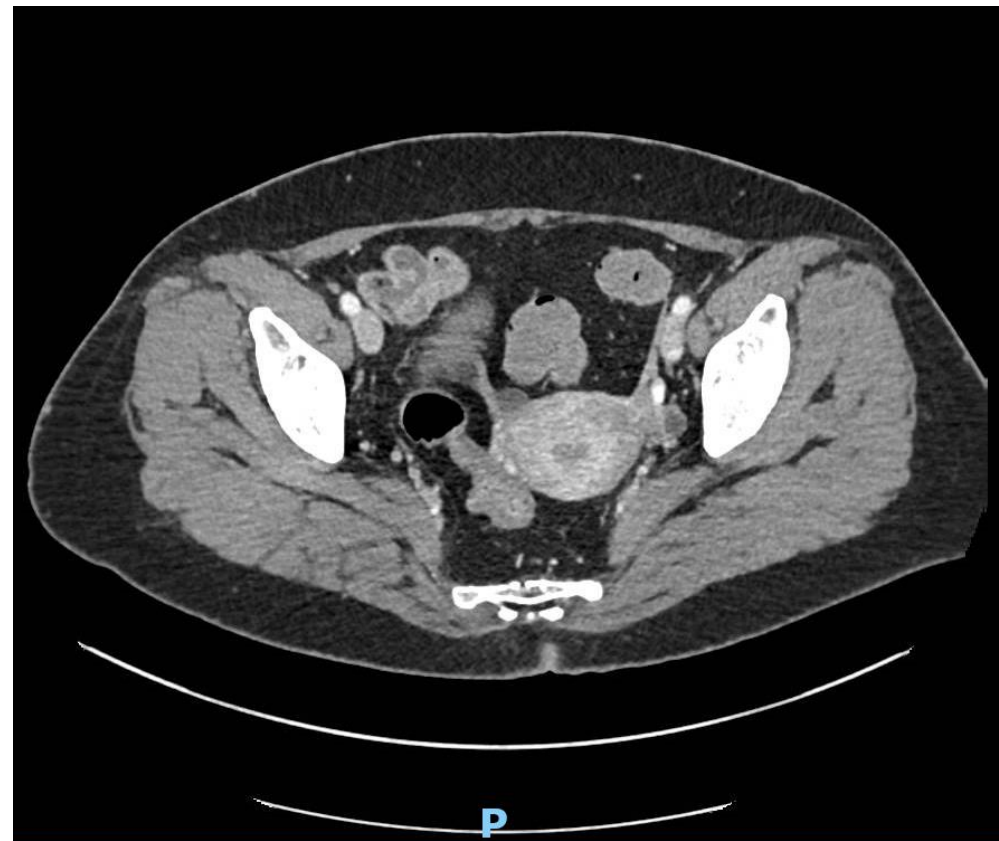
Mujer de 53 años que acude para realizar histerectomía + doble anexectomía+ BSGC por ca de endometrio No antecedentes

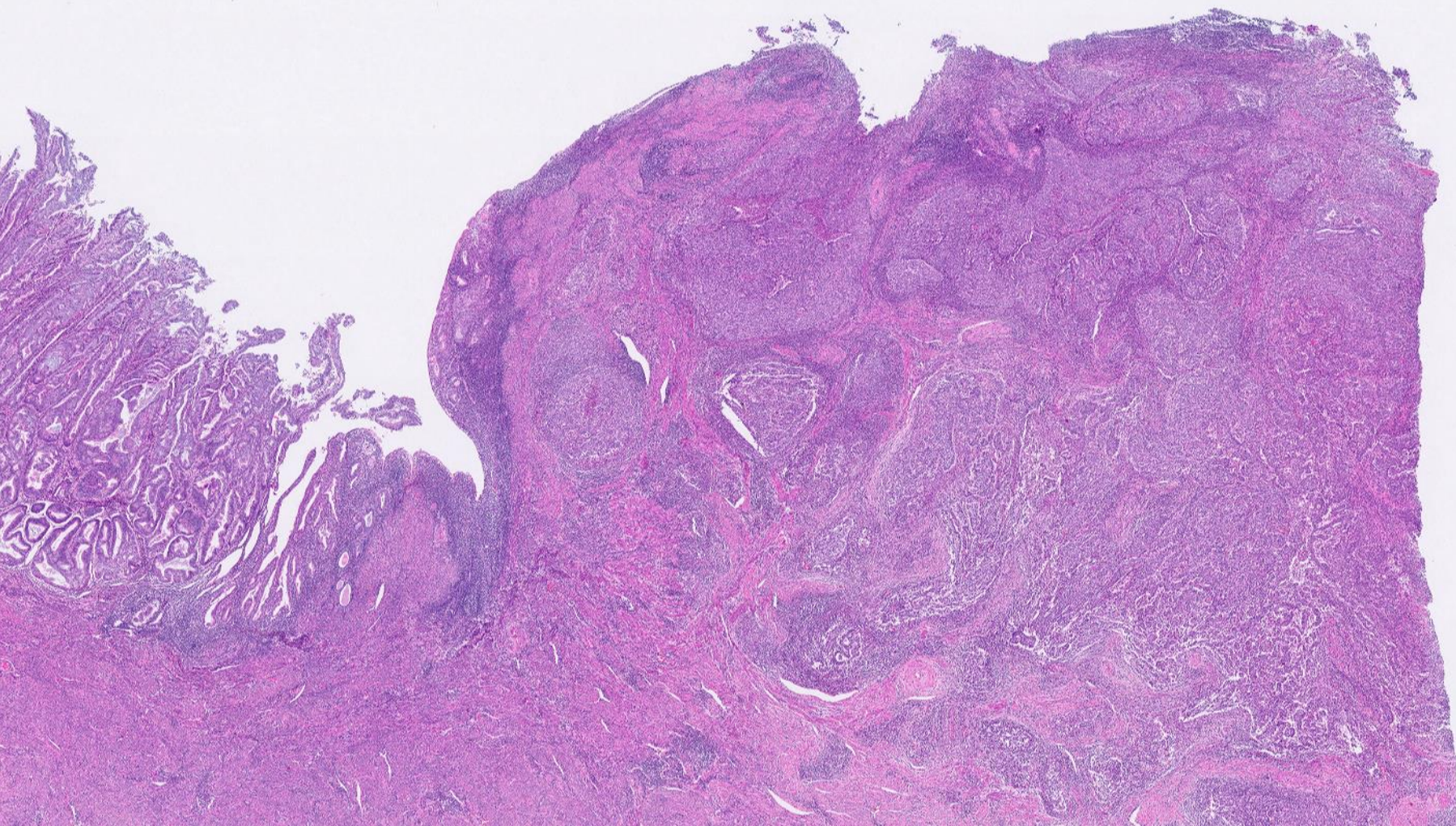
Familiares de ca de mama o ginecológico.

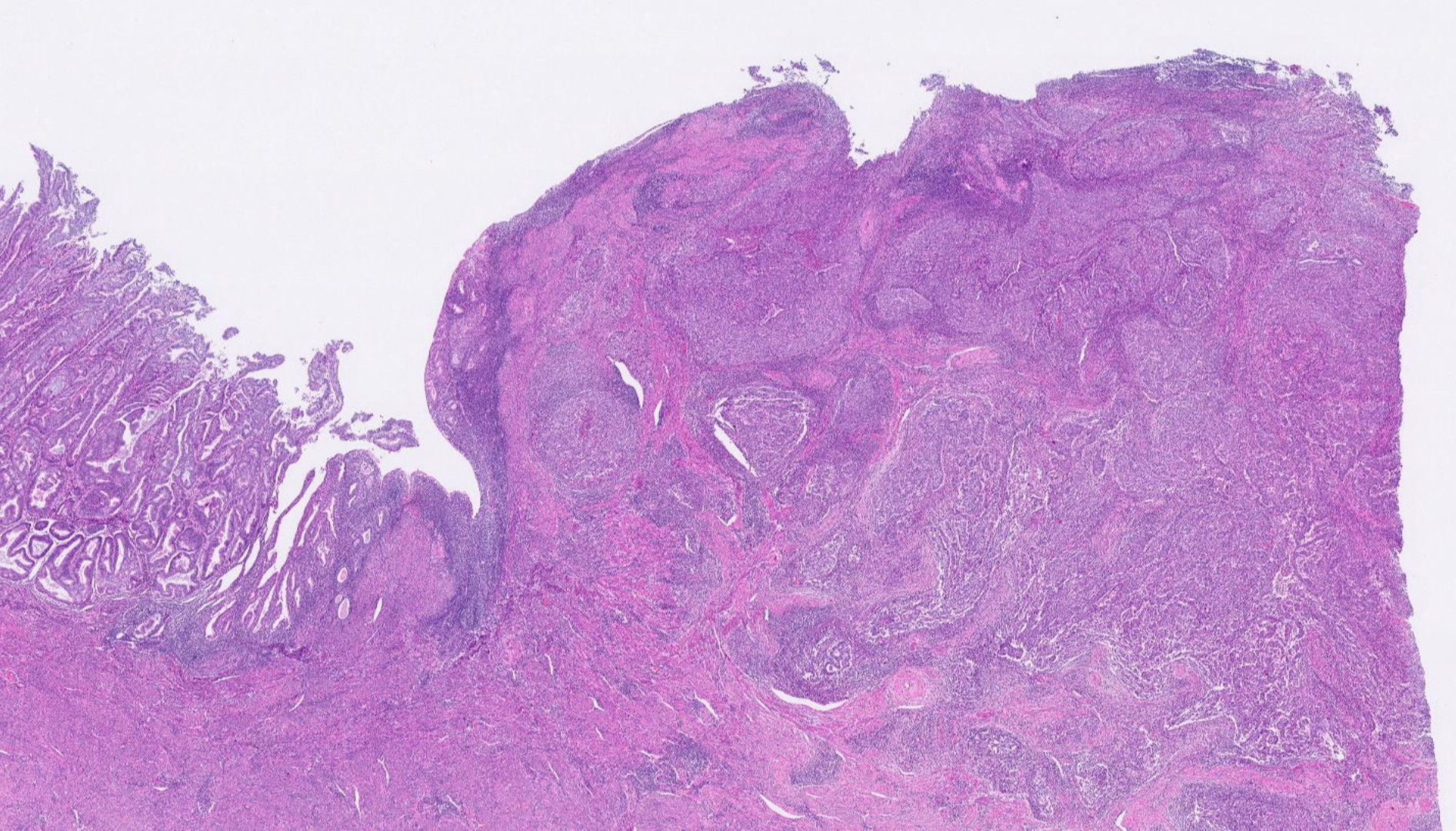
Mq: 17 años G2P2 Menopausia 51 años.

Última citología: hace 2 meses en matrona de centro de salud.

TC: Útero con endometrio con dilatación cavidad endometrial con formaciones hiperrefringentes irregulares en su interior, con afectación de miometrio, compatible con Estadio II. No patología anexial. No LL 02/21. Histerectomía total + doble anexectomía + ganglio centinela pélvico.







**ADENOCARCINOMA ENDOMETRIAL de TIPO ENDOMETRIOIDE grado 3 (FIGO)**(grado arquitectural 3- grado nuclear 3) con áreas bien diferenciadas, subtipo molecular de BAJO RIESGO en la muestra remitida.

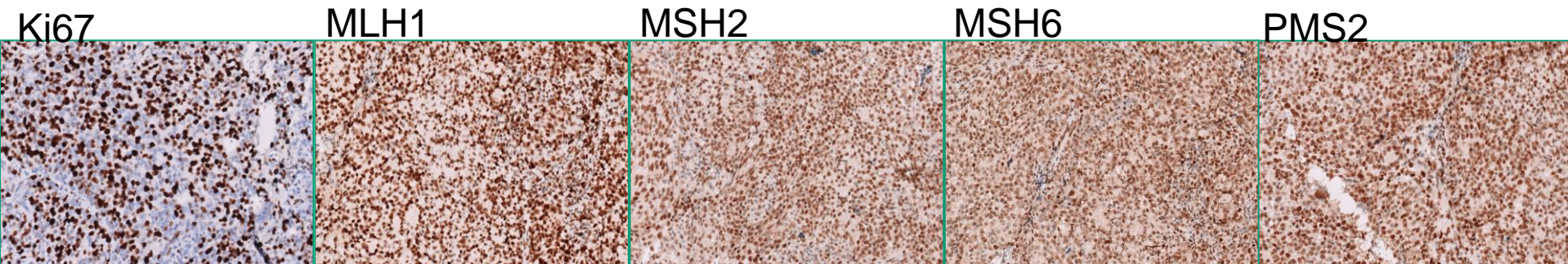
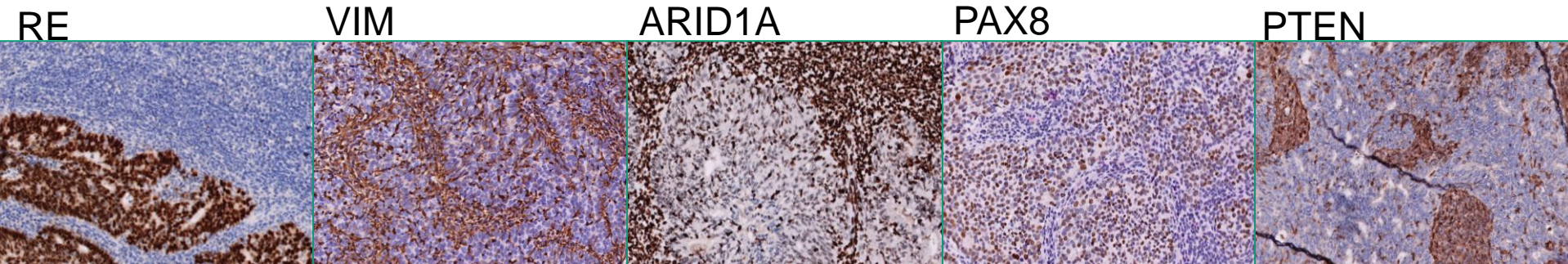
p53: wild type.

WT1: negativo.

p16: negativo

CK7: positivo áreas diferenciadas, negativo áreas pobemente diferenciadas.

CK20 negativo.



## Perfil mutacional obtenido:

Variantes patogénicas:

POLE ( NM\_006231.2 )Exón 14 c.1366G>C ; p.Ala456Pro VAF :30,8%

## Otras alteraciones identificadas:

Variantes patogénicas:

PTEN ( NM\_000314.4 )Exón 1 c.19G>T ; p.Glu7Ter VAF :21,04%

PIK3CA ( NM\_006218.2 )Exón 2 c.263G>A ; p.Arg88Gln VAF :27,16%

Variantes probablemente patogénicas:

ARID1A ( NM\_006015.4 )Exón 20 c.5299G>T ; p.Glu1767Ter VAF :6,24%

CTNNB1 ( NM\_001904.3 )Exón 3 c.110C>A ; p.Ser37Tyr VAF :18,78%

PBRM1 ( NM\_018313.4 )Exón 17 c.2128C>T ; p.Arg710Ter VAF :6,69%

EGFR ( NM\_005228.3 )Exón 18 c.2174C>T ; p.Thr725Met VAF :5,68%

ATM ( NM\_000051.3 )Exón 37 c.5623C>T ; p.Arg1875Ter VAF :6,45%

ATRX ( NM\_000489.3 )Exón 9 c.2342G>A ; p.Arg781Gln VAF :18,6%

Variantes de significado incierto\*\*:

MSH2 ( NM\_000251.2 )Exón 9 c.1432C>T ; p.Leu478Phe VAF :18,7%

IDH1 ( NM\_005896.2 )Exón 9 c.1036C>T ; p.Leu346Phe VAF :5,7%

FGFR4 ( NM\_001291980.1 )Exón 5 c.535A>G ; p.Thr179Ala VAF:46,81%

ROS1 ( NM\_002944.2 )Exón 33 c.5397G>T ; p.Gln1799His VAF :6,42%

ESR1 ( NM\_000125.3 )Exón 2 c.470G>A ; p.Arg157Gln VAF :5,75%

PMS2 ( NM\_000535.5 )Exón 11 c.1981G>A ; p.Glu661Lys VAF :16,76%

MET ( NM\_001127500.1)Exón 10 c.2360C>A ; p.Ser787Ter VAF :23,94%

NTRK2 ( NM\_006180.3 )Exón 15 c.1427A>C ; p.Lys476Thr VAF :19,7%

PTEN ( NM\_000314.4 )Exón 8 c.834C>A ; p.Phe278Leu VAF :8,28%

BRCA2 ( NM\_000059.3 )Exón 10 c.1811A>C ; p.Lys604Thr VAF :5,55%

MAP2K1 ( NM\_002755.3 )Exón 7 c.765G>T ; p.Glu255Asp VAF :21,46%

NTRK3 ( NM\_002530.3 )Exón 10 c.964G>A ; p.Glu322Lys VAF :20,57%

CDH1 ( NM\_004360.3 )Exón 7 c.871G>A ; p.Asp291Asn VAF :5,51%

ATRX ( NM\_000489.3 )Exón 30 c.6617A>G ; p.Glu2206Gly VAF :5,07

## Inestabilidad de microsatélites:

No se identifica inestabilidad de microsatélites, fracción de inestabilidad 0,28 (marcadores inestables 100 de 110 analizados) (MSS 0-0.17)

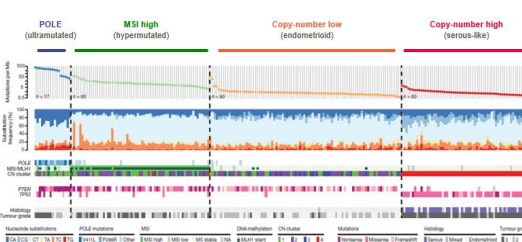
# Estratificación del riesgo en cáncer de endometrio

## ARTICLE



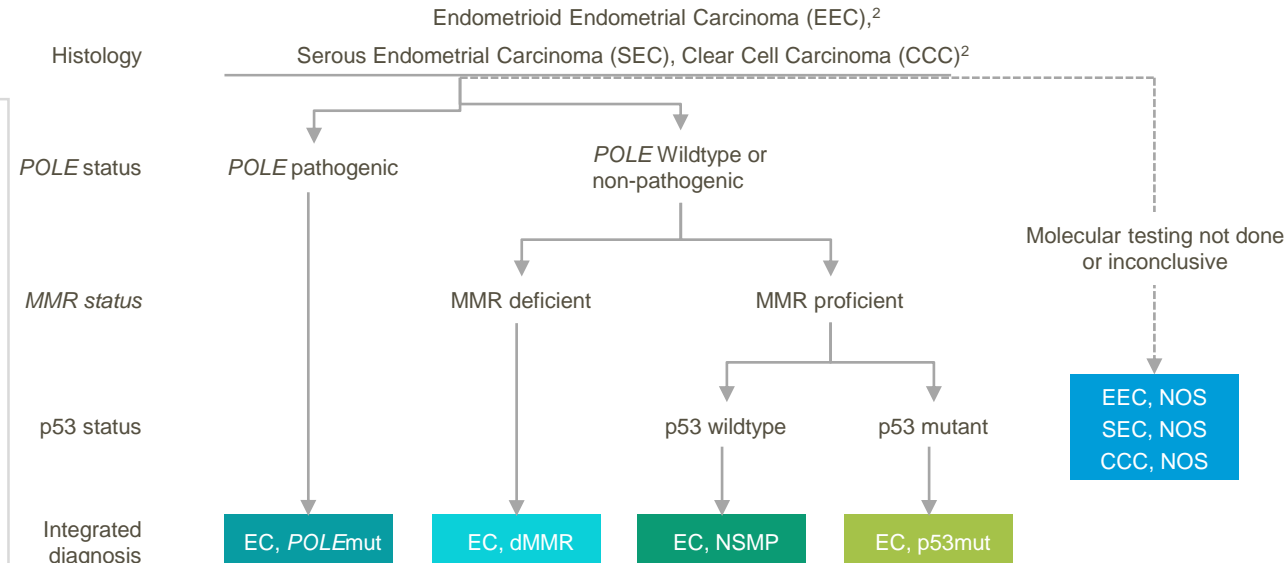
### Integrated genomic characterization of endometrial carcinoma

The Cancer Genome Atlas Research Network\*



### Genomic-based molecular

Image adapted from Cancer Genome Atlas Research Network, et al. *Nature*. 2013;497:67-73.

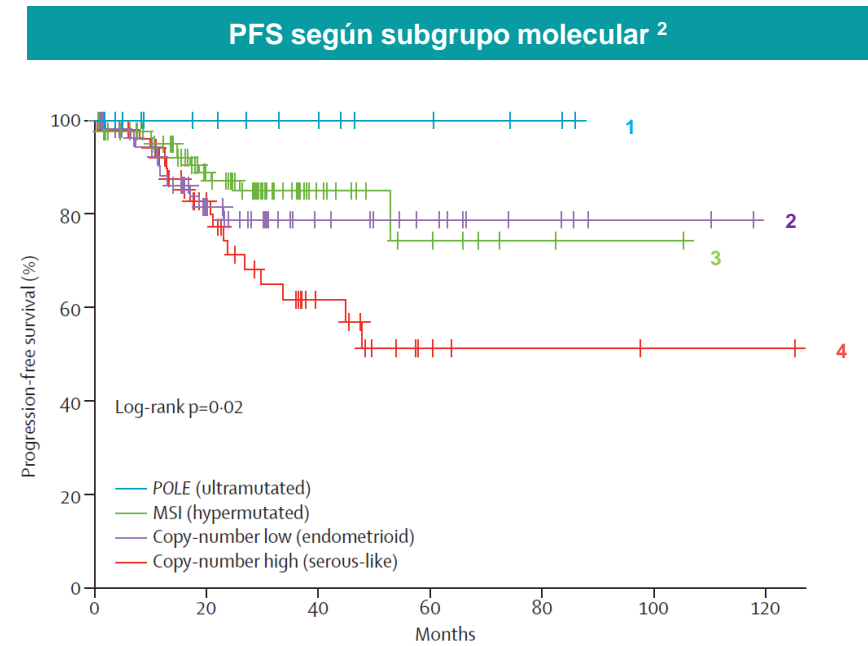


# Los tumores de endometrio pueden clasificarse en

## 4 subgrupos moleculares

Subgrupos moleculares TCGA <sup>2</sup>				
	1 POLE 5-10%	2 MSI-high 25-30%	3 Copy number low 45%	4 Copy number high 25%
Mutation load				
Somatic copy number alterations load				
Histology	Endometrioid	Endometrioid	Endometrioid	Serous and endometrioid
Grade				
PI3K alterations				
KRAS mutation				
TP53 mutation	35%	5%	1%	>90%
Prognosis	Excellent	Intermediate	Intermediate	Poor

**POLE y MSI-H tienen una alta carga mutacional tumoral:** suelen caracterizarse por un alto número de TILs y una alta expresión de puntos de control inmunitarios <sup>3</sup>

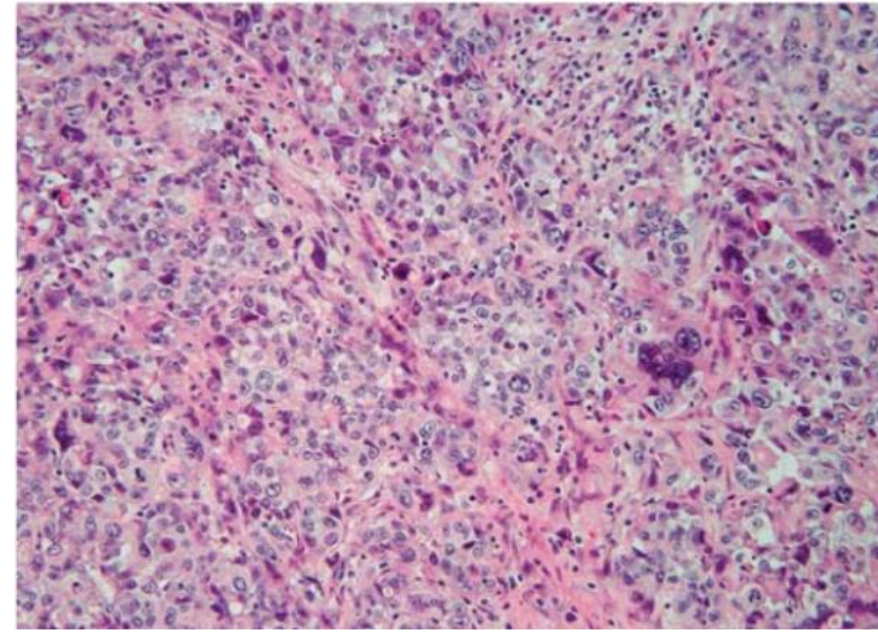


Estos subgrupos moleculares se correlacionan con el pronóstico de la enfermedad <sup>1,2</sup>

# Subtipos moleculares en cáncer de endometrio

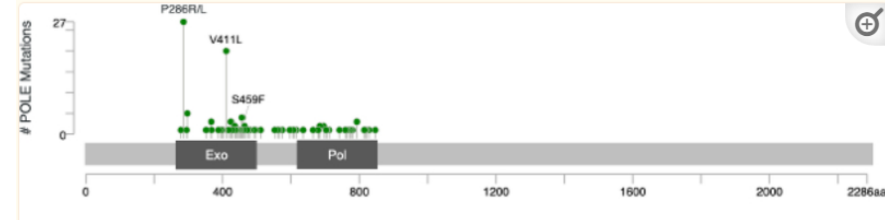
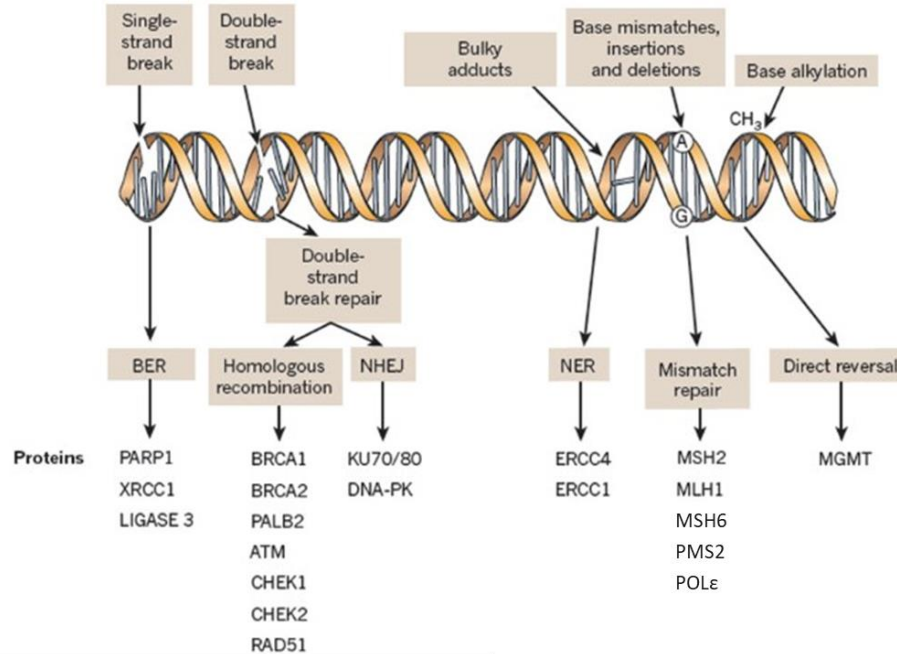
## POLE

- 5 -10%
- Carcinomas ultramutados ( $100-230 \times 10^{-6}/\text{Mb}$ )
- Endometrioides casi siempre
- Heterogeneidad morfológica intratumoral-morfología ambigua (seroso-endometrioides).
- Alto grado: atipia de alto grado parcheada (bizarra)
- TILs
- Mujeres más jóvenes.
- No relacionados con Índice de masa corporal.
- Excelente pronóstico.
- Potencial beneficio a la inmunoterapia



# Subtipos moleculares en cáncer de endometrio

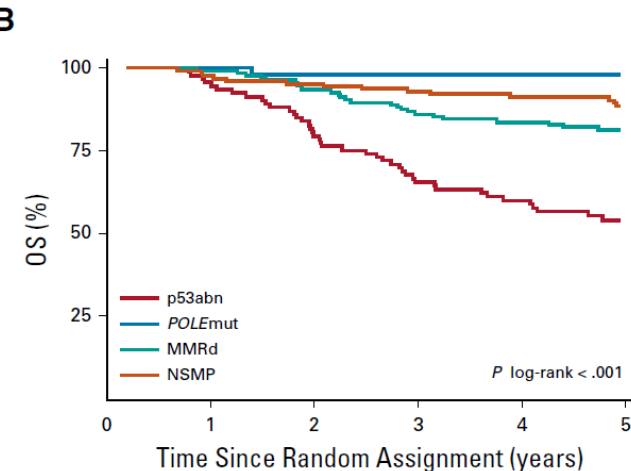
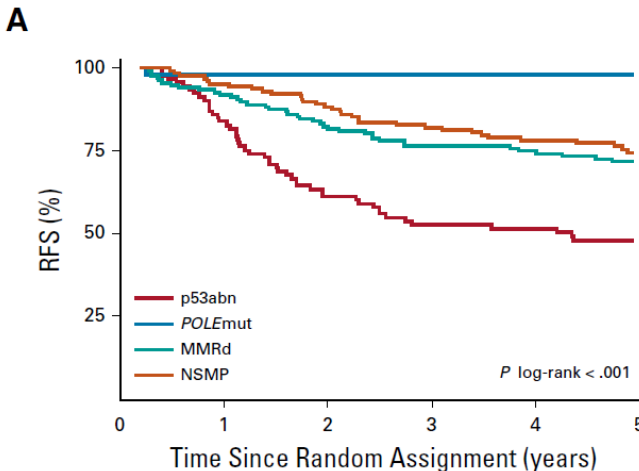
## POLE



# Molecular Classification of the PORTEC-3 Trial for High-Risk Endometrial Cancer: Impact on Prognosis and Benefit From Adjuvant Therapy

Alicia León-Castillo, MD<sup>1</sup>; Stephanie M. de Boer, MD<sup>2</sup>; Melanie E. Powell, MD<sup>3</sup>; Linda R. Mileskin, MBBS<sup>4</sup>; Helen J. Mackay, MD<sup>5</sup>; Alexandra Leary, MD, PhD<sup>6</sup>; Hans W. Nijman, MD, PhD<sup>6,7</sup>; Naveena Singh, MD, MBBS<sup>8</sup>; Pamela M. Pollock, PhD<sup>9</sup>; Paul Bessette, MD<sup>10</sup>; Anthony Fyles, MD<sup>11</sup>; Christine Haie-Meder, MD<sup>12</sup>; Vincent T. H. B. M. Smit, MD, PhD<sup>1</sup>; Richard J. Edmondson, MD<sup>13</sup>; Hein Putter, MD<sup>14</sup>; Henry C. Kitchener, MD<sup>13</sup>; Emma J. Crosbie, MD, PhD<sup>13</sup>; Marco de Bruyn, PhD<sup>7</sup>; Remi A. Nout, MD<sup>2</sup>; Nanda Horeweg, MD, PhD<sup>2</sup>; Carien L. Creutzberg, MD, PhD<sup>2</sup>; and Tjalling Bosse, MD, PhD<sup>1</sup> on behalf of the TransPORTEC consortium

This analysis confirms the excellent survival of patients with *POLEmut* EC even in those with advanced-stage and nonendometrioid histologies, with no differences between adjuvant treatment received. This favorable clinical outcome is thought to be the result of the patients' enhanced T-cell response due to their high mutational burden.<sup>24</sup>



# Caso 5.

## Clasificación molecular en cáncer de endometrio

Decisión CM: No tratamiento adyuvante (EBRT ± brachytherapy ± systemic therapy), seguimiento.

12/22: Libre de enfermedad

# Caso 6.

## Dianas terapéuticas en colangiocarcinoma

# Caso 6.

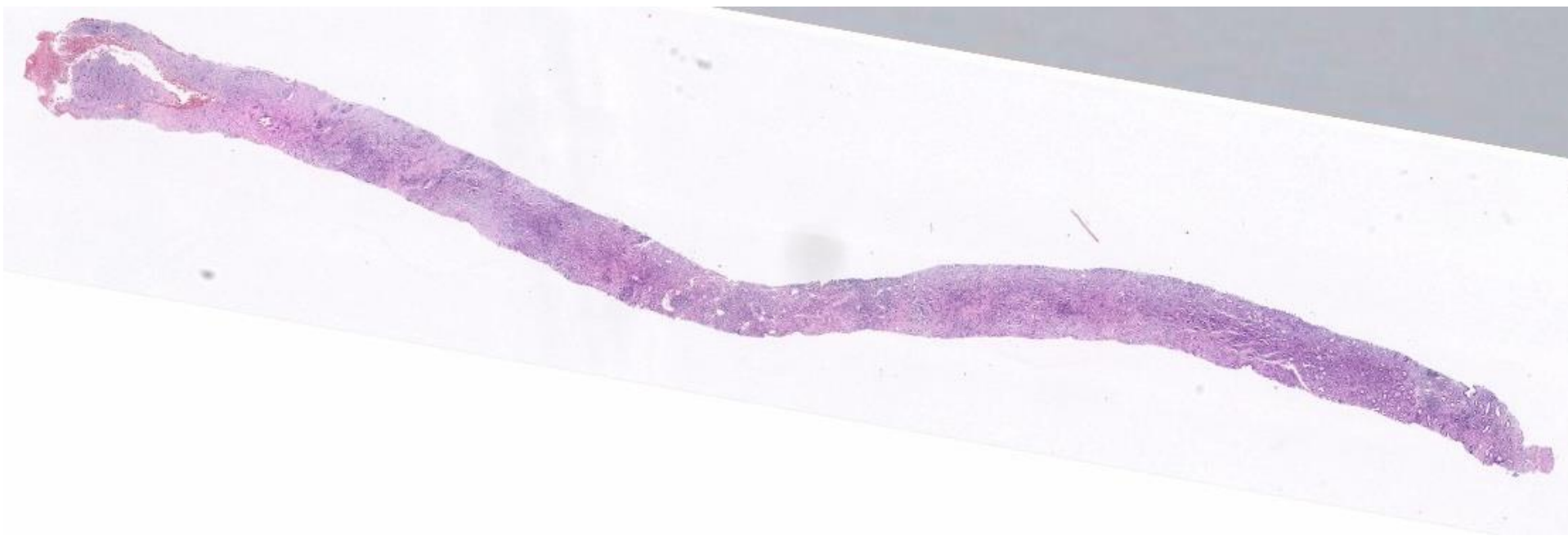
## Dianas terapéuticas en colangiocarcinoma

- Varón de 65 años, con antecedentes de consumo alcohólico y exfumador (IPA 75), diabetes y dislipemia. En tratamiento por su patología descrita.
- Enfermedad pulmonar obstructiva crónica con obstrucción leve.
- Adenomas de colon con displasia leve en 2016.
- Paciente incluido en programa de cribado de cáncer de pulmón en el centro, desde Dic/2019, donde se realiza TC screening, detectándose LOEs hepáticas en Marzo/2020 en el segmento II y III de 6 cm y en el segmento IVA de 1.5 cm.
- BAG hepática.



AVANTE

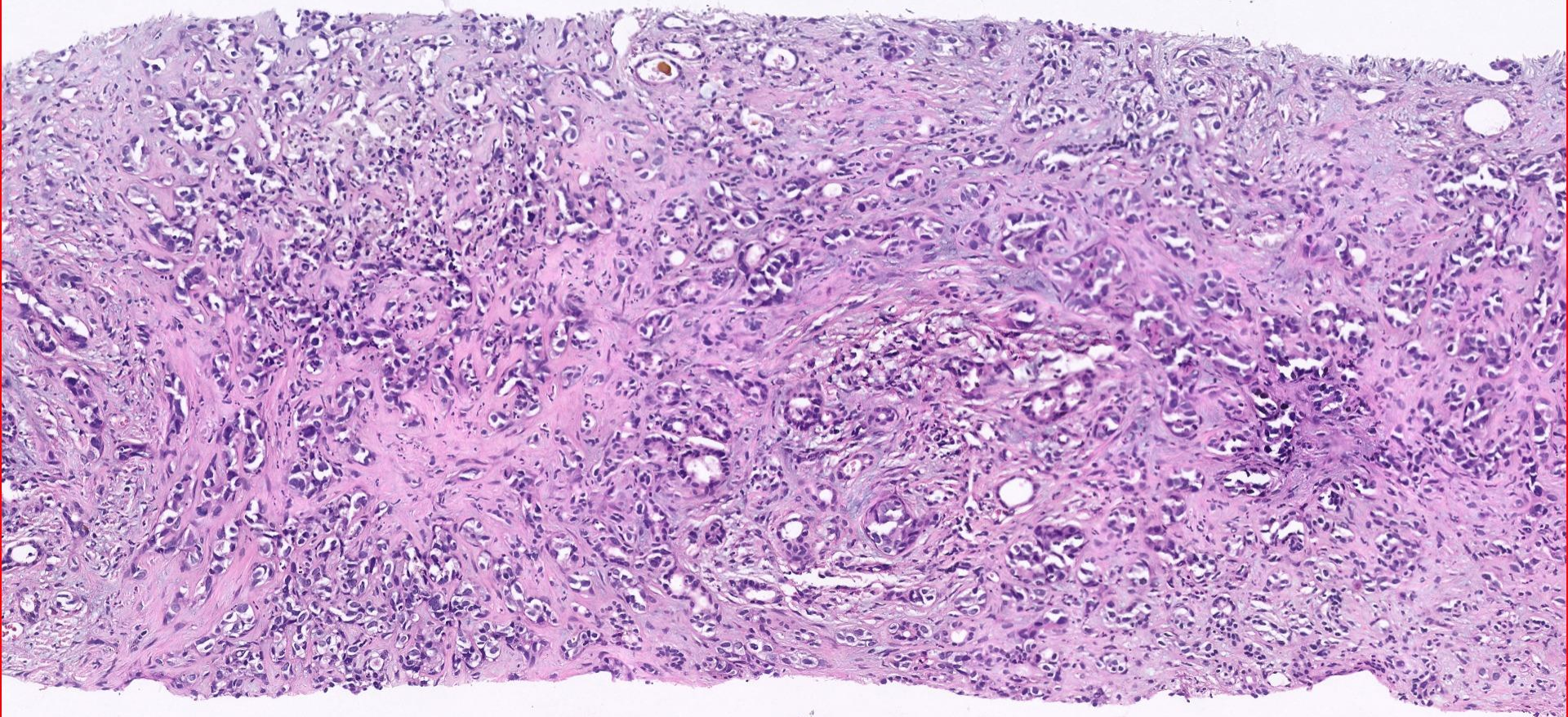
**NOMBRE CURSO**

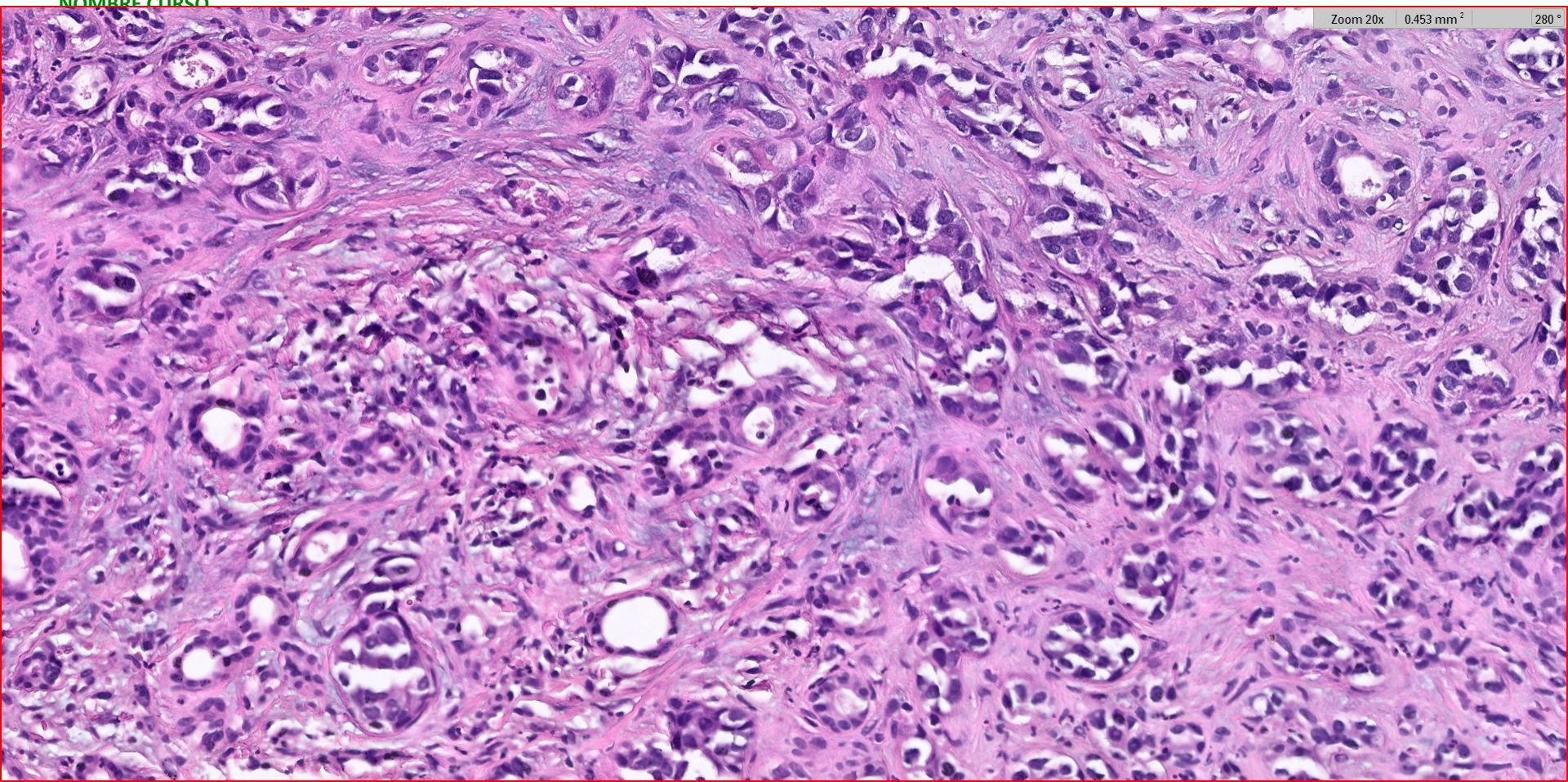


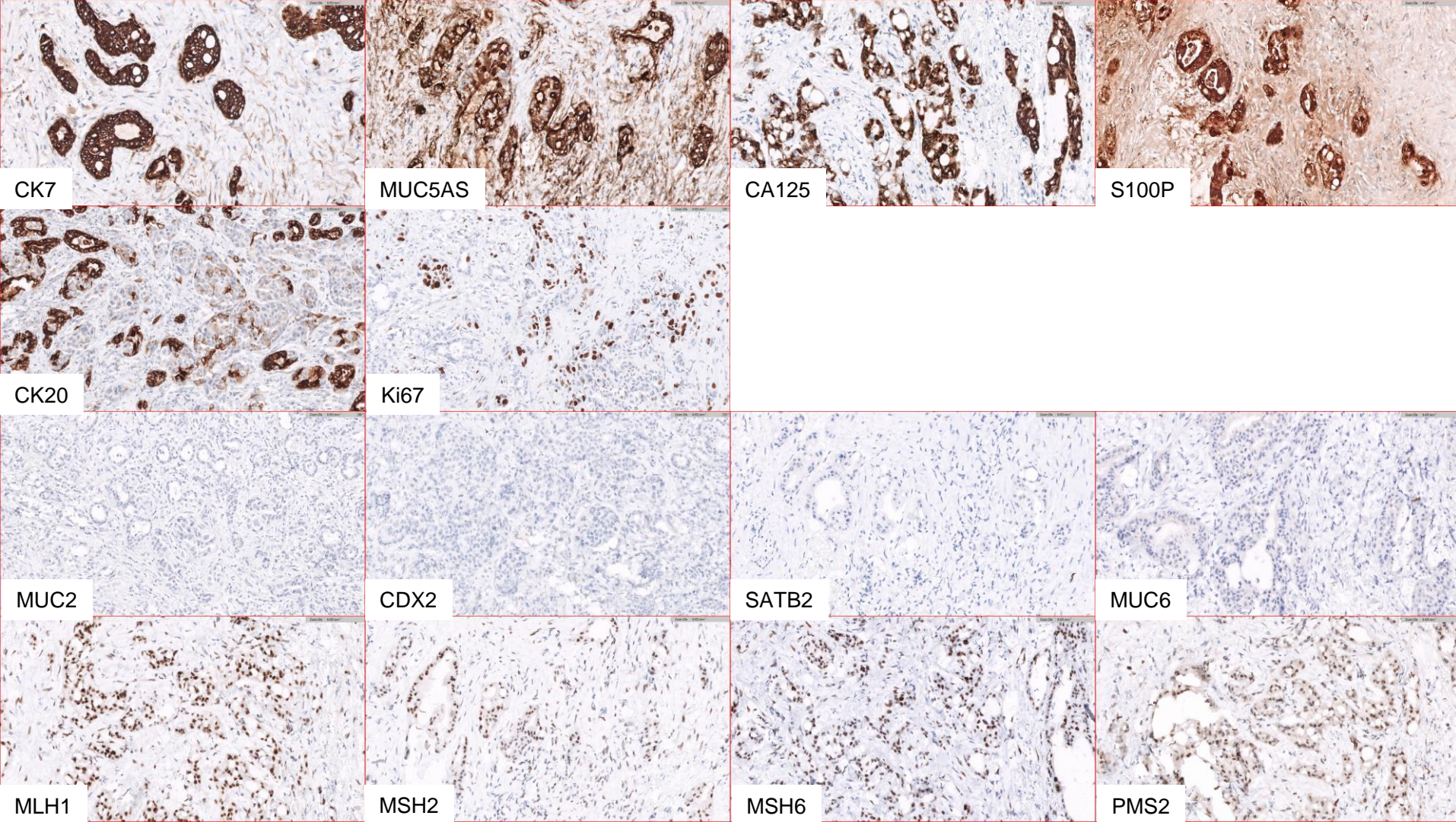
AVANTE

NOMBRE CURSO

Zoom 10x | 1.811 mm<sup>2</sup> | 280 °







# Caso 6.

## Dianas terapéuticas en colangiocarcinoma

### BAG hepática:

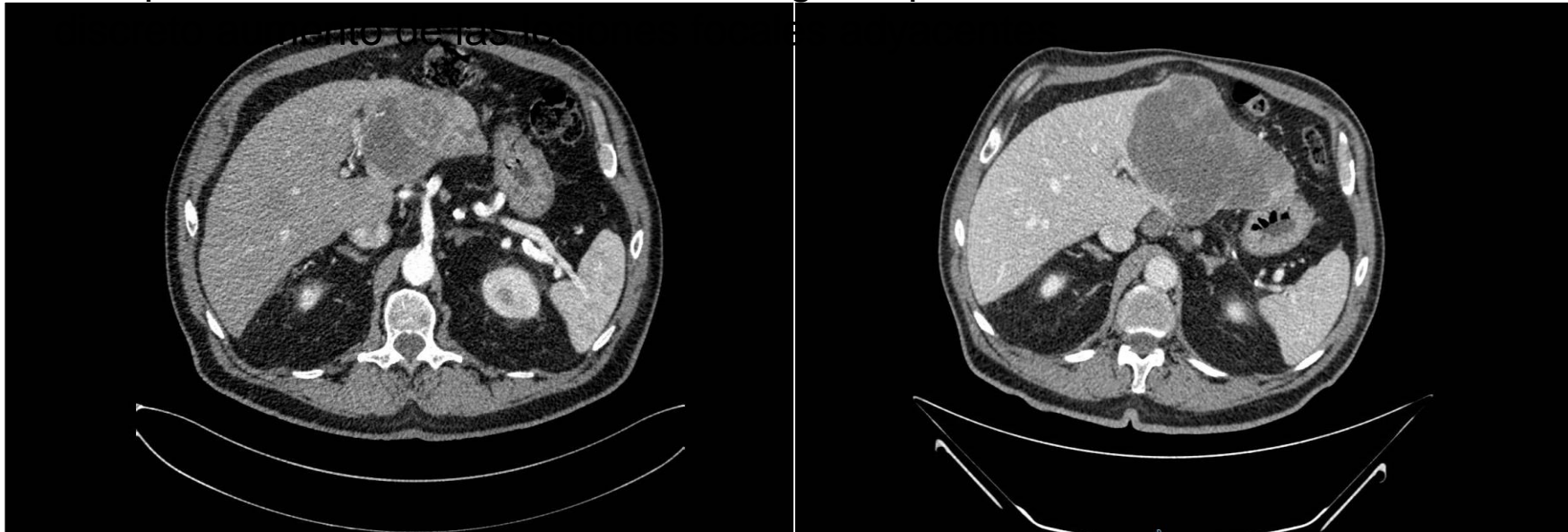
Tejido hepático con infiltración por Adenocarcinoma de patrón pancreatobiliar moderadamente diferenciado.

En caso de corresponder clínicamente a una lesión primaria hepática, el tumor es compatible con colangiocarcinoma.

# Caso 6.

## Dianas terapéuticas en colangiocarcinoma

- Inicia tratamiento con capecitabina, con progresión a los 6 meses (Nov/2020).
- Se propone segunda línea con FOLFOX. Tras 4 ciclos, progresión (sin respuesta a 2º línea FOLFOX, Ene/2021): masa en lóbulo hepático izquierdo, de unos 13 cm, que impronta la cápsula anterior extendiéndose a la grasa peritoneal. se observa también



# Action OncoKitDx

Secuenciadores compatibles	Illumina NextSeq500, Illumina NextSeq2000, Illumina HiSeq, Illumina NovaSeq
Número de reacciones	20
Número de muestras por run	Mid Output v2.5 kit (150 cycles): 12 muestras High Output v2.5 kit (150 cycles): 32 muestras
Secuenciación	Paired-end (2 x 75 ciclos)
Cantidad de ADN por muestra	50-200 ng
Calidad de ADN recomendada	DIN >3
Región genómica analizada	500 Kb
Genes diana	<b>SNVs e INDELs:</b> AKT1*, ALK, ARID1A, ATM, ATRX, BAP1, BRAF, BRCA1, BRCA2, CDH1, CHEK2, CTNNB1, EGFR, ERBB2, ESR1, FGFR1, FGFR4, GNA11, GNAQ, H3F3A, HIST1H3B, HIST1H3H, HRAS, IDH1, IDH2, KIT, KRAS, MAP2K1, MET, MLH1, MSH2, MSH6, MTOR, MYC, NRAS, NTRK1, NTRK2, NTRK3, PALB2, PBRM1, PDGFRA, PIK3CA, PMS2 + 5'UTR, PTEN, POLD1, POLE, RET, ROS1, SDHA, SDHB, SDHD, TERT + 5'UTR, TSC1*, TSC2*, TP53 y VHL.  * Secuenciación de <i>hotspot</i> <b>SVs:</b> ALK (intrón 19) ATP1B1 (intrones 3 y 4), BRAF (intrones 7, 8, 9 y 10), EGFR (intrones 7, 23, 24 y 25), ETV6 (intrones 4 y 5), FGFR2 (intrón 17 y región 3'UTR), FGFR3 (intrón 17 y región 3'UTR), NTRK1 (intrones 8, 9, 10, 11 y 12), NTRK2 (intrones 12 y 15), RET (intrones 9, 10 y 11) y ROS1 (intrones 31, 32, 33, 34 y 35).
	ADN procedente de sangre periférica, tejido fresco, congelado y parafinado

## Variantes patogénicas:

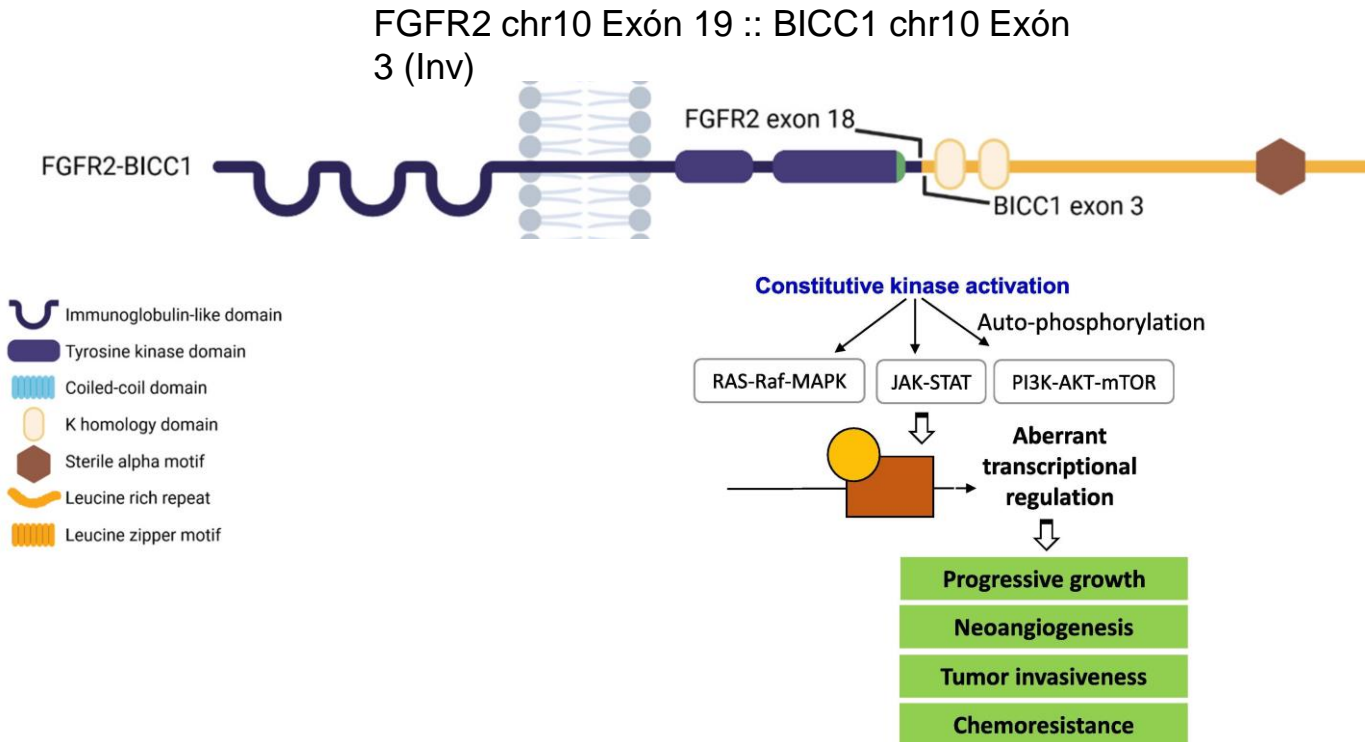
- FGFR2 chr10 Exón 19:29448317 :: BICC1 chr10 Exón 3 (Inv):42253550 (124 lecturas)

## Variantes de significado incierto:

- GNAQ: NM\_002072.3. Exón2 c.286A>T; p.Thr96Ser (VAF 7%)
- BAP1: NM\_004656.3. Exón 15; c.1946G>A; c.2197T>C (VAF 67%)

# Caso 6.

## Dianas terapéuticas en colangiocarcinoma



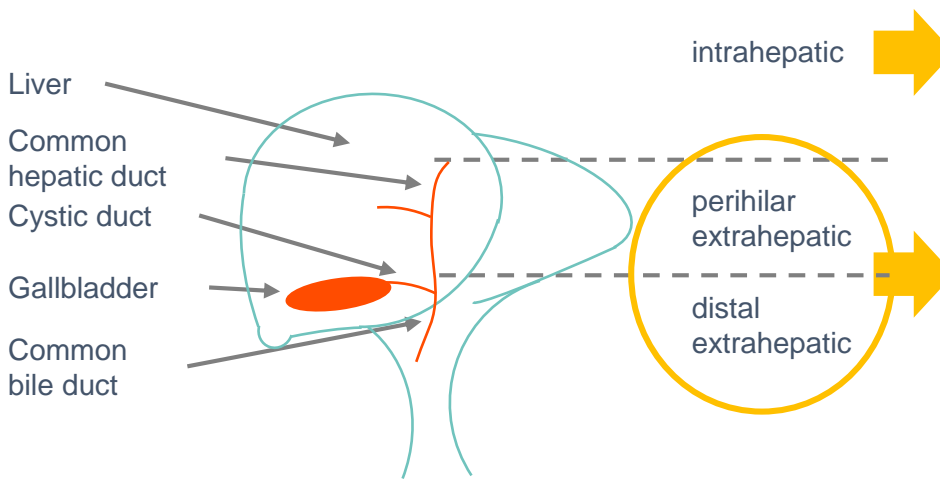
# Each location has a different genomic profile and signature alterations

**Genes associated with a good prognosis<sup>1,2</sup>:**

*FGFR2*

**Genes associated with a poor prognosis<sup>1,2</sup>:**

*EGFR, MET, BAP1, PBRM1, KRAS, TP53, MAPK/mTOR pathway, ARID2, CDKN2A/B, ERBB2 amplification, ALK, ARID1A, PIK3CA, STK11, TGFBR2*



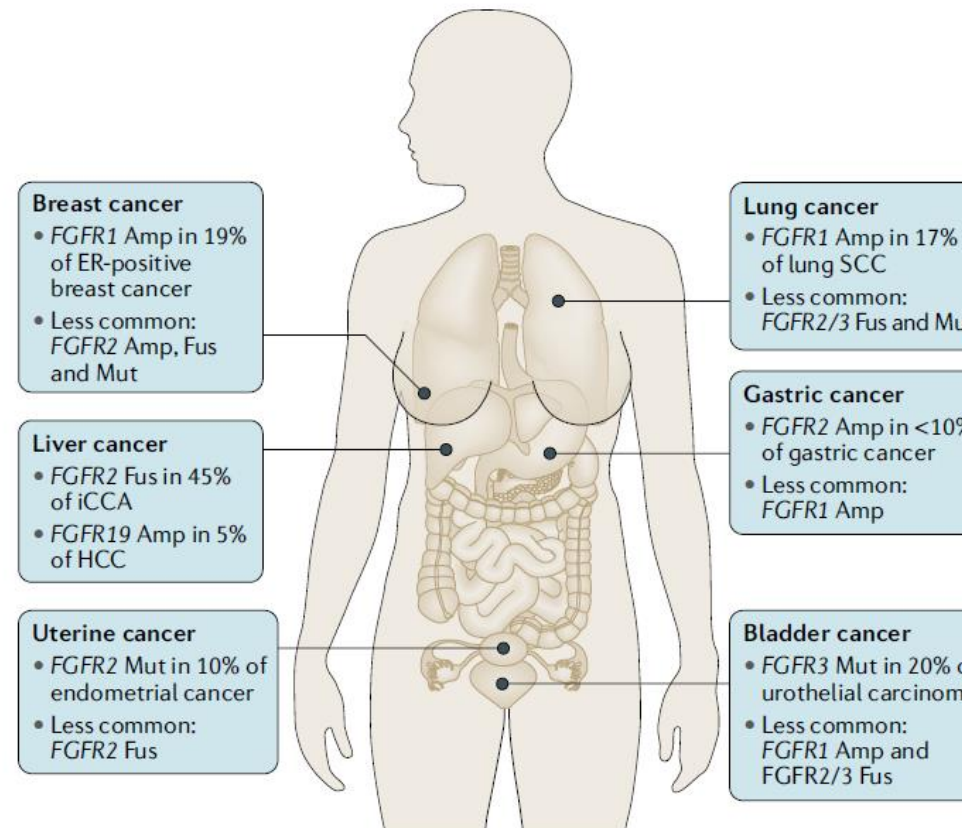
**Most frequently altered genes<sup>1-4</sup>:**

*TP53, CDKN2A, KRAS, CDKN2B, ARID1A, IDH1, BAP1, FGFR2, PBRM1, PIK3CA*

**Most frequently altered genes<sup>1-4</sup>:**

*TP53, KRAS, CDKN2A/B, SMAD4, ARID1A, ERBB2, PBRM1, CCNE1, APC, ATM*

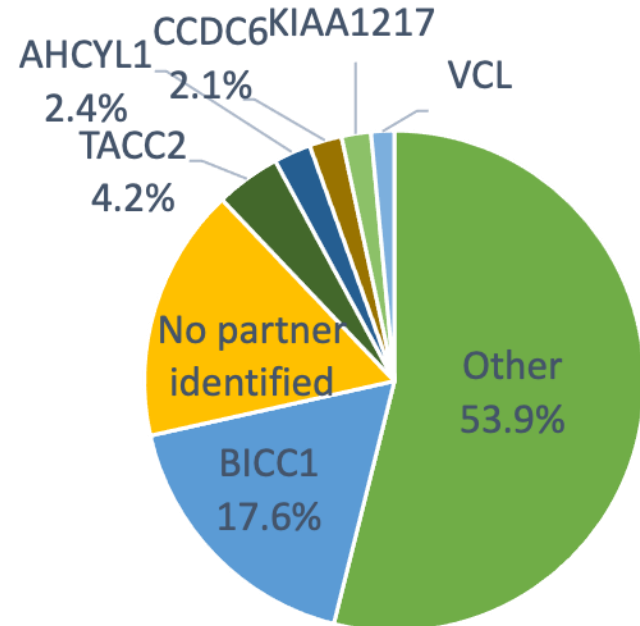
# Mechanisms of oncogenic FGFR signaling



# *FGFR2* rearrangement partners are diverse in intrahepatic CCA

- ***FGFR2* rearrangements** occur with a **variety** of distinct partners
- Recurrent partners account for > 33% of all rearrangements
- ***FGFR2* GA** are typically mutually exclusive with other kinase drivers but **co-occur** with **mutations** in the ***mTOR / PIK3CA / AKT* pathways**, highlighting the need for **further clinical trials** of ***FGFR* inhibitors**
- ***FGFR2* fusions frequently co-occurred in intrahepatic cholangiocarcinoma** with ***BAP1* GAs** and were **mutually exclusive** from other targetable kinases, high gLOH, IDH1/2 SVs, KRAS GAs

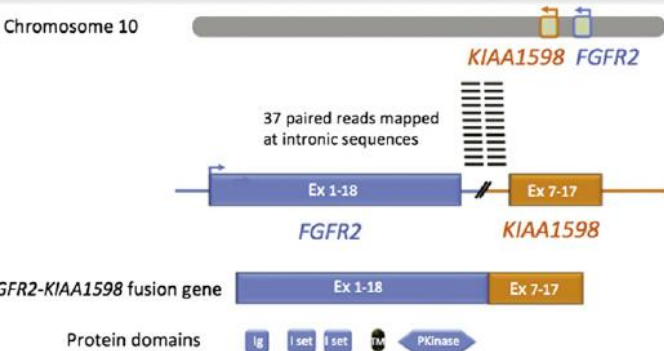
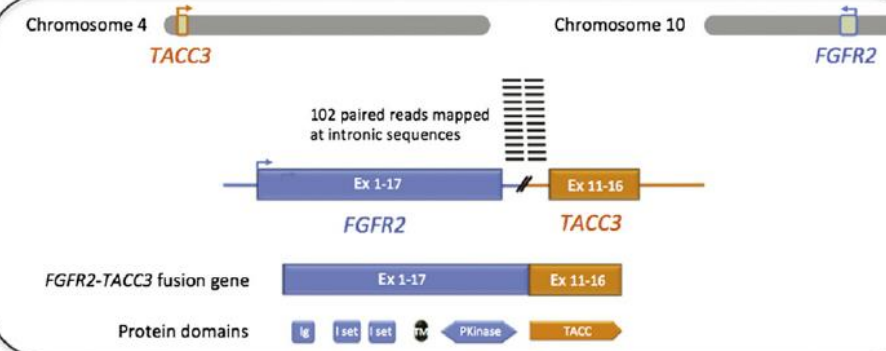
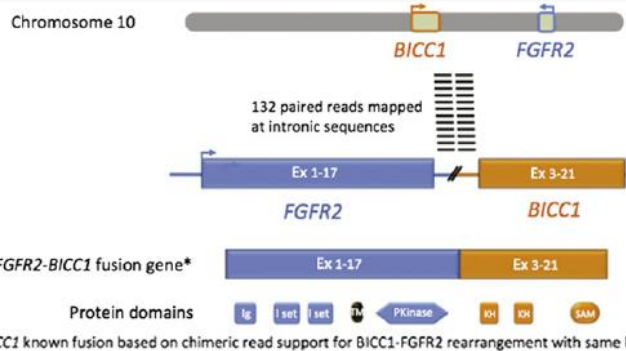
Distribution of *FGFR2* fusion partners



CCA: cholangiocarcinoma; GA: genomic alteration; TMB: tumour mutational burden.

Madison, R., et al. (2019) *J Clin Oncol* 37, no. 15 suppl:3099.

AVANZADA  
**NOMBRE CURSO**



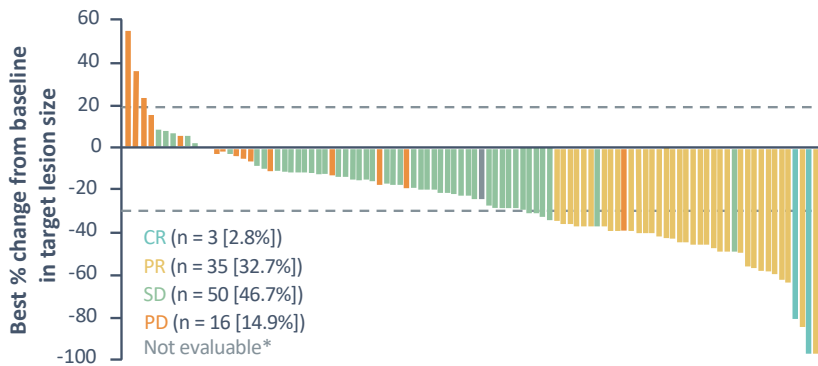
CCA: cholangiocarcinoma; GA: genomic alteration; TMB: tumour mutational burden.

Madison, R., et al. (2019) *J Clin Oncol* 37, no. 15 suppl:3099.

Inhibitor (manufacturer)	Target (IC <sub>50</sub> *	Clinical trial identifier	Cancer type
<b>Non-selective inhibitors</b>			
Dovitinib (Novartis)	FLT3 (1 nM), c-KIT (2 nM); FGFR1 (8 nM), VEGFR3 (also known as FLT4) (8 nM), FGFR3 (9 nM) and VEGFR1 (also known as FLT1) (10 nM)	NCT01719549	FGFR2-amplified gastric cancer
	NCT01732107	FGFR3-mutated or -overexpressed urothelial cancer	
	NCT01223027	Metastatic renal cell cancer	
<b>Selective inhibitors</b>			
NVP-BGJ398 (Novartis)	AZD4547 (AstraZeneca)	FGFR1 (<1 nM), FGFR2 (1.8 nM), FGFR2 (2.5 nM) and VEGFR2 (24 nM)	NCT02664935 FGFR genetically aberrant NSCLC
			NCT02117167 FGFR genetically aberrant metastatic NSCLC
			NCT02154490 FGFR genetically aberrant SCLC
	NVP-BGJ398 (Novartis)	FGFR1 (<1 nM), FGFR3 (1 nM), FGFR2 (1.4 nM), FGFR3 (K650E) (4.9 nM) and FGFR4 (60 nM)	NCT01004224 FGFR1–3 genetically aberrant solid tumours, FGFR1-amplified squamous cell lung cancer and FGFR3-mutated or fused bladder cancer
			NCT01697605 FGFR genetically aberrant advanced solid tumours in an Asian population
			NCT01928459 FGFR genetically aberrant advanced solid tumours with PIK3CA mutations
	NVP-BGJ398 (Novartis)		NCT01975701 Glioma subtypes with FGFR1-TACC1 fusion, FGFR3-TACC3 fusion and/or activating mutation in FGFR1–3
			NCT02160041 FGFR genetically aberrant solid and/or haematological cancers
			NCT02150967 FGFR genetically aberrant advanced or metastatic cholangiocarcinoma
Lucitanib (Clovis Oncology)	VEGFR1 (7 nM), VEGFR3 (10 nM), FGFR1 (18 nM), VEGFR2 (25 nM) and FGFR2 (83 nM)	NCT01283945	FGFR1-amplified advanced solid tumours
	NCT02202746	FGFR genetically aberrant metastatic breast cancer	
Ponatinib (ARIAD Pharmaceuticals)	ABL (<1 nM), PDGFR $\alpha$ (1.1 nM), VEGFR2 (1.5 nM), FGFR1 (2.2 nM) and c-SRC (5.4 nM)	NCT02265341	FGFR2 fusions in biliary cancer
	NCT02272998	FGFR genetically aberrant advanced-stage cancers	
LY2874455 (Lilly)	JNJ-42756493 (Janssen)	FGFR1 (<1 nM), FGFR2 (<1 nM), FGFR4 (<1 nM), FGFR3 (1.05 nM) and FGFR3 (G697C) (1.9 nM)	NCT02421185 FGF19-amplified advanced hepatocellular carcinoma
			NCT02365597 FGFR genetically aberrant advanced or metastatic urothelial cancer
			NCT02699606 Asian participants with NSCLC, gastric cancer, urothelial cancer, oesophageal cancer and cholangiocarcinoma
			NCT01212107 Advanced-stage cancer
<b>Selective inhibitors (cont.)</b>			
TAS120 (Taitho Oncology)		FGFR1 (3.9 nM), FGFR2 (1.3 nM), FGFR3 (1.6 nM) and FGFR4 (8.3 nM)	NCT02052778 FGFR genetically aberrant advanced solid tumours or multiple myeloma
Debio-1347 (Debiopharm International)		FGFR2 (7.6 nM), FGFR1 (9.3 nM) and FGFR3 (22 nM)	NCT01948297 FGFR1–3 genetically aberrant solid tumours
<b>Ligand trap and antibodies</b>			
FP-1039 (GlaxoSmithKline)		FGF2 (0.023 $\mu$ g m <sup>-1</sup> )	NCT01868022 FGFR genetically aberrant solid malignancies in combination with paclitaxel and carboplatin or docetaxel
FPA114 (Five Prime Therapeutics)		FGFR2-IIb	NCT02318329 Advanced solid tumours
MFGR1877S (Genentech)		FGFR3	NCT01363024 Advanced solid tumours

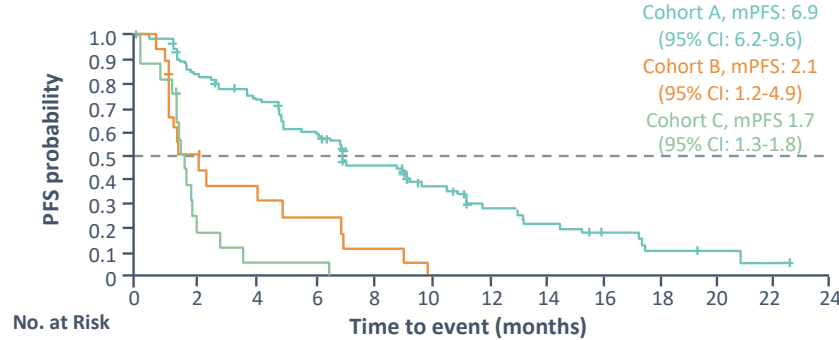
# FIGHT-202: Pemigatinib has potential therapeutic benefit in *FGFR2* rearranged / fusion advanced CCA patients

*Change from baseline in target lesion size (cohort A)*



- ORR in cohort A: 35.5% (95% CI, 26.5% – 45.4%), with 3 complete responses<sup>1</sup>
- ORR in cohorts B and C was zero<sup>1</sup>
- DOOR in cohort A: 9.1 months<sup>2</sup>

*Median progression-free survival*



- OS<sup>†</sup> in cohort A: 21.1 months (95% CI: 14.8 - NE)<sup>1</sup>
- OS in cohorts B and C was 6.7 (95% CI: 2.1 - 10.6) and 4.0 (95% CI: 2.3 - 6.5) respectively<sup>1</sup>

**Pemigatinib has been approved as the first treatment for adults with previously treated advanced CCA harbouring *FGFR2* gene fusions<sup>2</sup>**

Coloured bars: confirmed responses per RECIST. \*Patient had decrease in target lesion size but was not evaluable for response per RECIST;

<sup>†</sup> OS data were not mature at cut-off.

CGP: comprehensive genomic profiling; CI: confidence interval; CR: complete response; DOR: duration of response; NE: not estimable; OR: overall response rate; OS: overall survival; PD: progressive disease; PFS: progression-free survival; RECIST 1.1: response evaluation criteria in solid tumours v1.1; SD: stable disease.

1. Abou-alfa, G.K., et al. (2020) Lancet Oncol doi: 10.1016/S1470-2045(20)30109-1. [Epub ahead of print]; 2. FDA Press Release (2020) Available at: <https://www.fda.gov/news-events/press-announcements/fda-approves-first-targeted-treatment-patients-cholangiocarcinoma-cancer-bile-ducts> (Accessed July 2020).

**First-in-Human Study of Highly Selective FGFR2 Inhibitor, RLY-4008, in Patients With ICC and Other Advanced Solid Tumors**

**⚠** The safety and scientific validity of this study is the responsibility of the study sponsor and investigators. Listing a study does not mean it has been evaluated by the U.S. Federal Government. [Know the risks and potential benefits](#) of clinical studies and talk to your health care provider before participating. Read our [disclaimer](#) for details.

ClinicalTrials.gov Identifier: NCT04526106

[Recruitment Status](#)  RecruitingFirst Posted  August 25, 2020Last Update Posted  May 5, 2022See [Contacts and Locations](#)**Sponsor:**

Relay Therapeutics, Inc.

**Information provided by (Responsible Party):**

Relay Therapeutics, Inc.

**Criteria****Key Inclusion Criteria**

- Histologically or cytologically confirmed unresectable or metastatic solid tumor
- Documented FGFR2 gene fusion, mutation, or amplification per local testing of blood and/or tumor
- Additional FGFR2 alterations/tumor types may be considered for the Part 1 dose escalation
- Part 2 dose expansion patients must additionally meet the group requirements detailed below.
  - Group 1: patient must have a confirmed diagnosis of unresectable or metastatic ICC with FGFR2 fusion (per local assessment of blood and/or tumor) and has received prior treatment with a pan-FGFR inhibitor (eg, pemigatinib, erdafitinib, infigratinib, futibatinib).
  - Group 2: patient must have a confirmed diagnosis of unresectable or metastatic ICC with FGFR2 fusion (per local assessment of blood and/or tumor) and has NOT received prior treatment with a pan-FGFR inhibitor (eg, pemigatinib, erdafitinib, infigratinib, futibatinib).
  - Group 3: patient has an unresectable or metastatic solid tumor with FGFR2 fusion (per local assessment of blood and/or tumor) other than ICC.
  - Group 4: patient has an unresectable or metastatic solid tumor with FGFR2 amplification (per local assessment of blood and/or tumor).
  - Group 5: patient has an unresectable or metastatic solid tumor with an oncogenic FGFR2 mutation (per local assessment of blood and/or tumor).

**Spain**Hospital Universitari Vall d'Hebron  
Barcelona, Spain, 08035

Recruiting

Hospital Universitario Fundación Jiménez Diaz- START MADRID  
Madrid, Spain, 28040

Recruiting

Hospital Universitario HM Sanchinarro-START MADRID-CIOCC  
Madrid, Spain, 28050

Recruiting

Clinica de Universidad de Navarra  
Pamplona, Spain, 31008

Recruiting

Hospital Clínico Universitario de Valencia  
Valencia, Spain, 46010

Recruiting

# Caso 6.

## Dianas terapéuticas en colangiocarcinoma

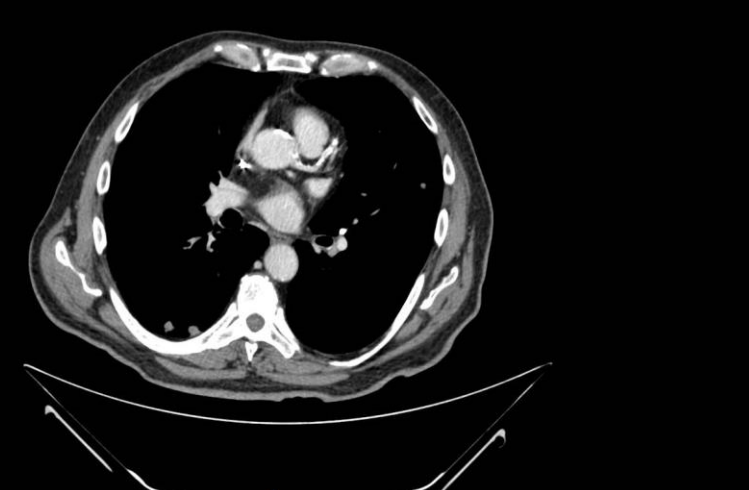
- Inicia tratamiento con RLY4008 (A First-in-Human Study of Highly Selective FGFR2 Inhibitor, RLY-4008, in Patients With Intrahepatic Cholangiocarcinoma (ICC) and Other Advanced Solid Tumors, Cohorte 2) (Mar/2021).
- Evaluación Jul/2021: Respuesta parcial, con reducción de masa en lóbulo hepático izquierdo (1.8cm), de aspecto regresivo y sin evidencia de lesiones adyacentes.



# Caso 6.

## Dianas terapéuticas en colangiocarcinoma

- Evaluación Mar/2022: Progresión de la enfermedad, con hígado con aumento de tamaño de la masa en lóbulo hepático izquierdo, de unos 14 cm, adenopatías en hilio hepático, de hasta 22 mm, y retroperitoneales, la más grande de unos 18 mm de eje corto. Nódulos de nueva aparición, los más evidentes de aproximadamente 6 mm en segmento anterior del lóbulo superior derecho, 8 mm y 9 mm en segmento apical del lóbulo inferior derecho y 7 mm en língula.



# Caso 7.

## Tumor glial del adulto

# Caso 7.

## Tumor glial del adulto

Mujer de 67 años que acude a urgencias por cuadro subagudo de varios días de evolución de debilidad en extremidades izquierdas, alteración en el habla, decaimiento general y dificultades cognitivas con somnolencia. Ingresa en urgencias el 13/1/22 por presentar caída en el domicilio, sin pérdida de conciencia ni TCE. Ha conseguido subir a la cama para coger el móvil y llamar a su hijo.

La paciente pasó el covid recientemente (19/12-29/12), a raíz de lo cual percibe empeoramiento de los síntomas antes referidos. No comenta otra sintomatología acompañante, no fiebre, no cefalea, no náuseas, no disnea, no dolor torácico, no sintomatología digestiva.

E.N.: Consciente y orientada en las tres esferas. Algo inatenta, con cierta lentitud en las respuestas y tendencia al sueño. Reacciona a la llamada y abre ojos, siendo capaz de comprender y obedecer ordenes verbales, con cierta lentitud en las respuestas motoras. Lenguaje coherente sin claros elementos difásicos. Habla levemente disártrica pero totalmente inteligible.

PP.CC: perimétrica por confrontación sin claro déficit campimétrico. V normal. VII: leve asimetría en musculatura hemifacial izquierda. Pares bajos: conservados. Motor: claudicación en maniobras antigravitatorias con extremidades izquierdas. Balance motor compatible con hemiparesia B-C izquierda 4/5. RCP indiferente bilateral. Sensitivo: normal. Cerebelo: dismetría d-n y t-r acorde al grado de paresia. Marcha: sin alteraciones.

# Caso 7.

## Tumor glial del adulto

TC craneal sin contraste: Se observa lesión / masa infiltrativa aparentemente intraaxial, levemente más hiperdensa que el parénquima cerebral adyacente, centrado en porción medial del lóbulo temporal derecho que se extiende hacia hemimesencéfalo y hemiprotuberancia ipsilateral, y rodea prácticamente todo el ventrículo lateral derecho. Debido a estas características infiltrativas, la lesión resulta difícil de medir. Asocia edema vasogénico en el parénquima cerebral circundante a nivel del lóbulo temporal derecho y condiciona efecto de masa sobre los surcos de la convexidad con colapso parcial del sistema ventricular y desplazamiento de la línea media hacia la izquierda de aproximadamente 5 mm. Hallazgos que sugieren tumor primario de SNC vs metástasis como primera posibilidad.



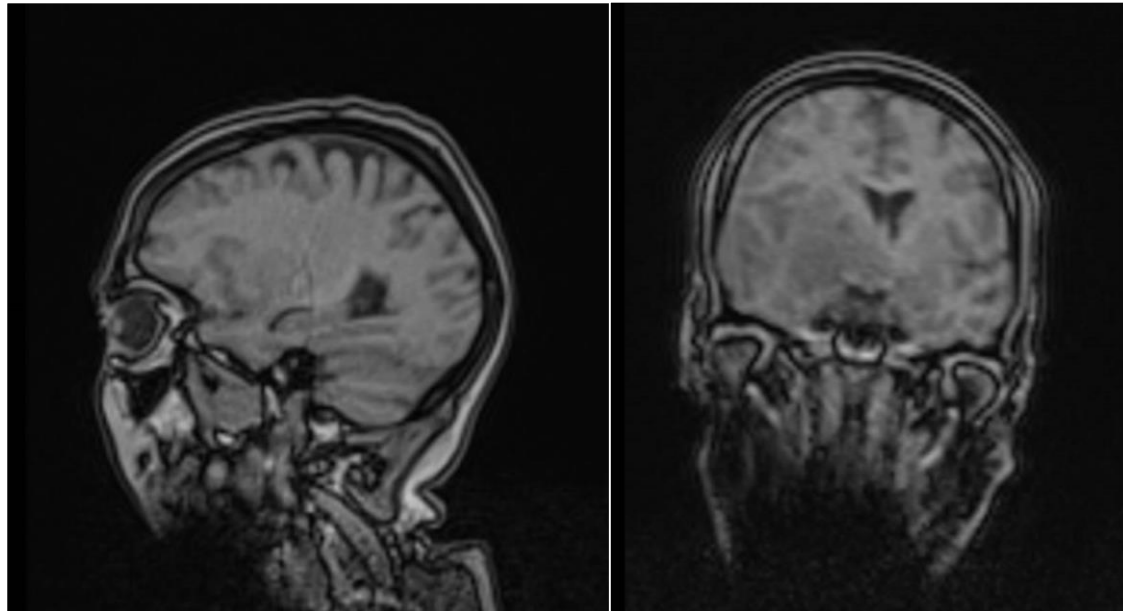
# Caso 7.

## Tumor glial del adulto

RM CRANEAL: Lesión parenquimatosa en caudado, periatrial, ínsula, ganglios basales, hipotálamo, amígdala, hipocampo, giro parahipocampal, polo temporal anterior, hemimesencéfalo y hemiprotuberancia derechas, cintillas ópticas y cuerpos mamilares, con hiperseñal en TR largo, sin clara restricción en difusión ni captación postcontraste.

Ejerce efecto de masa con impronta sobre el ventrículo lateral derecho y III ventrículo y desviación de línea media hacia la izquierda de 7 mm e incipiente herniación uncal y trastentorial descendente.

**OD: Tumor glial difuso**



# Caso 7.

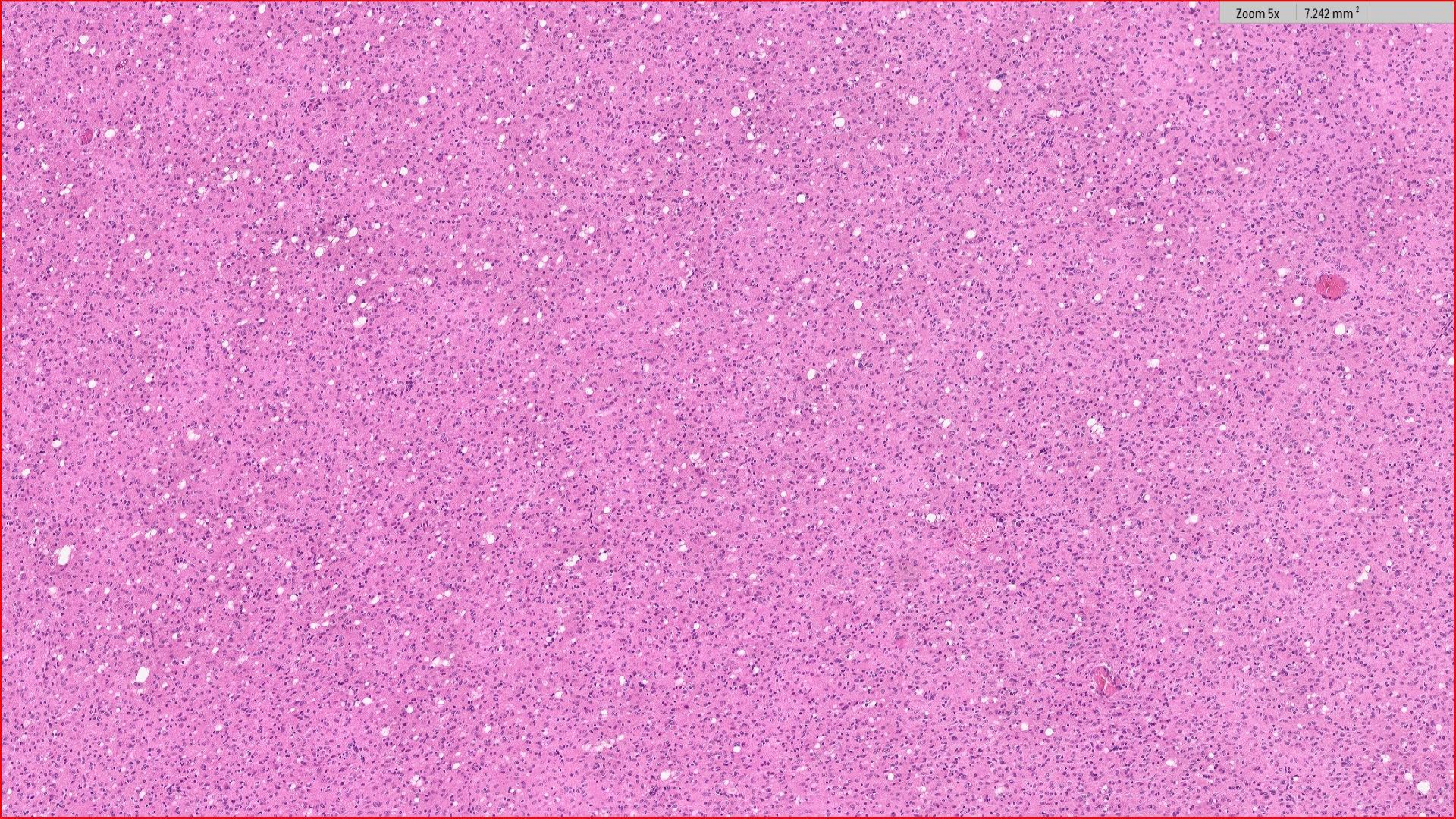
## Tumor glial del adulto

15/2/22: Craneotomía con lobectomía temporal derecha.

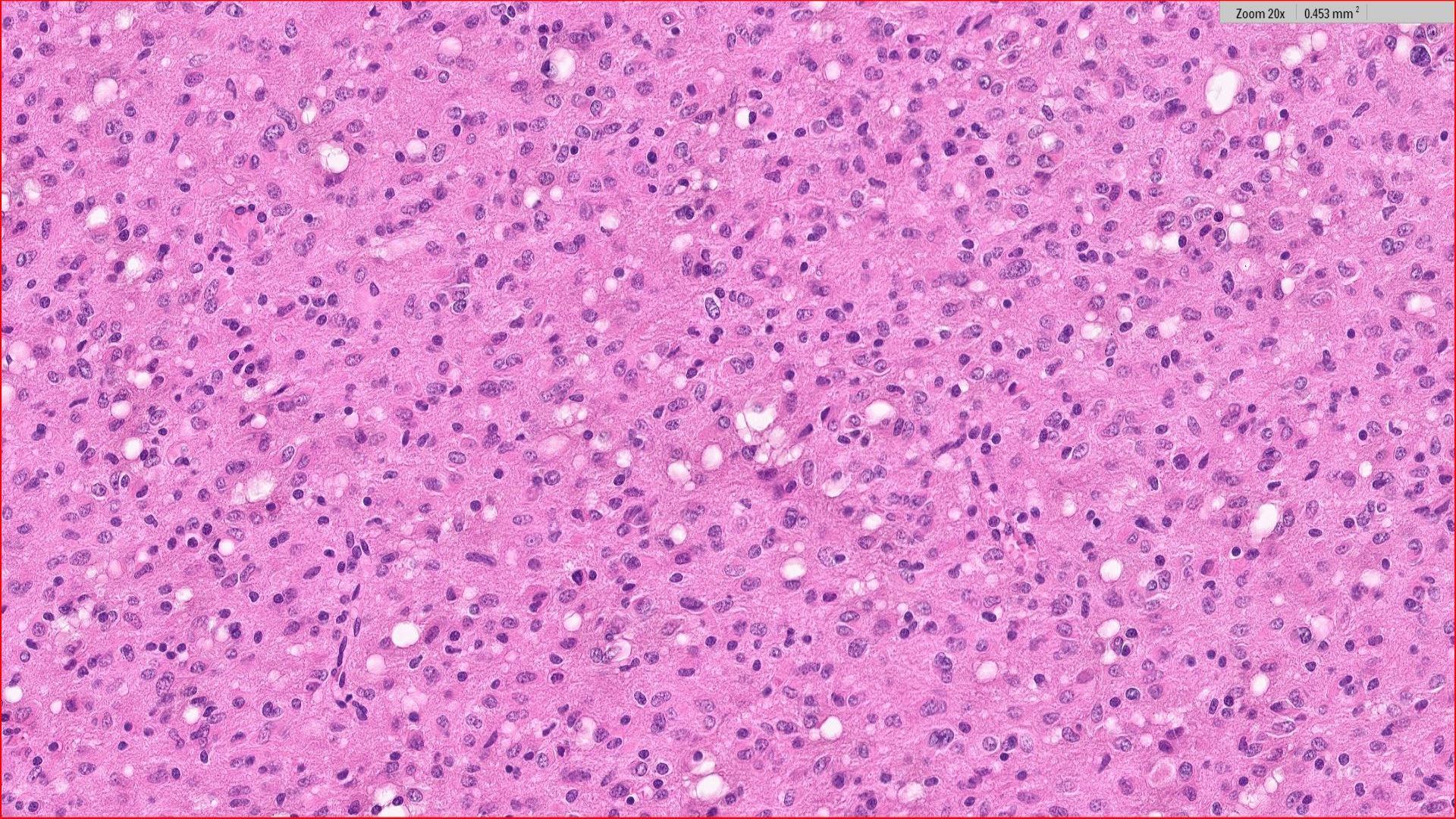
Se remiten fragmentos de parénquima cerebral que miden 7 x 4 x 1cm. Se realiza estudio morfológico.

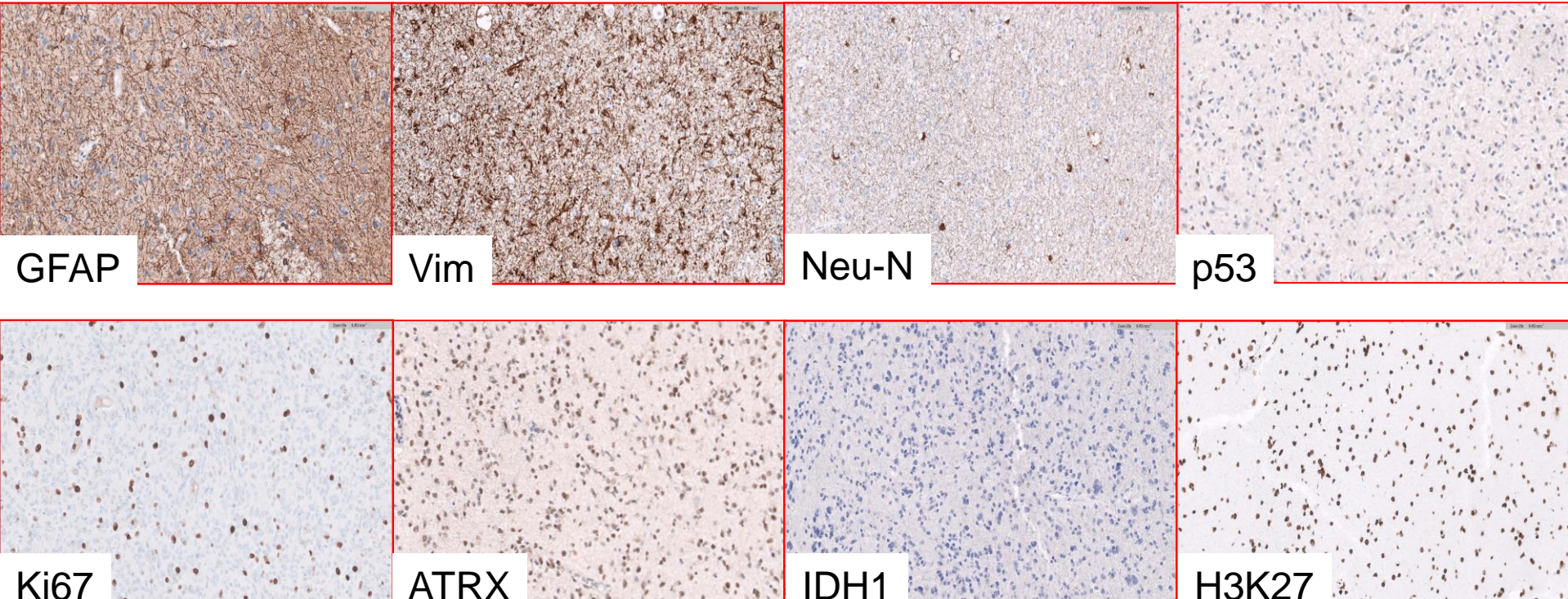


Zoom 5x 7.242 mm<sup>2</sup>



Zoom 20x 0.453 mm<sup>2</sup>





# Caso 7.

## Tumor glial del adulto

### **Cerebro, resección:**

- Clasificación histopatológica: Tumor glial difuso del adulto, astrocitoma
- Grado SNC OMS: 3
- Pendiente de caracterización molecular

## The 2021 WHO Classification of Tumors of the Central Nervous System: a summary

**Table 2** Key Diagnostic Genes, Molecules, Pathways, and/or Combinations in Major Primary CNS Tumors

Tumor Type	Genes/Molecular Profiles Characteristically Altered <sup>a</sup>	
Astrocytoma, IDH-mutant	<i>IDH1</i> , <i>IDH2</i> , <i>ATRX</i> , <i>TP53</i> , <i>CDKN2A/B</i>	<i>PRKCA</i>
Oligodendrogloma, IDH-mutant, and 1p/19q-codeleted	<i>IDH1</i> , <i>IDH2</i> , 1p/19q, <i>TERT</i> promoter, <i>CIC</i> , <i>FUBP1</i> , <i>NOTCH1</i>	<i>FGFR1</i> , <i>PIK3CA</i> , <i>NF1</i>
Glioblastoma, IDH-wildtype	IDH-wildtype, <i>TERT</i> promoter, chromosomes 7/10, <i>EGFR</i>	<i>PDFGRA</i>
Diffuse astrocytoma, <i>MYB</i> - or <i>MYBL1</i> -altered	<i>MYB</i> , <i>MYBL1</i>	<i>KIAA1549-BRAF</i> fusion, 1p (methylome)
Angiocentric glioma	<i>MYB</i>	<i>MAPK</i> pathway
Polymorphous low-grade neuroepithelial tumor of the young	<i>BRAF</i> , FGFR family	<i>PTEN</i>
Diffuse low-grade glioma, MAPK pathway-altered	<i>FGFR1</i> , <i>BRAF</i>	<i>FGFR</i> ( <i>FGFR1-TACC1</i> fusion), IDH-wildtype
Diffuse midline glioma, H3 K27-altered	H3 K27, <i>TP53</i> , <i>ACVR1</i> , <i>PDGFRA</i> , <i>EGFR</i> , <i>EZH2</i>	<i>ZFTA</i> , <i>RELA</i> , <i>YAP1</i> , <i>MAML2</i>
Diffuse hemispheric glioma, H3 G34-mutant	H3 G34, <i>TP53</i> , <i>ATRX</i>	H3 K27me3, <i>EZH2</i> (methylome)
Diffuse pediatric-type high-grade glioma, H3-wildtype, and IDH-wildtype	IDH-wildtype, H3-wildtype, <i>PDGFRA</i> , <i>MYCN</i> , <i>EGFR</i> (methylome)	<i>NF2</i> , <i>MYCN</i>
Infant-type hemispheric glioma	<i>NTRK</i> family, <i>ALK</i> , <i>ROS</i> , <i>MET</i>	<i>CTNNB1</i> , <i>APC</i>
Pilocytic astrocytoma	<i>KIAA1549-BRAF</i> , <i>BRAF</i> , <i>NF1</i>	<i>TP53</i> , <i>PTCH1</i> , <i>SUFU</i> , <i>SMO</i> , <i>MYCN</i> , <i>GLI2</i> (methylome)
High-grade astrocytoma with piloid features	<i>BRAF</i> , <i>NF1</i> , <i>ATRX</i> , <i>CDKN2A/B</i> (methylome)	<i>MYC</i> , <i>MYCN</i> , <i>PRDM6</i> , <i>KDM6A</i> (methylome)
Pleomorphic xanthoastrocytoma	<i>BRAF</i> , <i>CDKN2A/B</i>	<i>Atypical teratoid/rhabdoid tumor</i>
Subependymal giant cell astrocytoma	<i>TSC1</i> , <i>TSC2</i>	<i>SMARCB1</i> , <i>SMARCA4</i>
Chordoid glioma	<i>PRKCA</i>	<i>Embryonal tumor with multilayered rosettes</i>
Astroblastoma, <i>MN1</i> -altered	<i>MN1</i>	<i>C19MC</i> , <i>DICER1</i>
Ganglion cell tumors	<i>BRAF</i>	<i>CNS neuroblastoma</i> , <i>FOXR2</i> -activated
Dysembryoplastic neuroepithelial tumor	<i>FGFR1</i>	<i>CNS tumor with BCOR internal tandem duplication</i>
Diffuse glioneuronal tumor with oligodendrogloma-like features and nuclear clusters	Chromosome 14, (methylome)	<i>Desmoplastic myxoid tumor of the pineal region</i> , <i>SMARCB1</i> -mutant
Papillary glioneuronal tumor	<i>PRKCA</i>	<i>Meningiomas</i>
		<i>NF2</i> , <i>AKT1</i> , <i>TRAFF</i> , <i>SMO</i> , <i>PIK3CA</i> ; <i>KLF4</i> , <i>SMARCE1</i> , <i>BAP1</i> in subtypes; H3K27me3; <i>TERT</i> promoter, <i>CDKN2A/B</i> in CNS WHO grade 3
		<i>Solitary fibrous tumor</i>
		<i>NRAS</i> (diffuse); <i>GNAQ</i> , <i>GNA11</i> , <i>PLCB4</i> , <i>CYSLTR2</i> (circumscribed)
		<i>Adamantinomatous craniopharyngioma</i>
		<i>CTNNB1</i>
		<i>Papillary craniopharyngioma</i>
		<i>BRAF</i>

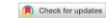
# Qué marcadores moleculares son imprescindibles en los gliomas de adultos para su diagnóstico?

On the basis of the WHO classification and cIMPACT-NOW recommendations, the following molecular biomarkers are central to categorizing diffuse gliomas in adults:

- IDH1/2 mutations
- 1p/19q co-deletion
- Histone H3 K27M mutation
- Histone H3.3 G34R/V mutation
- *TERT* promoter mutation
- *EGFR* gene amplification
- chromosome 7 gain combined with chromosome 10 loss (the +7/-10 signature)
- homozygous deletions on 9p21 involving the *CDKN2A* and *CDKN2B* gene loci (*CDKN2A/B* homozygous deletion)

## EVIDENCE-BASED GUIDELINES

OPEN



EANO guidelines on the diagnosis and treatment of diffuse gliomas of adulthood

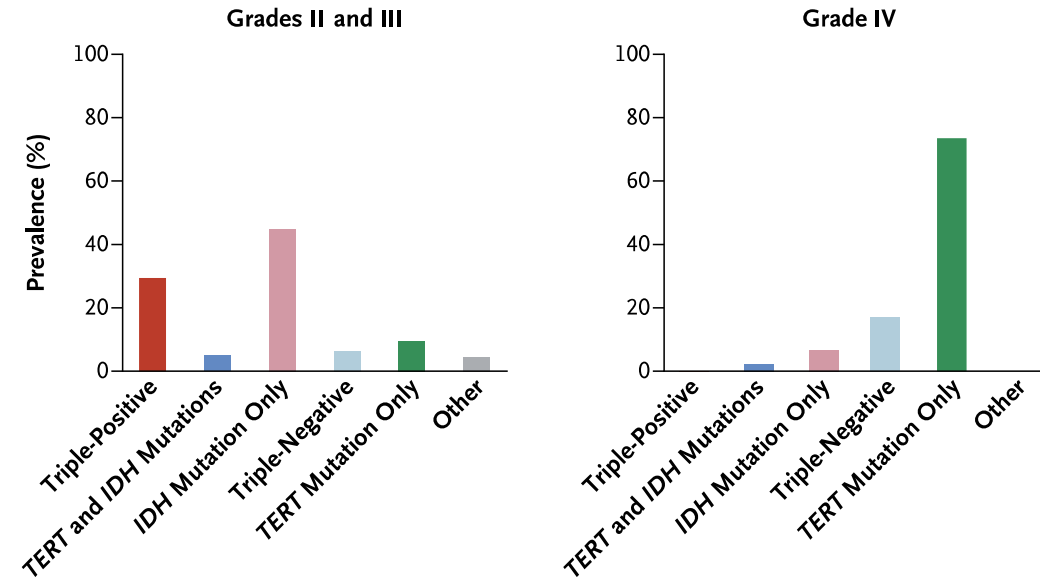
Michael Weller<sup>1</sup>✉, Martin van den Bent<sup>2</sup>, Matthias Preusser<sup>3</sup>, Emilie Le Rhun<sup>4,5,6,7</sup>, Jörg C. Tonn<sup>8</sup>, Giuseppe Minniti<sup>9</sup>, Martin Bendszus<sup>10</sup>, Carmen Balana<sup>11</sup>, Olivier Chinot<sup>12</sup>, Linda Dirven<sup>13,14</sup>, Pim French<sup>15</sup>, Monika E. Hegi<sup>16</sup>, Asgeir S. Jakola<sup>17,18</sup>, Michael Platten<sup>19,20</sup>, Patrick Roth<sup>1</sup>, Roberta Rudà<sup>21</sup>, Susan Short<sup>22</sup>, Marion Smits<sup>23</sup>, Martin J. B. Taphoorn<sup>13,14</sup>, Andreas von Deimling<sup>24,25</sup>, Manfred Westphal<sup>26</sup>, Riccardo Soffietti<sup>21</sup>, Guido Reifenberger<sup>27,28</sup> and Wolfgang Wick<sup>29,30</sup>

## ORIGINAL ARTICLE

# Glioma Groups Based on 1p/19q, IDH, and TERT Promoter Mutations in Tumors

Jeanette E. Eckel-Passow, Ph.D., Daniel H. Lachance, M.D.,  
 Annette M. Molinaro, Ph.D., Kyle M. Walsh, Ph.D., Paul A. Decker, M.S.,  
 Hugues Sicotte, Ph.D., Melike Pekmezci, M.D., Terri Rice, M.P.H.,  
 Matt L. Kosel, B.S., Ivan V. Smirnov, Ph.D., Gobinda Sarkar, Ph.D.,  
 Alissa A. Caron, B.S., Thomas M. Kollmeyer, M.S., Corinne E. Praska,  
 Anisha R. Chada, B.A., Chandrakanta Halder, B.S., Helen M. Hansen, B.A.,  
 Lucie S. McCoy, M.P.H., Paige M. Bracci, Ph.D., Roxanne Marshall, B.S.,  
 Shichun Zheng, Ph.D., Gerald F. Reis, M.D., Ph.D., Alexander R. Pico, Ph.D.,  
 Brian P. O'Neill, M.D., Jan C. Buckner, M.D., Caterina Giannini, M.D., Ph.D.,  
 Jason T. Huse, M.D., Ph.D., Arie Perry, M.D., Tarik Tihan, M.D., Ph.D.,  
 Mitchell S. Berger, M.D., Susan M. Chang, M.D., Michael D. Prados, M.D.,  
 Joseph Wiemels, Ph.D., John K. Wiencke, Ph.D., Margaret R. Wrensch, Ph.D.,  
 and Robert B. Jenkins, M.D., Ph.D.

N Engl J Med 2015;372:2499-508.

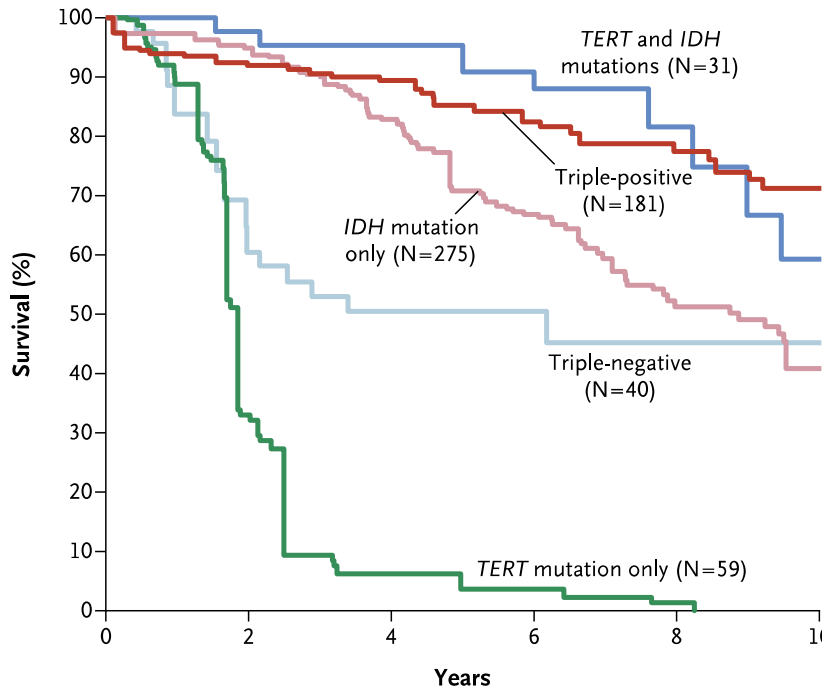


- Gliomas were classified into five principal groups on the basis of three tumor markers.
- Among 615 grade II or III gliomas, 29% had all three alterations (i.e., were triple-positive), 5% had *TERT* and *IDH* mutations, 45% had only *IDH* mutations, 7% were triple-negative, and 10% had only *TERT* mutations; 5% had other combinations.
- Among 472 grade IV gliomas, less than 1% were triple-positive, 2% had *TERT* and *IDH* mutations, 7% had only *IDH* mutations, 17% were triple-negative, and 74% had only *TERT* mutations.

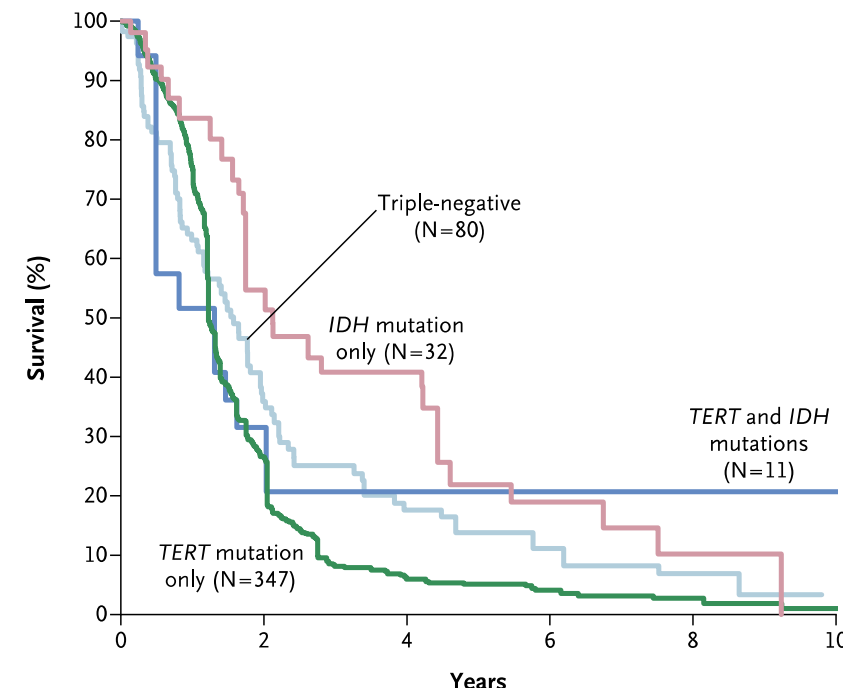
# Glioma Groups Based on 1p/19q, *IDH*, and *TERT* Promoter Mutations in Tumors

N Engl J Med 2015;372:2499-508.

## A Grades II and III



## B Grade IV



# The New England Journal of Medicine

© Copyright, 2000, by the Massachusetts Medical Society

VOLUME 343

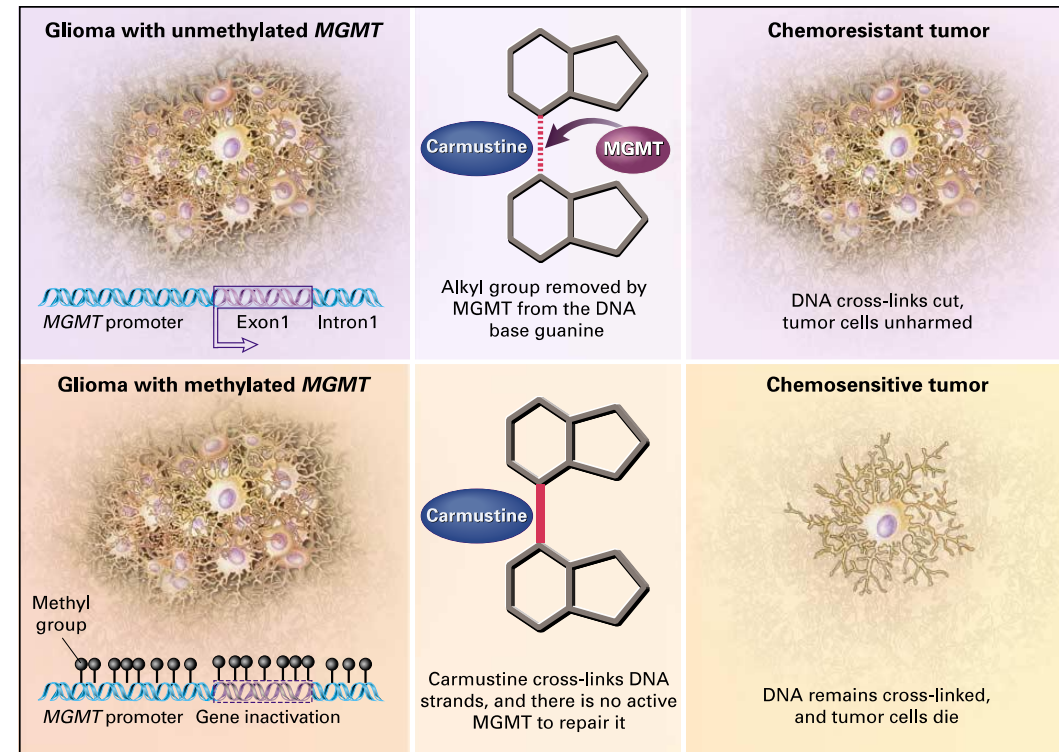
NOVEMBER 9, 2000

NUMBER 19



## INACTIVATION OF THE DNA-REPAIR GENE *MGMT* AND THE CLINICAL RESPONSE OF GLIOMAS TO ALKYLATING AGENTS

MANEL ESTELLER, M.D., PH.D., JESUS GARCIA-FONCILLAS, M.D., PH.D., ESTHER ANDION, B.Sc.,  
STEVEN N. GOODMAN, M.D., PH.D., OSCAR F. HIDALGO, M.D., VICENTE VANACLOCHA, M.D., STEPHEN B. BAYLIN, M.D.,  
AND JAMES G. HERMAN, M.D.



# **Cómo abordar el diagnóstico integrado de los tumores gliales?**

# cIMPACT-NOW: Consortium to Inform Molecular and Practical Approaches to CNS Tumor Taxonomy, 2018 recommendations

## IDH mutations in cancer

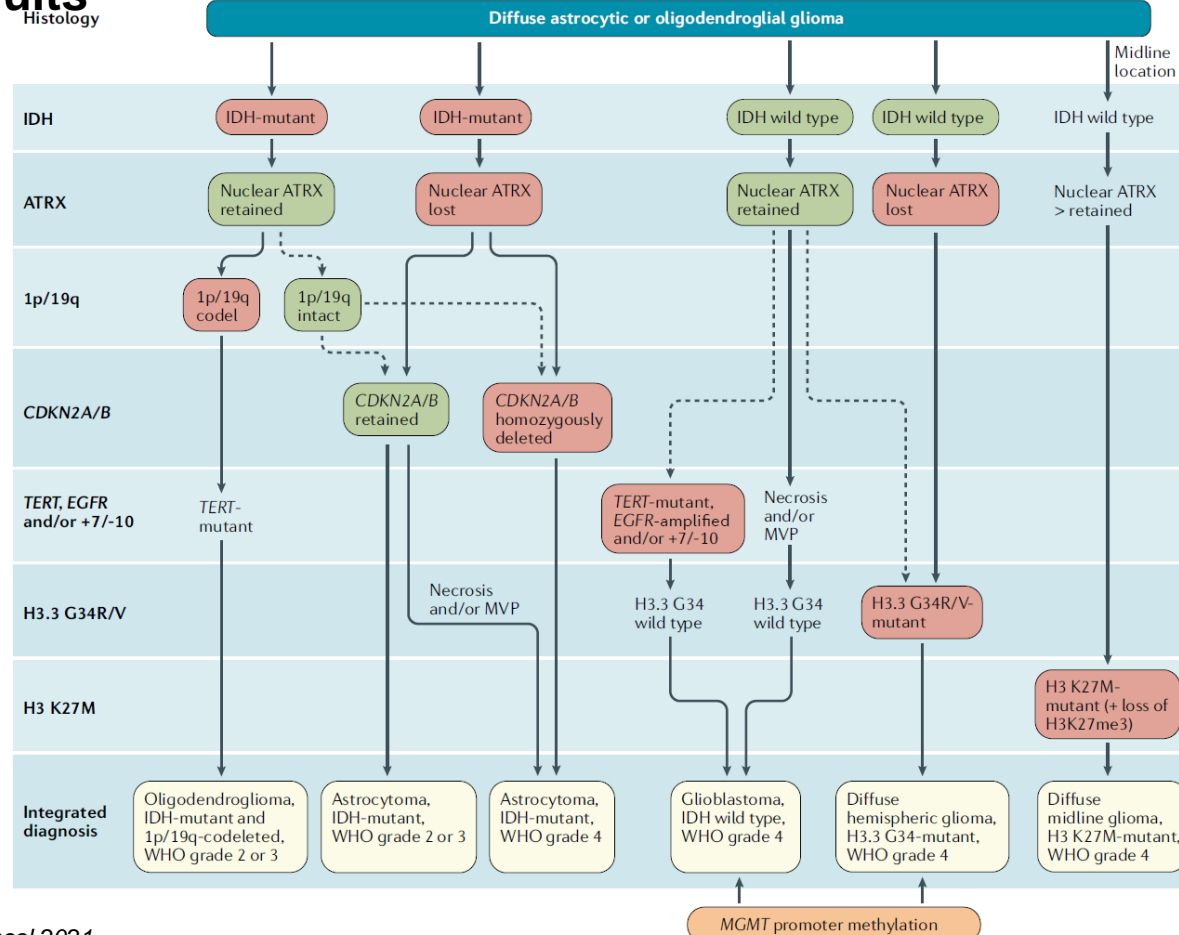
Diffuse gliomas corresponding histologically to WHO grade 2 or 3 that are immunohistochemically negative for IDH1 expression should be sequenced for less common *IDH1* and for *IDH2* mutations.

# CIMPACT-NOW: Consortium to Inform Molecular and Practical Approaches to CNS Tumor Taxonomy, 2018 recommendations

The minimal molecular criteria for identifying an IDH-wildtype diffuse astrocytic glioma that, despite appearing histologically as a WHO grade II or III neoplasm, would follow an aggressive clinical course more closely resembling that of an IDH-wildtype glioblastoma:

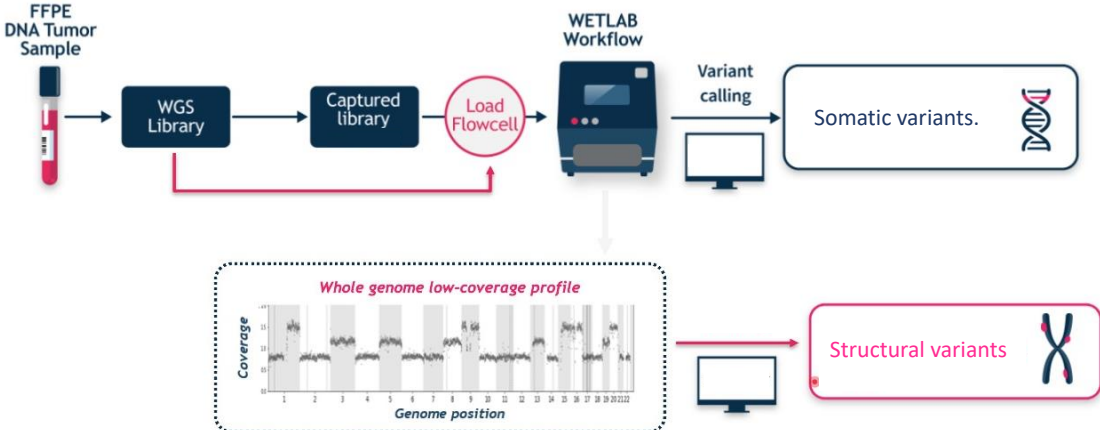
1. EGFR amplification OR
2. Combined whole chromosome 7 gain and whole chromosome 10 loss (+7/-10) OR
3. TERT promoter mutation

# Diagnostic algorithm for the integrated classification of the major diffuse gliomas in adults



# Action OncoKitDx

Secuenciadores compatibles	Illumina NextSeq500, Illumina NextSeq2000, Illumina HiSeq, Illumina NovaSeq
Número de reacciones	20
Número de muestras por run	Mid Output v2.5 kit (150 cycles): 12 muestras High Output v2.5 kit (150 cycles): 32 muestras
Secuenciación	Paired-end (2 x 75 ciclos)
Cantidad de ADN por muestra	50-200 ng
Calidad de ADN recomendada	DIN >3
Región genómica analizada	500 Kb
Genes diana	<b>SNVs e INDELS:</b> AKT1*, ALK, ARID1A, ATM, ATRX, BAP1, BRAF, BRCA1, BRCA2, CDH1, CHEK2, CTNNB1, EGFR, ERBB2, ESR1, FGFR1, FGFR4, GNA11, GNAQ, H3F3A, HIST1H3B, HIST1H3H, HRAS, IDH1, IDH2, KIT, KRAS, MAP2K1, MET, MLH1, MSH2, MSH6, MTOR, MYC, NRAS, NTRK1, NTRK2, NTRK3, PALB2, PBRM1, PDGFRA, PIK3CA, PMS2 + 5'UTR, PTEN, POLD1, POLE, RET, ROS1, SDHA, SDHB, SDHD, TERT + 5'UTR, TSC1*, TSC2*, TP53 y VHL.  * Secuenciación de <i>hotspot</i>
	<b>SVs:</b> ALK (intrón 19), ATP1B1 (intrones 3 y 4), BRAF (intrones 7, 8, 9 y 10), EGFR (intrones 7, 23, 24 y 25), ETV6 (intrones 4 y 5), FGFR2 (intrón 17 y región 3'UTR), FGFR3 (intrón 17 y región 3'UTR), NTRK1 (intrones 8, 9, 10, 11 y 12), NTRK2 (intrones 12 y 15), RET (intrones 9, 10 y 11) y ROS1 (intrones 31, 32, 33, 34 y 35).
	ADN procedente de sangre periférica, tejido fresco, congelado y parafinado



# Action OncoKitDx

## Perfil mutacional obtenido:

- IDH1 (NM\_005896.4):c.102C>T (p.Tyr34=) (VAF 68,6%)
- IDH2 nativo
- Promotor TERT nativo
- H3F3A nativo
- H3K27 nativo
- ATRX nativo
- PTEN (NM\_000314.4): c.302T>C; p.Ile101Thr (VAF 33,9%)

## Inestabilidad de microsatélites:

No se identifica inestabilidad de microsatélites, fracción de inestabilidad 0,14 (marcadores inestables 14 de 103 analizados) (MSS 0-0.17)

# IDH1 (NM\_005896.4):c.102C>T (p.Tyr34=) (VAF 68,6%)

**National Library of Medicine**  
National Center for Biotechnology Information

Log in

**ClinVar** Genomic variation as it relates to human health

Search by gene symbols, location, HGVS expressions, c-dot, p-dot, conditions, and more [Search ClinVar](#) [?](#)

About Access Submit Stats FTP Help Were new search queries using location, c-dot, and p-dot helpful? [Follow](#) [Print](#) [Download](#)

**NM\_005896.4(IDH1):c.102C>T (p.Tyr34=)**

**Cite this record**

**Interpretation:** Likely benign

**Review status:** criteria provided, single submitter

**Submissions:** 1 (Most recent: Mar 14, 2019)

**Last evaluated:** May 18, 2018

**Accession:** VCV000741270.1

**Variation ID:** 741270

**Description:** single nucleotide variant

**Variant details**

**Conditions**

**Gene(s)**

**HGVS:**

Nucleotide	Protein	Molecular consequence
NM_005896.4:c.102C>T	MANE SELECT	NP_005896.2:p.Tyr34= synonymous
NM_001282386.1:c.102C>T		NP_001269315.1:p.Tyr34= synonymous
NM_001282387.1:c.102C>T		NP_001269316.1:p.Tyr34= synonymous

**Protein change:** -

**Other names:** -

**Canonical SPID:** NC\_000002.12:208251449.G.A

**Functional consequence:** -

**Global minor allele frequency (GMAF):** -

**Allele frequency:** The Genome Aggregation Database (gnomAD) 0.00001  
The Genome Aggregation Database (gnomAD), exomes 0.00003  
Exome Aggregation Consortium (ExAC) 0.00004  
Trans-Omics for Precision Medicine (TOPMed) 0.00000

**Links:** dbSNP: rs753580953  
VarSome

#### Submitted interpretations and evidence

Interpretation (Last evaluated)	Review status (Assertion criteria)	Condition (Inheritance)	Submitter	More information
Likely benign (May 18, 2018)	criteria provided, single submitter (Invitae Variant Classification Shercos (09/22/2015)) Method clinical testing	not provided Affected status: unknown Allele origin: germline	Invitae Accession: SCV001062687.1 Submitted: (Mar 14, 2019)	

#### Functional evidence

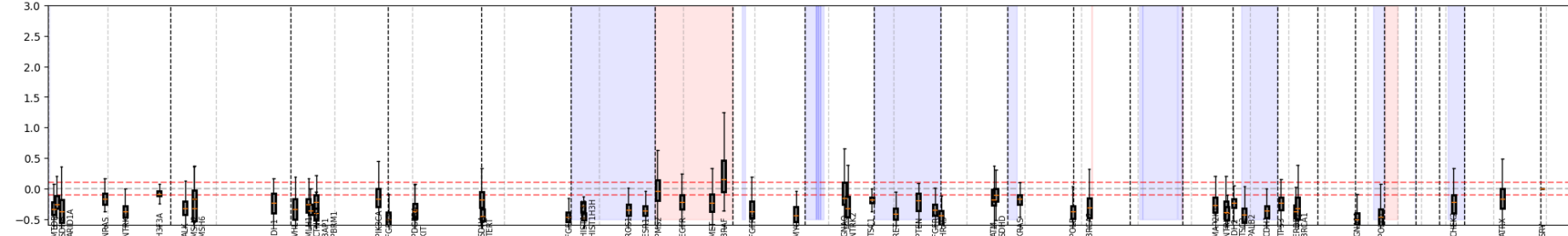
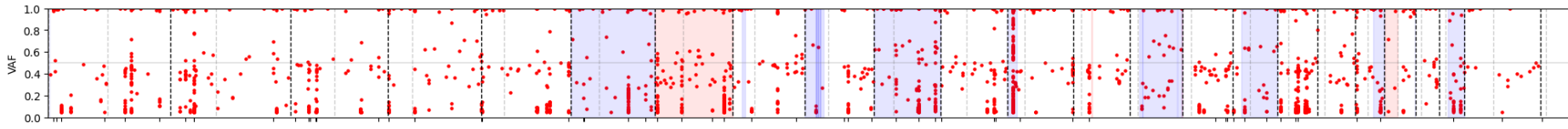
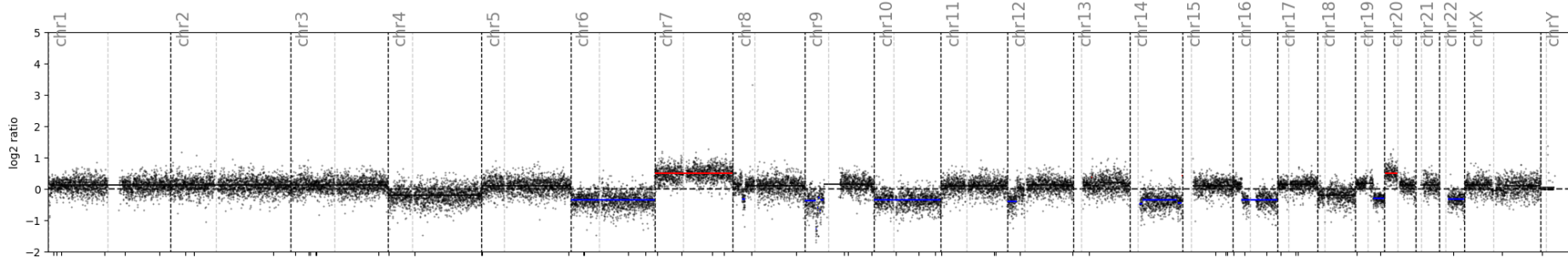
There is no functional evidence in ClinVar for this variation. If you have generated functional data for this variation, please consider submitting that data to ClinVar.

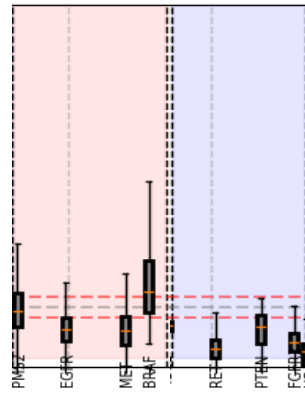
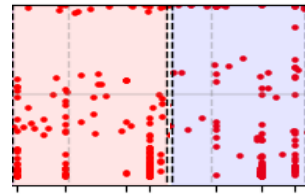
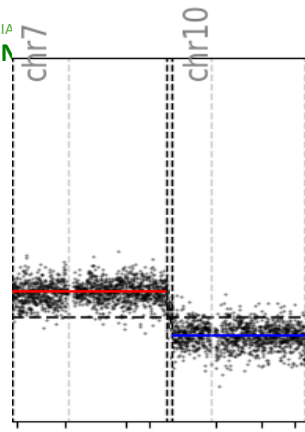
Tumor celularity :  %

Extensive chromosomal abnormalities

Filters

	Event	log.Ratio	Region	Size (Mb)	Total co <sub>p</sub>	Score	Tumoral co <sub>p</sub>	Genes In Pa	Genes related to oncology	Lineage	Category	HIC Somatic Db	Settings
<input type="checkbox"/>	<input type="checkbox"/> Gain	19.44	1:119850000-120450	0.6	7.70	High	10.14			EMPTY	+		
<input type="checkbox"/>	<input type="checkbox"/> Gain	2.7005	8:39250000-393500	0.1	13.00	High	17.72			EMPTY	+		
<input type="checkbox"/>	<input type="checkbox"/> Gain	0.509	1:118350000-1197500	1.4	2.85	High	3.21	TBX15		EMPTY	+		





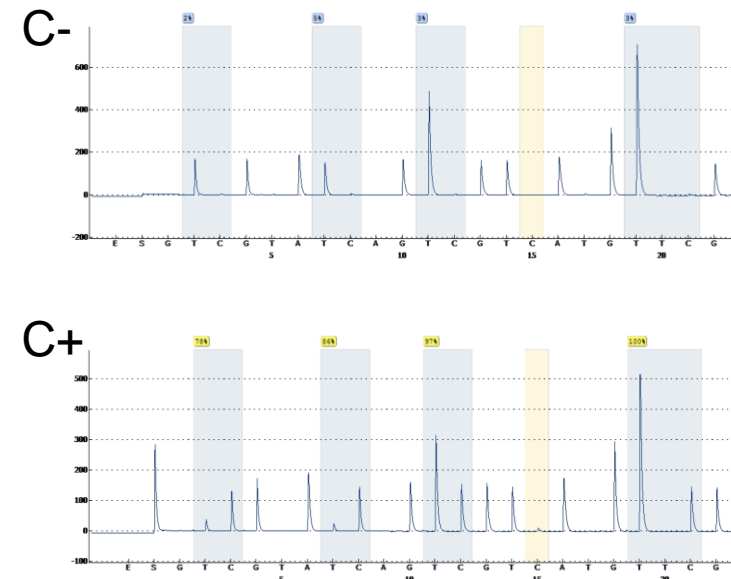
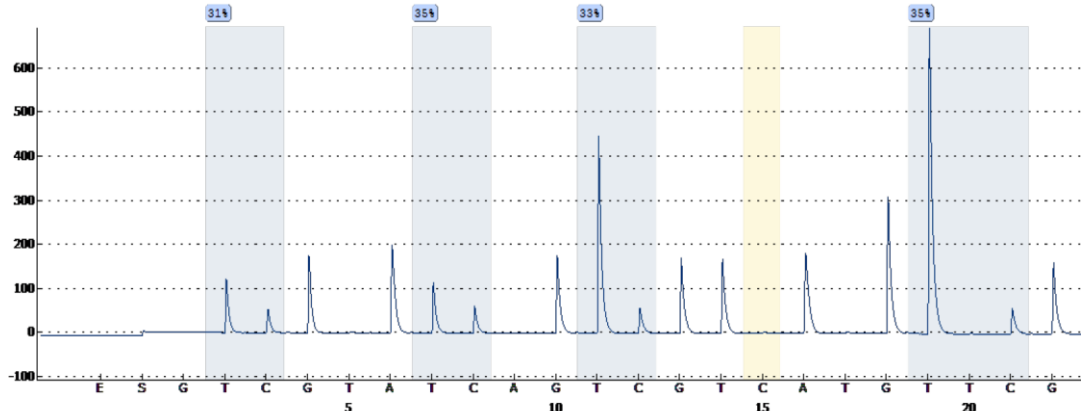
Positive for combined chromosome 7 gain  
and chromosome 10 loss (+7/-10  
*signature*)

# Hallazgos moleculares



MGMT Pyro Kit

## Estudio de metilación del promotor del gen MGMT



# Caso 7.

## Tumor glial del adulto

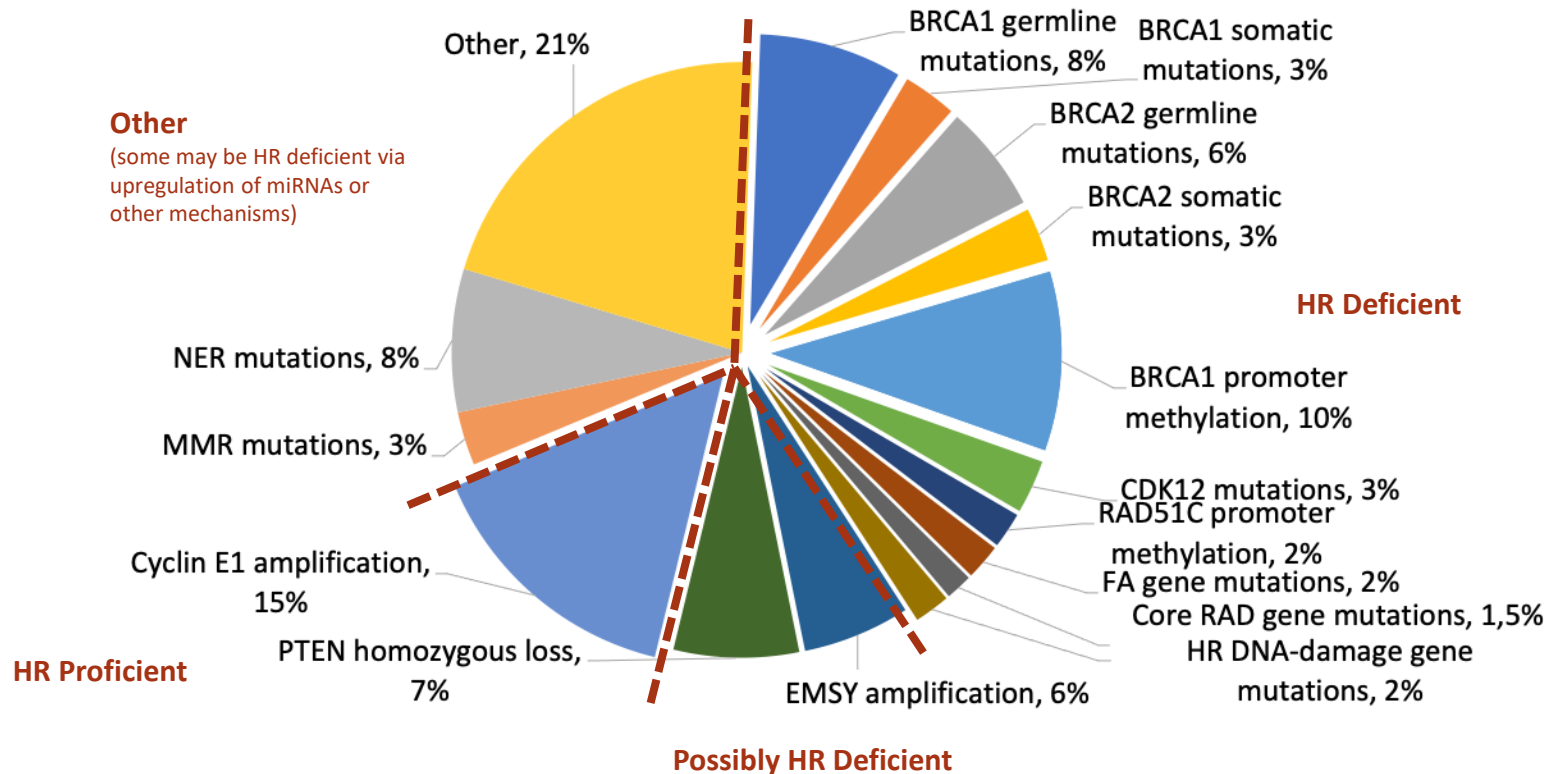
### Cerebro, resección:

- Diagnóstico integrado: Glioblastoma IDH nativo
- Clasificación histopatológica: Glioma astrocítico difuso
- Grado SNC OMS: 4
- Perfil molecular: IDH1/2 nativo, ATRX conservado, CDKN2A/B conservado, TERT nativo, EGFR no amplificado, firma citogenética +7/-10, H3.3 nativo, H3K27M nativo
- Hipermetilación del promotor de MGMT

# Caso 8.

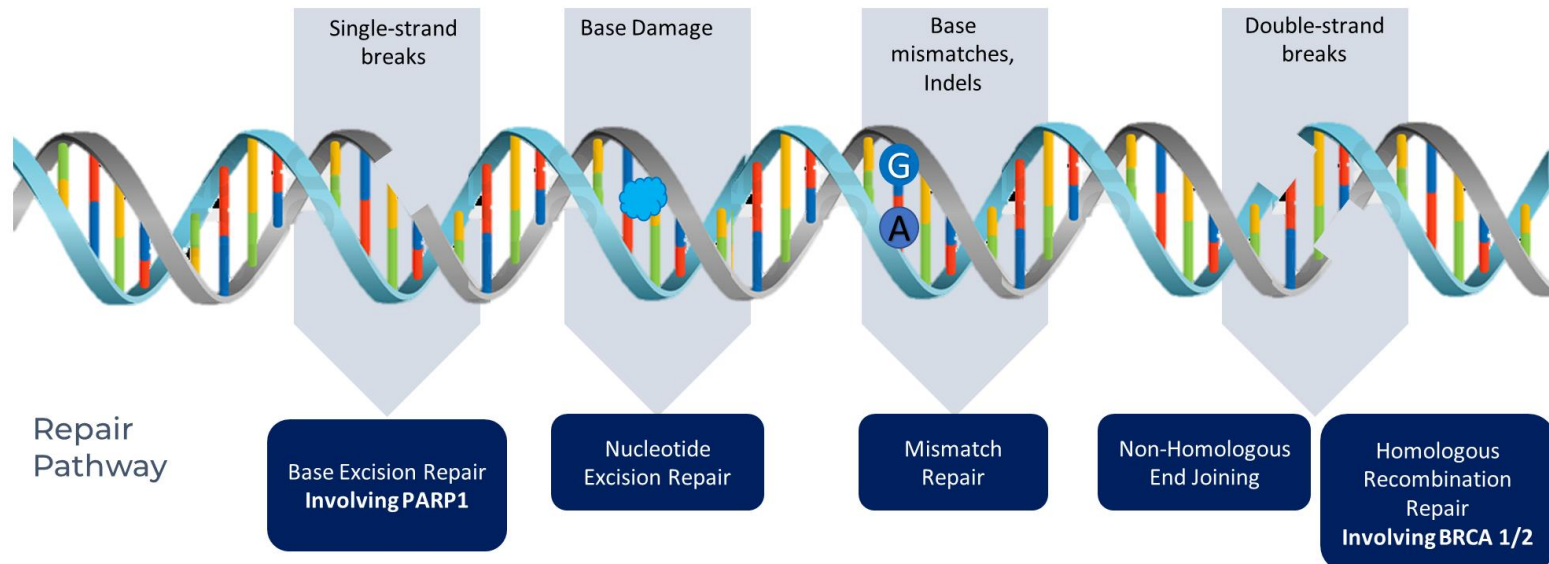
## Estudio de HRD en cáncer de ovario

# Molecular landscape in high grade epithelial ovarian cancer



# In healthy cells, DNA damage is repaired via 5 key pathways

Type of DNA Damage



# Synthetic lethality: PARP inhibitors in BRCA1/2 mutant cancer

NATURE | VOL 434 | 14 APRIL 2005

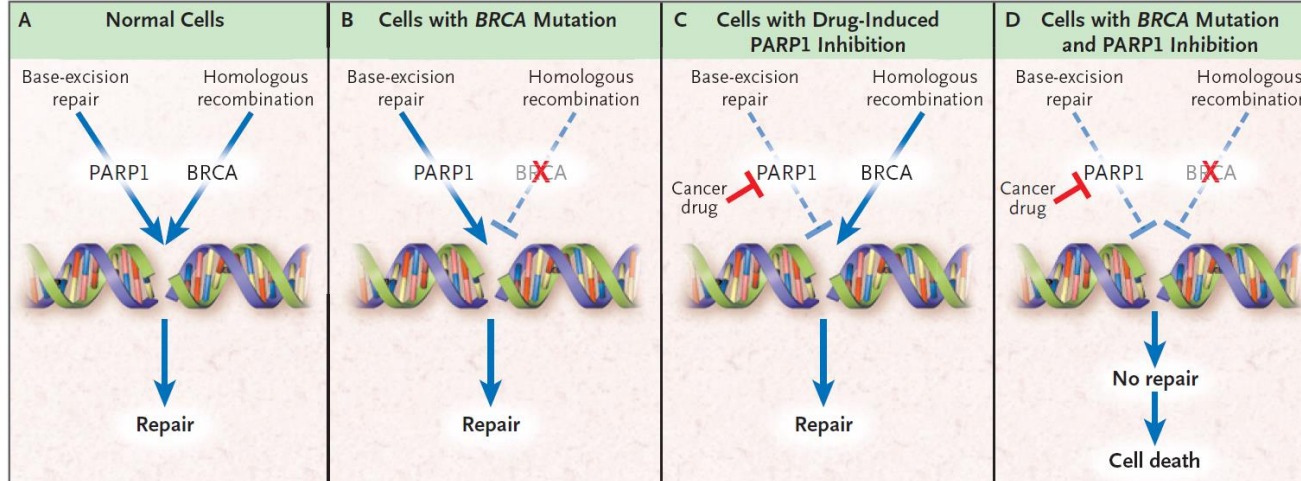
## Specific killing of BRCA2-deficient tumours with inhibitors of poly(ADP-ribose) polymerase

Helen E. Bryant<sup>1</sup>, Niklas Schultz<sup>2</sup>, Huw D. Thomas<sup>3</sup>, Kayan M. Parker<sup>1</sup>, Dan Flower<sup>1</sup>, Elena Lopez<sup>1</sup>, Suzanne Kyle<sup>3</sup>, Mark Meuth<sup>1</sup>, Nicola J. Curtin<sup>3</sup> & Thomas Helleday<sup>1,2</sup>

NATURE | VOL 434 | 14 APRIL 2005

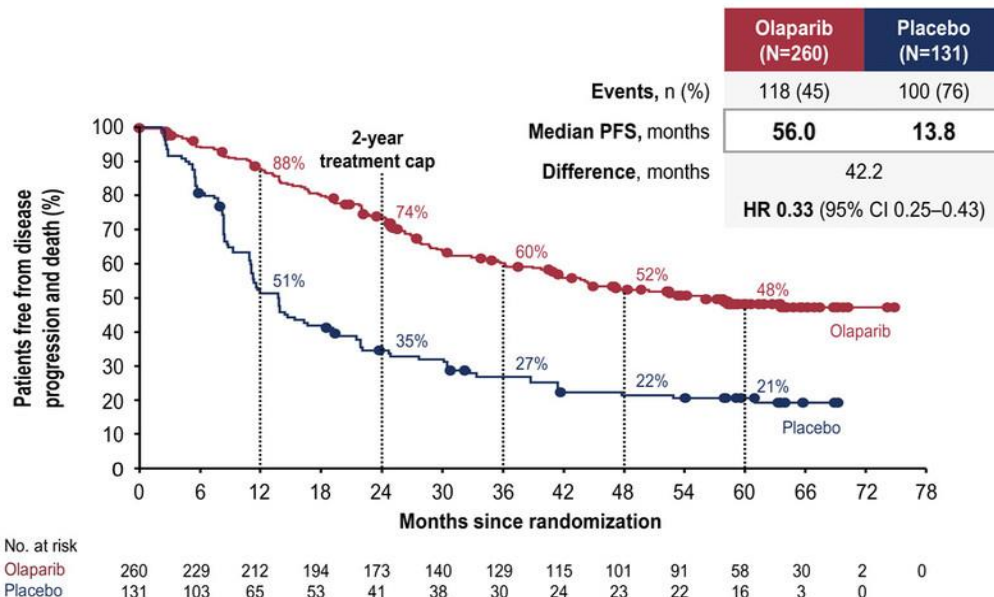
## Targeting the DNA repair defect in *BRCA* mutant cells as a therapeutic strategy

Hannah Farmer<sup>1,2\*</sup>, Nuala McCabe<sup>1,2†</sup>, Christopher J. Lord<sup>2\*</sup>, Andrew N. J. Tutt<sup>2,3</sup>, Damian A. Johnson<sup>2</sup>, Tobias B. Richardson<sup>2</sup>, Manuela Santarosa<sup>2†</sup>, Krystyna J. Dillon<sup>1</sup>, Ian Hickson<sup>4</sup>, Charlotte Knights<sup>4</sup>, Niall M. B. Martin<sup>4</sup>, Stephen P. Jackson<sup>4,5</sup>, Graeme C. M. Smith<sup>4</sup> & Alan Ashworth<sup>1</sup>



# SOLO-1: PFS in BRCAm HGOC

*Maintenance therapy with olaparib provided a substantial benefit with regard to PFS among women with newly diagnosed advanced ovarian cancer and a BRCA1/2 mutation*

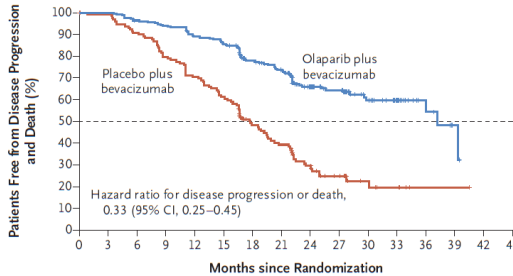


# PAOLA-1: PFS according to BRCA and HRD status

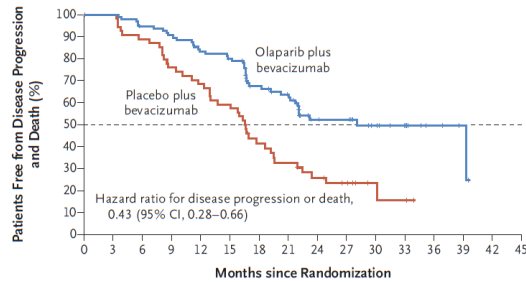
The PAOLA-1 trial in patients with advanced HGOC demonstrated that adding maintenance olaparib to bev provides a sustancial PFS benefit, particularly in HRD-positive patients and irrespective of BRCAm status

## HRD positive

C Patients with HRD Tumors, Including Those with a BRCA Mutation

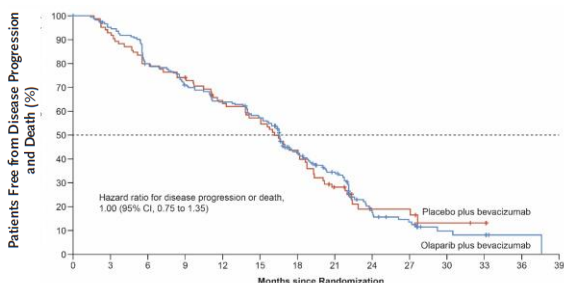


D Patients with HRD Tumors without a BRCA Mutation



## HRD negative

E Patients with HRD Tumors without a BRCA Mutation



	Olaparib + bevacizumab (n=255)	Placebo + bevacizumab (n=132)
Events, n (%)	87 (34)	92 (70)
Median PFS, months	37.2*	17.7
Δ Median PFS, months	19.5	
HR (95% CI)	0.33 (0.25–0.45)	

	Olaparib + bevacizumab (n=97)	Placebo + bevacizumab (n=55)
Events, n (%)	43 (44)	40 (73)
Median PFS, months	28.1*	16.6
Δ Median PFS, months	11.5	
HR (95% CI)	0.43 (0.28–0.66)	

	Olaparib + bevacizumab (n=282)	Placebo + bevacizumab (n=137)
Events, n (%)	193 (68)	102 (74)
Median PFS, months	16.9	16.0
Δ Median PFS, months	0.9	
HR (95% CI)	0.92 (0.72–1.17)	

# Las guías ESMO recomiendan considerar el test HRD para identificar pacientes de nuevo diagnóstico que puedan beneficiarse de terapias con PARPi



SPECIAL ARTICLE

## ESMO recommendations on predictive biomarker testing for homologous recombination deficiency and PARP inhibitor benefit in ovarian cancer

R. E. Miller<sup>1,2</sup>, A. Leary<sup>3</sup>, C. L. Scott<sup>4,5</sup>, V. Serra<sup>6</sup>, C. J. Lord<sup>7,8</sup>, D. Bowtell<sup>4,5</sup>, D. K. Chang<sup>9,10</sup>, D. W. Garside<sup>4,5</sup>, J. Jonkers<sup>11</sup>, J. A. Ledermann<sup>12</sup>, S. Nik-Zainal<sup>13,14</sup>, I. Ray-Coquard<sup>15,16</sup>, S. P. Shah<sup>17</sup>, X. Matias-Guiu<sup>18</sup>, E. M. Swisher<sup>19</sup> & L. R. Yates<sup>20,21\*</sup>

Available online 28 September 2020

En el contexto de un diagnóstico reciente, es **razonable utilizar una prueba validada de HRD basada en la cicatriz** para:

- Establecer la magnitud del beneficio conferido por el uso de iPARP en BRCAwt HGSC
- Identificar el subgrupo de pacientes con BRCAwt con menos probabilidades de beneficiarse del tratamiento con iPARP

HRD test	Test level of evidence	Clinical validity	Clinical utility	
			1L maintenance	PSR disease
Germline BRCA mutations	I	Good	Good	Good
Tumour BRCA mutations	I	Good	Good	Good
Somatic BRCA mutations	I/II	Good/fair	Good	Good
Non-BRCA HRR gene mutations	II	Marginal	No evidence	Marginal
HR genomic scar assays: GIS	I	Good	Good	Good
LOH	II	Good	No evidence	Good

En el contexto de un diagnóstico reciente, se recomienda de forma rutinaria la prueba g/sBRCAm para identificar a los pacientes con HGSC que deben recibir un iPARP

En la actualidad, la **cantidad de evidencia es insuficiente** para determinar la validez clínica de los genes individuales o de los paneles de **genes HRR no BRCA** para predecir la respuesta al iPARP y se necesitan más datos recopilados de forma prospectiva.

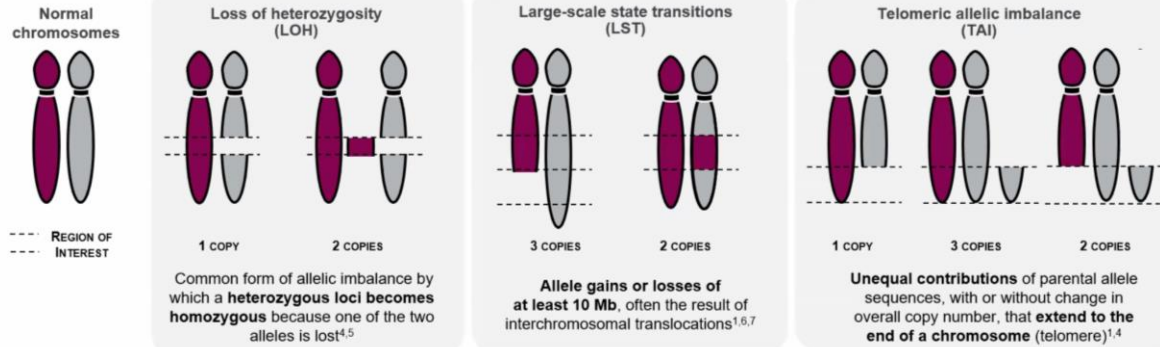
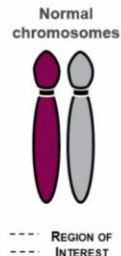
# Permanent footprint of genomic changes that causes genomic scars is used as an approach to identify HRD

Etiology of HRD      CAUSE      →      EFFECT      HRD phenotype

Tumor BRCA1/2 mutation

## Genomic Instability

### Measures of genomic instability



A single chromosome change can meet the definition for more than one measure of genomic instability.<sup>8</sup>

# HRD landscape: Commercial solutions

Myriad-based		Alternative Dx partner Kits									Academic LDTs					
Illumina TSO500 + HRD	Satellite Lab Myriad	AmoyDx HRD Focus	SOPHiA DDM HRD	Thermo Fisher Onco Scan	Thermo Fisher OCA+	QIAGEN QIAseq HRD Panel	F1CDx Roche	OncoDNA Onco DEEP	SeqOne HRD	Agilent CGH-array	sWGS Curie	LDT Baclesse	LDT CGFL	FOCI RAD51		
Availability	June 2022	Q4 2021	V1: Dec 2020 V2: Mar 2021	Feb 2022	Q4 2021	March 2021	Q4 2021	Before 2019	Sept 2022	No date	Yes	Yes	Yes	Sept 2022	No	
Algorithm	Myriad	Myriad	AmoyDx	Sophia Genetics	Thermo Fisher	No score	Qiagen	LOH Score	Integra-gen	SeqOne	Internal	Internal	internal	internal	IF	
Design	CGP+ HRD	HRD (GIS)	BRCA1/2 +HRD	28 HRR genes+sWGS	SNP Array (no BRCA)	CGP	15 HRR+ HRD	CGP+HRD	CGP+BRCA 1/2+ HRD score	HRR+sWGS	CGH-array	sWGS - HRD	CGP+ HRD	BRCA1/2 +sWGS	HRD	
Platform	Illumina NextSeq/ NovaSeq	Illumina Next/ NovaSeq	Illumina NextSeq NovaSeq	Illumina NextSeq	Affymetrix GeneChip	Thermo Fisher	Compatible with all major NGS platforms	NA	Twist Bioscience Illumina	Illumina Next/ NovaSeq	Agilent	Illumina Next/ NovaSeq	Illumina NextSeq	Illumina NextSeq	IF	

1. Pujade-Lauraine E, et al. *Int J Gynecol Cancer* 2021; **31** (Supplement 3): Abstract 201. 2. Ray-Coquard I, et al. *Ann Oncol* 2023; **34**: 681–692.

3. <https://investor.illumina.com/news/press-release-details/2022/Illumina-Launches-Research-Test-Codeveloped-with-Merck-to-Unlock-Deeper-Insights-into-the-Tumor-Genome/default.aspx> (accessed Aug 2023).

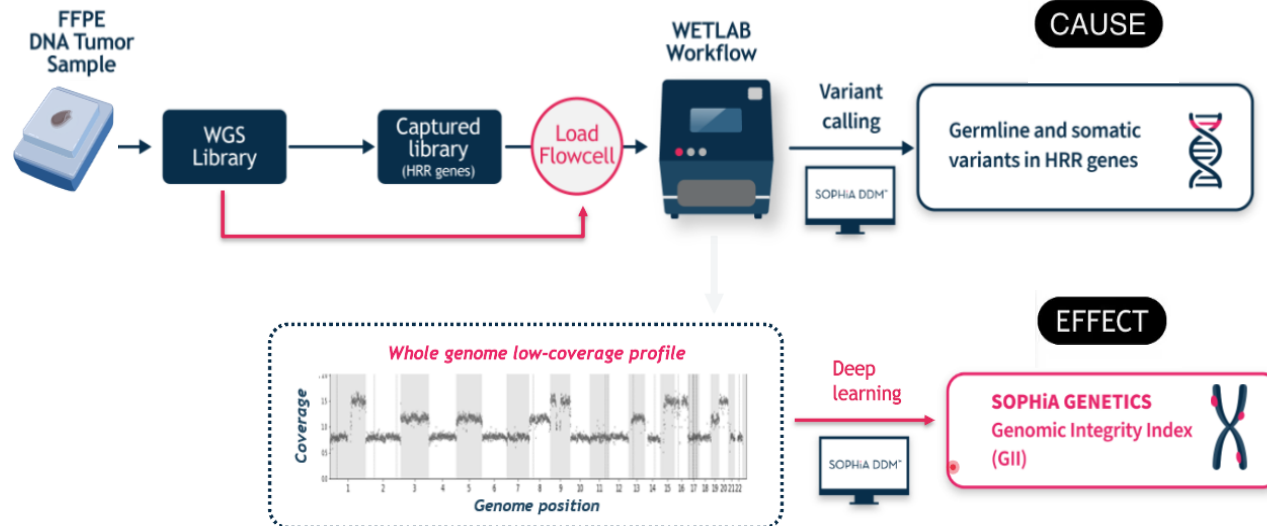
4. <https://emea.illumina.com/content/dam/illumina/gcs/assembled-assets/marketing-literature/tso500-HRD-data-sheet-m-gl-00748/tso500-HRD-data-sheet-m-gl-00748.pdf> (accessed Aug 2023).

5. Buisson A, et al. Presented at ESGO 2022. [Poster PA-065]. 6. Boidot R, et al. Presented at ESMO Gynaecological Cancers Congress 2023. [Abstract 39MO]. 7. Loverix L, et al. Presented at SGO 2022. [Oral 16].

8. Christinat Y, et al. *JCO Precis Oncol* 2023; **7**: e2200555. 9. Callejas C, et al. Presented at ESMO Gynaecological Cancers Congress. [Abstract 38MO]. 10. Leman R, et al. *Int J Gynecol Cancer* 2022; **32** (Supplement 2): A280.

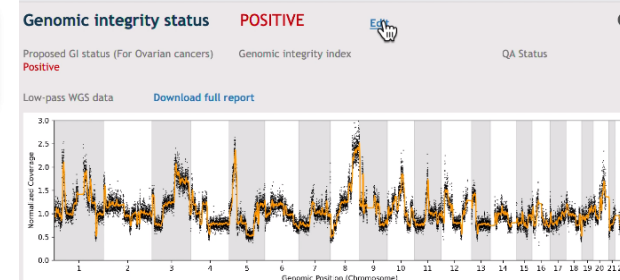
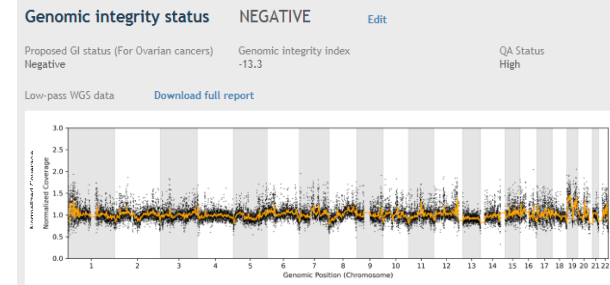
# Sophia HRD Solution: Gene Panel and Genomic Integrity analysis

Variant calls + Genomic integrity index = HRD status



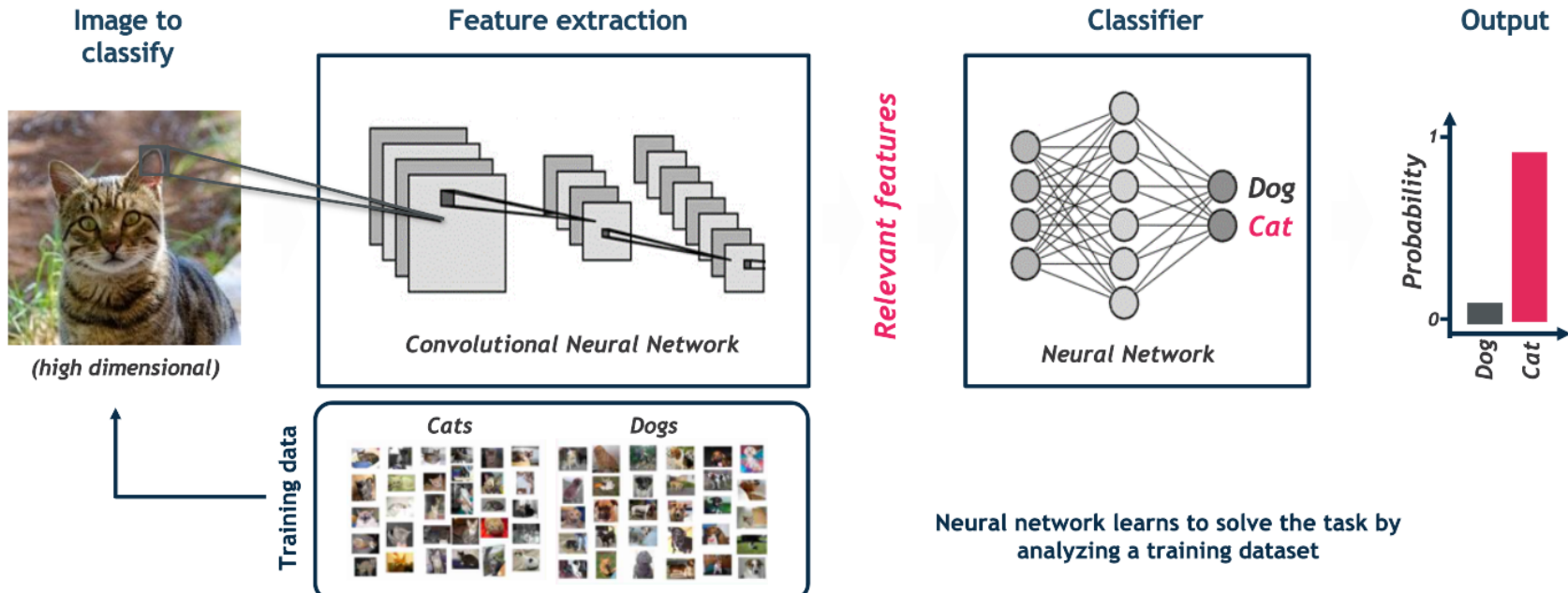
## HRR genes

AKT1	CDK12	FGFR1	PPP2R2A
ATM	CHEK1	FGFR2	RAD51B
BARD1	CHEK2	FGFR3	RAD51C
BRCA1	ESR1	MRE11	RAD51D
BRCA2	FANCA	NBN	RAD54L
BRIP1	FANCD2	PALB2	TP53
CCNE1	FANCL	PIK3CA	PTEN



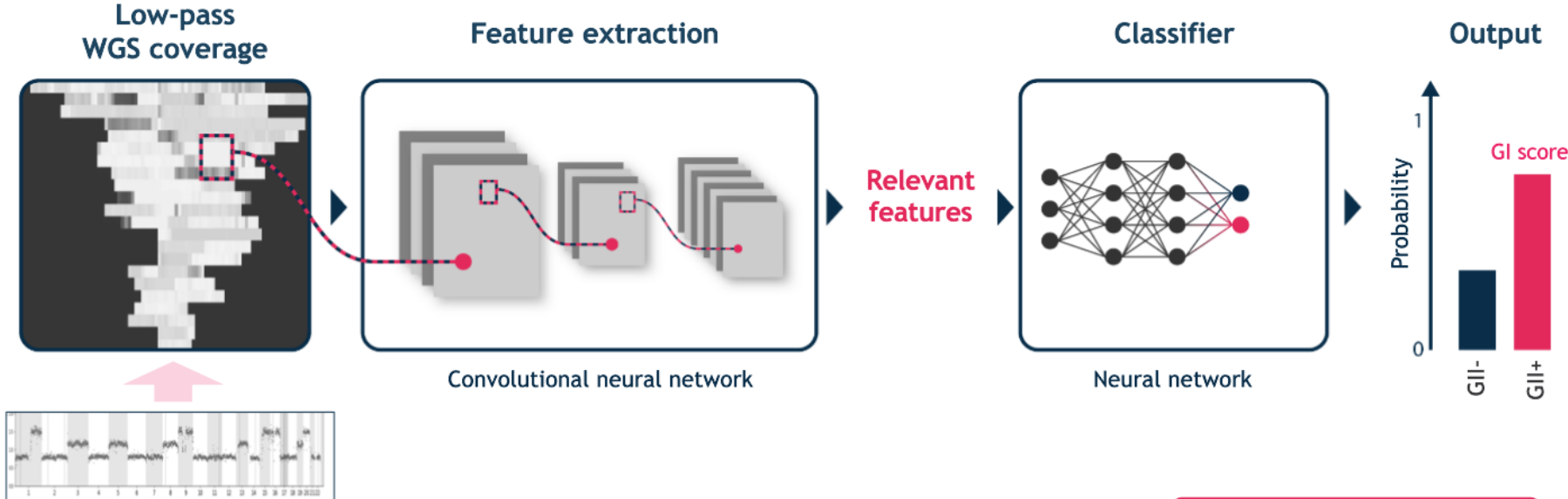
# Deep learning-based Sophia HRD solution

- Deep learning is a powerful tool to solve classification tasks (e.g., establish if an image shows a cat or a dog)
- Learn relevant features that in traditional algorithms were hand-engineered by experts



# Deep learning-based Sophia HRD solution

- Transform low-pass WGS (~1x) coverage profile into an “image”
- Use a convolutional neural network to classify images as HRD positive and HRD negative



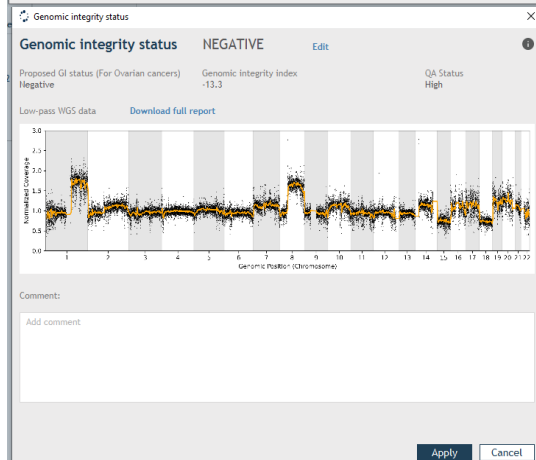
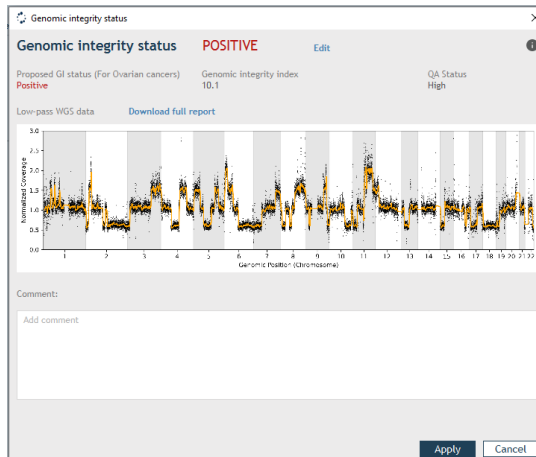
SOPHiA GENETICS  
Genomic Integrity Index



AVANTE

NOMBRE CURSO

# Sophia HRD solution: Analysis and report



**SOPHIA DDM**  
WORKSPACE Requests VDB ANALYSIS 822-349194 #30873-0034  
15/09/2022 FJD\_RUNS\_2022\_SEP-5- 822-349194 S1B

Patient Pathology (1) Ovarian cancer REPORTED 1/1 BRCAl SOPHIA DDM Dx Homologous Recombination Deficiency Solution somatic

Interpretation Scope HRD.v1 Virtual Panel GENES BRCAl

**Interpretation 1** SAMPLE #336018 B22-349194 < 18/18 RUN 15/09/2022 FJD\_RUNS\_2022\_SEP-5- 822-349194 S1B

**Overview** **OncoPortal** **Variants**

**SCREENING GENES SNVs/INDELS CNVs FUSIONS WARNINGS**

**SOPHIA Filters**

Score	Pathogenicity	Type	Position	Sample	Transcript	Protein	Exon	Position	1-SIFT	Phenomenon	FreqAmino	Cosmic	ClinVar	
Undetermined	SNP chr 13 #12510909	A	12251	42.9% BRCAl 21889 NM_000059.3	GAT	D	c.2417A>C	exon 11	0.854	-	0.0	-	-	
Negative	SNP chr 17 #1245227	A	1464	89.4% BRCAl 11979 NM_007294.3	TTC	L	c.2311T>C	exon 10	0.342	0.434	COSV58784443	133324	Benign	
Likely Pathogenic	SNP chr 17 #1234405	T	1435	88.1% BRCAl 11790 NM_007294.3	GAA	E	c.3113A>G	exon 10	0.353	0.5794	-	-		
Uncertain Significance	SNP chr 17 #1245466	C	10359	88.8% BRCAl 12219 NM_007294.3	GGA	G	c.2082C>T	exon 10	0.406	0.357	0.5763	41815	Benign	
Likely Benign	SNP chr 17 #1234470	A	1040	88.2% BRCAl 8890 NM_007294.3	TCT	S	c.4308T>C	exon 12	0.378	0.459	0.3654	133325	Benign	
Low Confidence Variants	SNP chr 13 #2913059	A	20375	100.0% BRCAl 20384 NM_000059.3	CTA	L	c.4563A>G	exon 11	0.927	0.991	COSV101203861	132728	Benign	
Flagged Variants	SNP chr 13 #2912299	T	14	100.0% BRCAl 21237 NM_000059.3	GTT	V	c.3807T>C	exon 11	0.974	0.9128	0.9753	126022	Benign	
	SNP chr 13 #2915000	G	6	100.0% BRCAl 21414 NM_000059.3	GTC	V	c.6513G>C	exon 11	0.9925	0.9904	0.9736	0.9128	0.9747	(18)

**OVERVIEW** **DETAILS** **VARIANT DESCRIPTION** **FLAGGING** **VIEWER** **SIMILAR PATIENTS** **WARNINGS** **SCORE LINE**

**Pathogenicity** **Accountability**

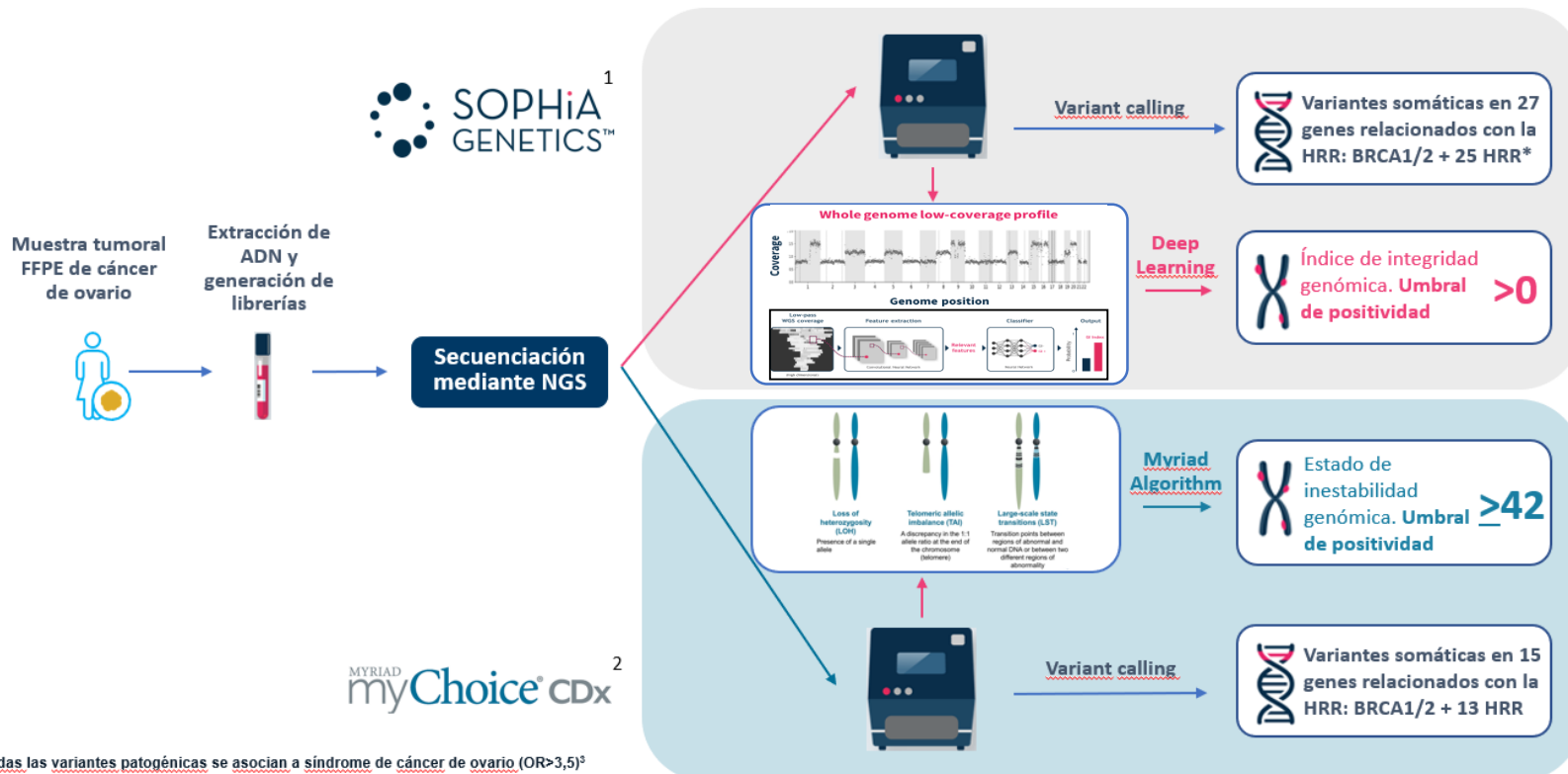
SNP: NM\_000059.3  
c.2417A>C  
p.(Asp80Ala)

**VIEWER**

**SCORE LINE**

**SNP** **1-SIFT 0.854** **ESP5400 0.01** **POLYPHEN2 0.01** **MutationTaster 0.01**

# Comparativa del HRD mediante los Kits HRD SOPHiA y Myriad MyChoice Dx Plus



# iD-BRCA HRD: Spanish Lab Network for BRCA/HRD testing



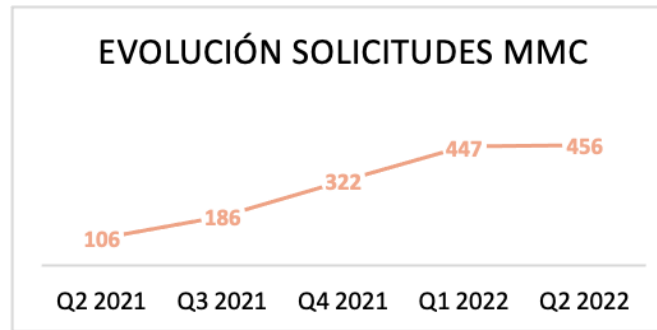
- Análisis de tejido tumoral
- Determinación de HRD mediante NGS (Sophia DDM HRD Solution o TSO500 Illumina)
- 4 centros:
  - ICO-HU. Bellvitge
  - H. Gral. Valencia
  - Fundación Jimenez Díaz
  - CHU Santiago
- (+1 adicional en 2023 → H. Clínico San Carlos)
- Reporte de resultados estandarizado

# Resultados del test HRD en España: Modelo *send out* Myriad myChoice CDx Plus



1 Más de 1300 muestras analizadas

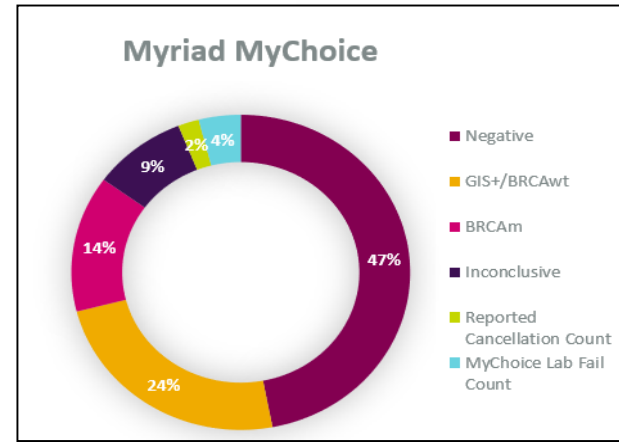
Centros con reunión de activación	106
Centros Firmados	97
Centros Activos en envío de muestras	90



Total  
1517

Analyzed  
1322

2 38% de las muestras fueron HRD +



HRD Positivity	HRD Negative	Undetermined
38%	47%	9%

# Experiencia test HRD en rutina en España reportada hasta el 2º semestre del 2023

## 1. Samples requested

### SAMPLE REQUEST EVOLUTION - LOCAL PLATFORM



2270

## 2. Report of results

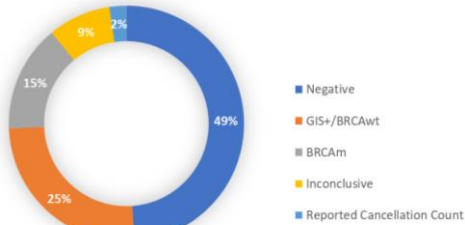


Max. TAT 4 weeks



202 Centers with access to local platform

## 3. Results BRCA/HRD local platform



2022

-

2023

## 4. Results of other genes HRR

HRR Gene	Prevalence
CCNE1 Amplification	5,8%
BRIP1	2,3%
PALB2	1,4%
Rad51c	1,1%
Rad51d	1,2%

N=2265

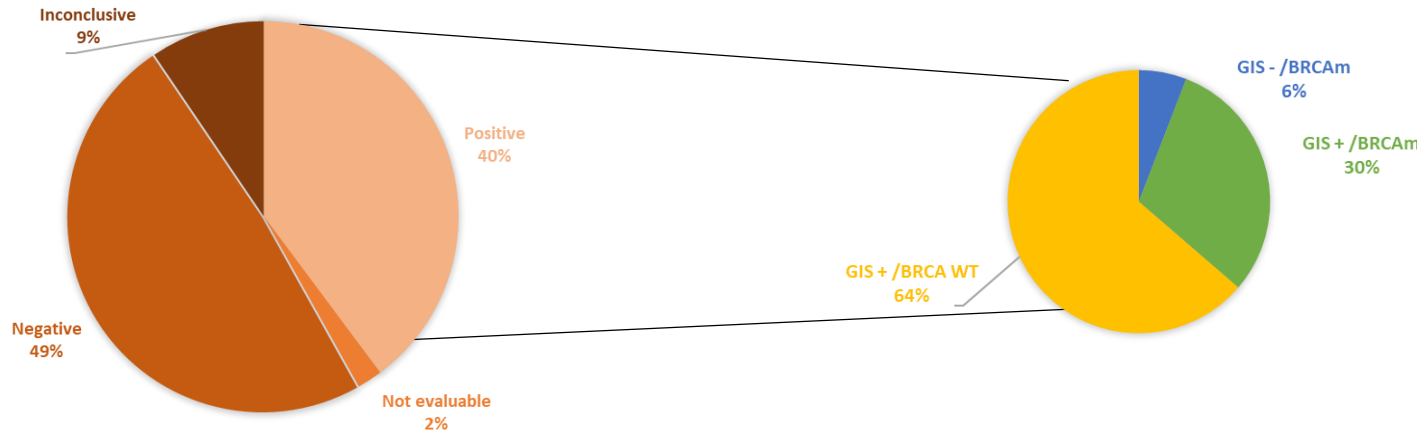
# Prevalencia de alteraciones en genes HRR vs GIS. Plataforma local



## Resultados de 5 genes HRR

HRR Gene	Frequency	GIS +	GIS -	Co-mutations
<b>CCNE1 Amplification</b>	5,32% (43)	11,6% (5)	88,4% (38)	1 (BRCA2)
<b>BRIP1</b>	2,35% (19)	36,80% (7)	63,2% (12)	1 (PALB2)
<b>PALB2</b>	1,98% (16)	62,5% (10)	37,5% (6)	4 (BRCA1) 3 (BRCA2) 1 (Rad51c) 1 (Rad51d)
<b>Rad51c</b>	1,11% (9)	33,3% (3)	66,6% (6)	1 (PALB2)
<b>Rad51d</b>	1,24% (10)	80% (8)	20% (2)	1 (PALB2)

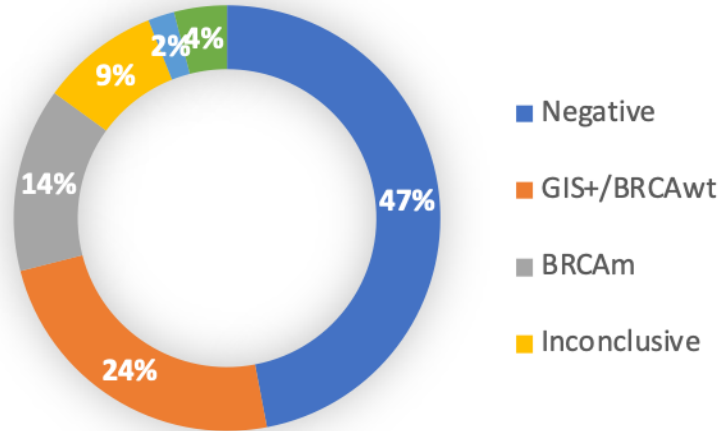
# Plataforma local HRD en España – 2538 muestras reportadas en el Q3 2022 – Q2 2023



Reference Site	Samples Reported	Inconclusive	Negative	Positive	Not Evaluable
Hospitals A ,B, C & D	2270	9% ( $\pm 3\%$ )	49% ( $\pm 1\%$ )	40% ( $\pm 3\%$ )	2% ( $\pm 3\%$ )

# Plataforma local HRD en España – 2538 muestras reportadas en el Q3 2022 – Q2 2023

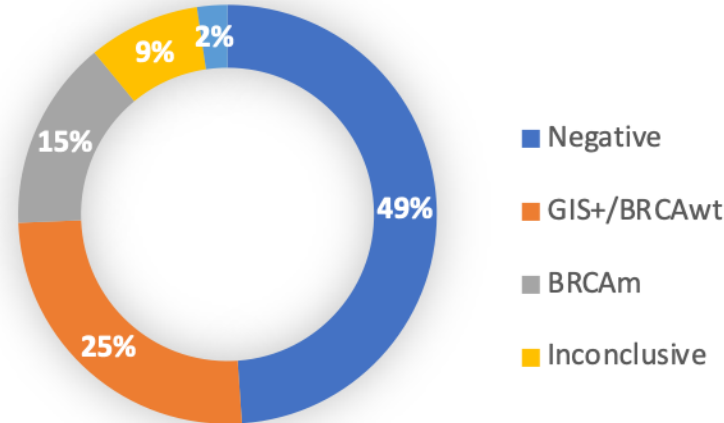
## Myriad MyChoice



Time: Q2 2021-Q2 2022

N= 1322

## Local platform



Time: Q3 2022-Q2 2023

N= 2270

# Caso 8

Mujer 54 años, sin antecedentes de interés

Estudiada en Medicina Interna por dolor abdominal desde mayo 22

TAC abdomino-pélvico 08/22. Hallazgos compatibles con neoplasia anexial de 123 x 85 mm, con carcinomatosis peritoneal y metástasis ganglionares, hepáticas y pulmonares.

Diagnóstico Oncológico 1: N. MALIGNA DE OVARIO T: 3  
N: x M: 1 Estadio: IV

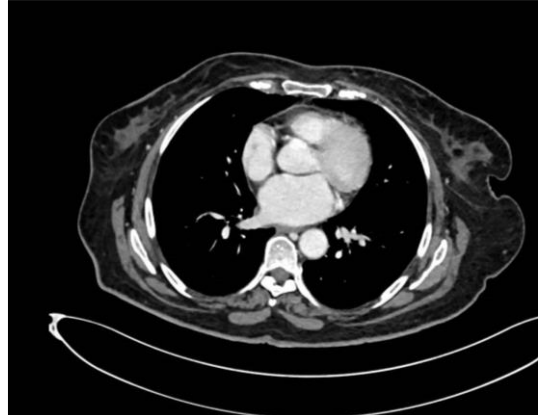
Laparoscopia diagnostica: CARCINOMA SEROSO DE ALTO GRADO de probable origen ovárico, tubárico o peritoneal.

Estudios complementarios p53: alterado (sobreexpresión). WT1: positivo difuso. PAX8: positivo difuso. Calretinina: negativo. Receptores de estrógenos: + focal Receptores de progesterona: negativo. p16: positivo intenso, continuo, difuso. CK7: positivo. CK20 negativo. PTEN: no se evidencia pérdida de expresión. Ki67: 49 %. ARID1A: no se evidencia pérdida de expresión. Líquido ascítico, citología: Citología positiva.

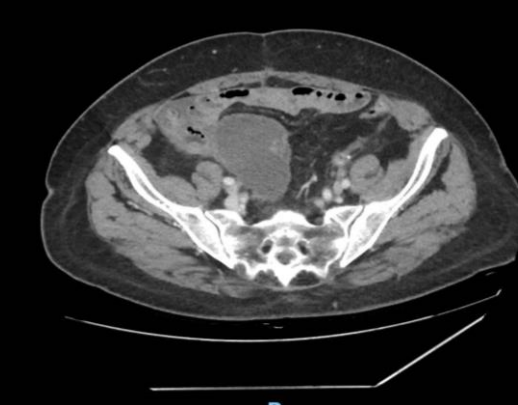
Inicia tratamiento 9/22: CBP + paclitaxel + BVZ x 6 y posterior BVZ de mantenimiento.

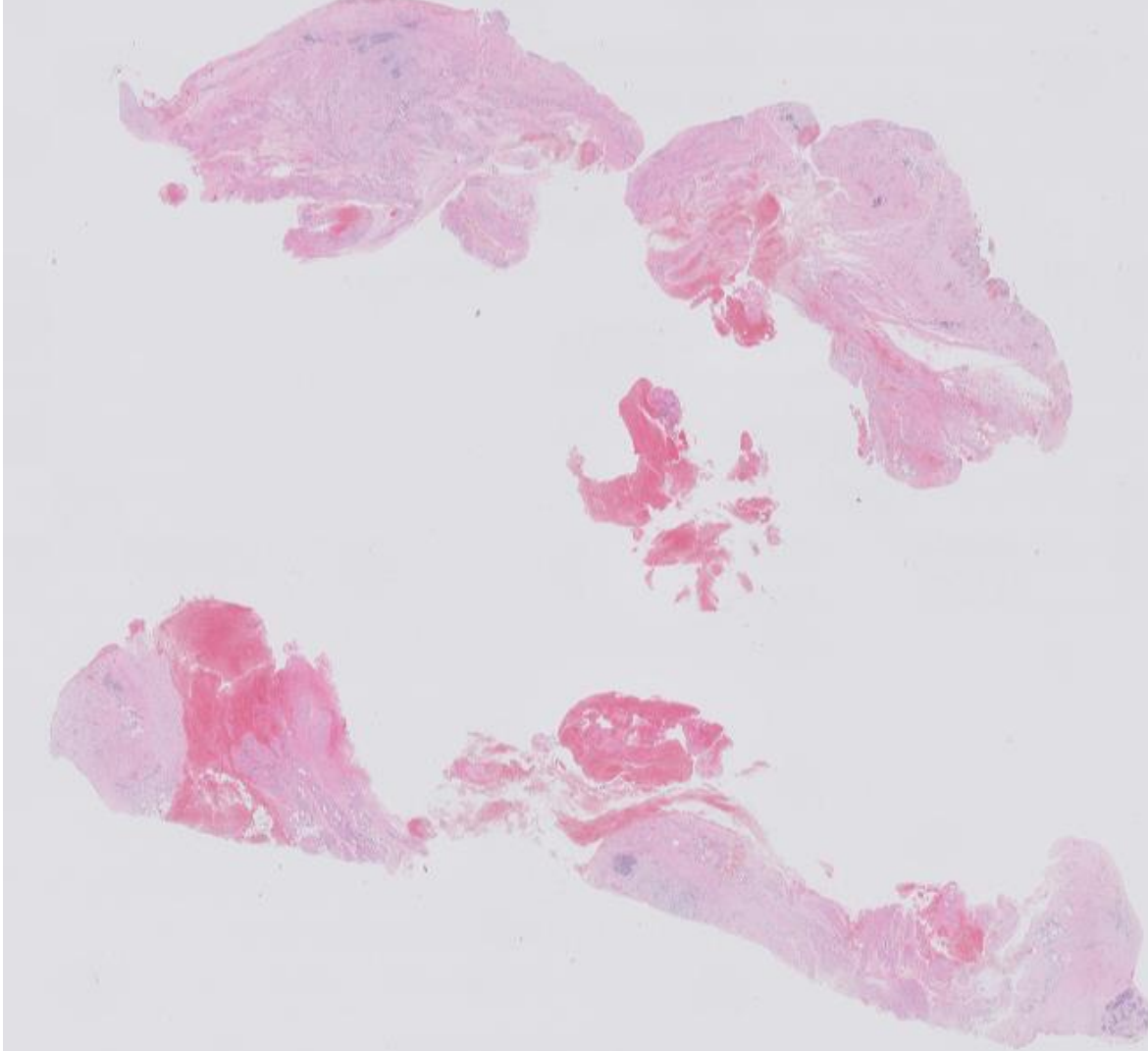
11/22 Mejoría clínica y radiológica, con disminución de los nódulos pulmonares, de la masa pélvica y de la ascitis.

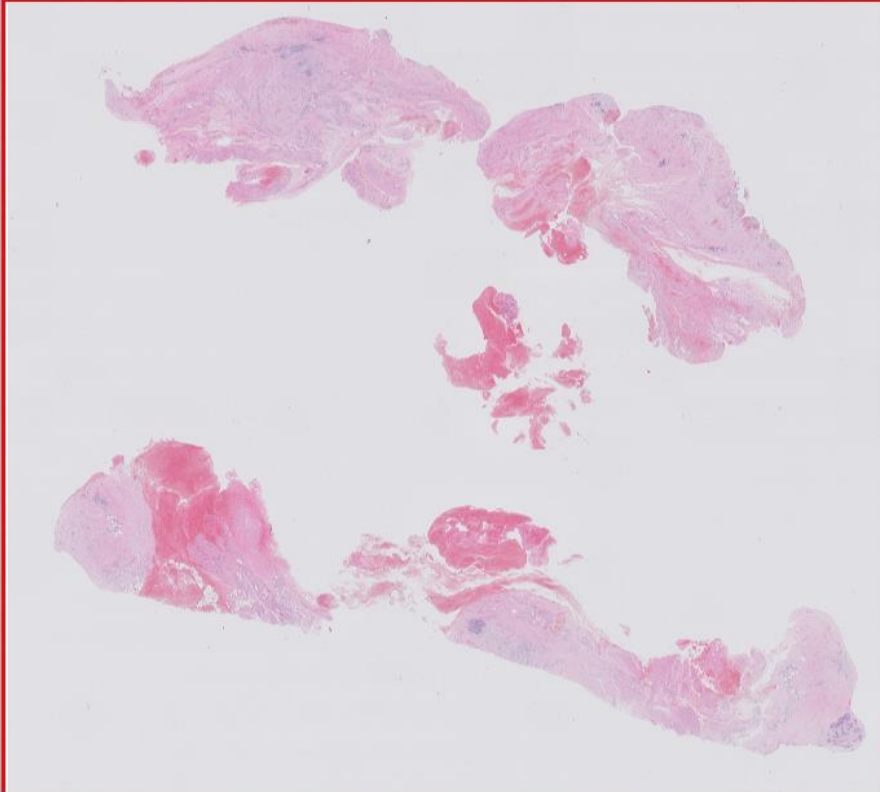
9/22

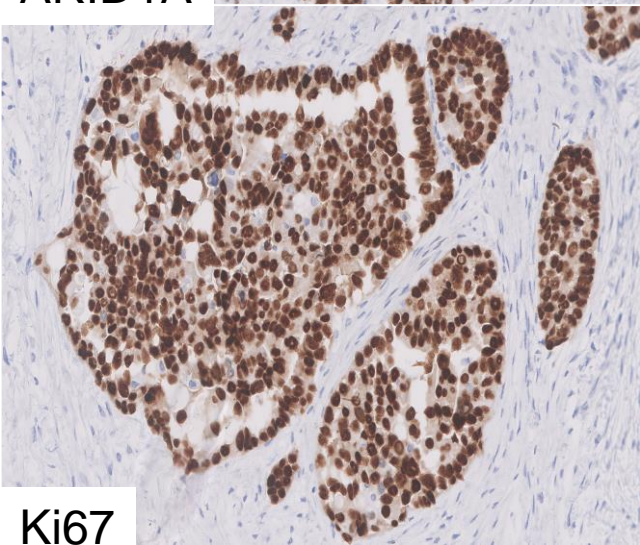
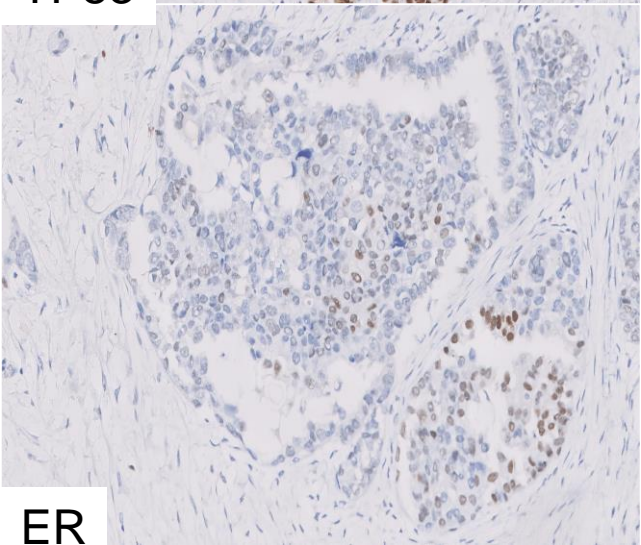
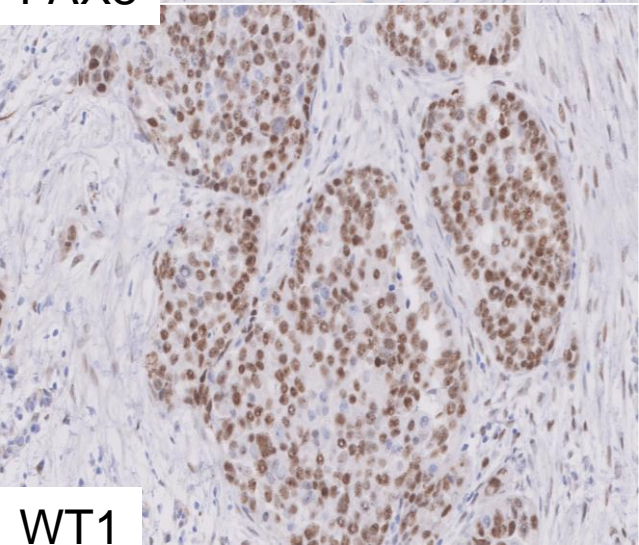
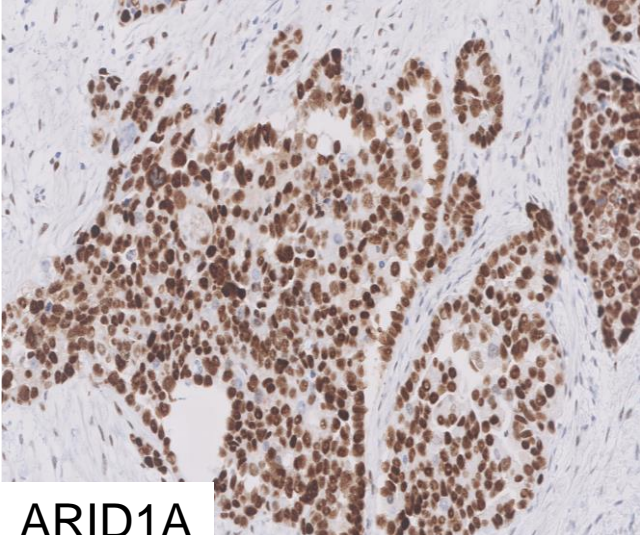
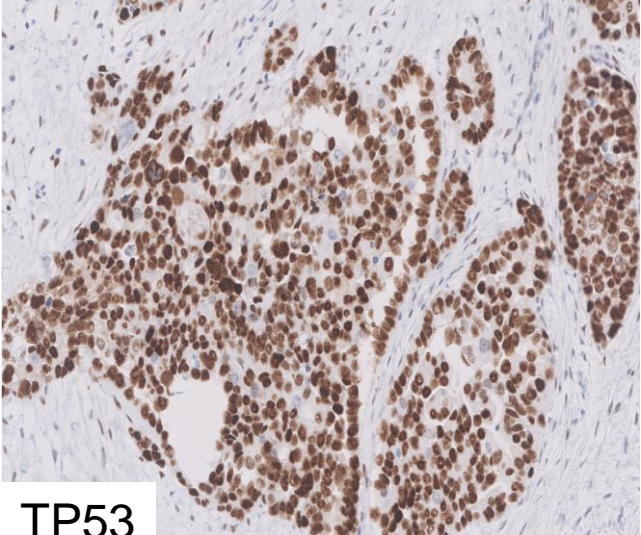
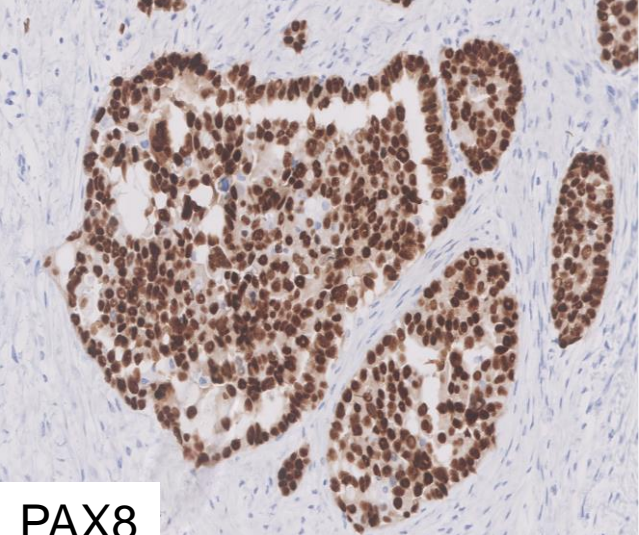


11/22







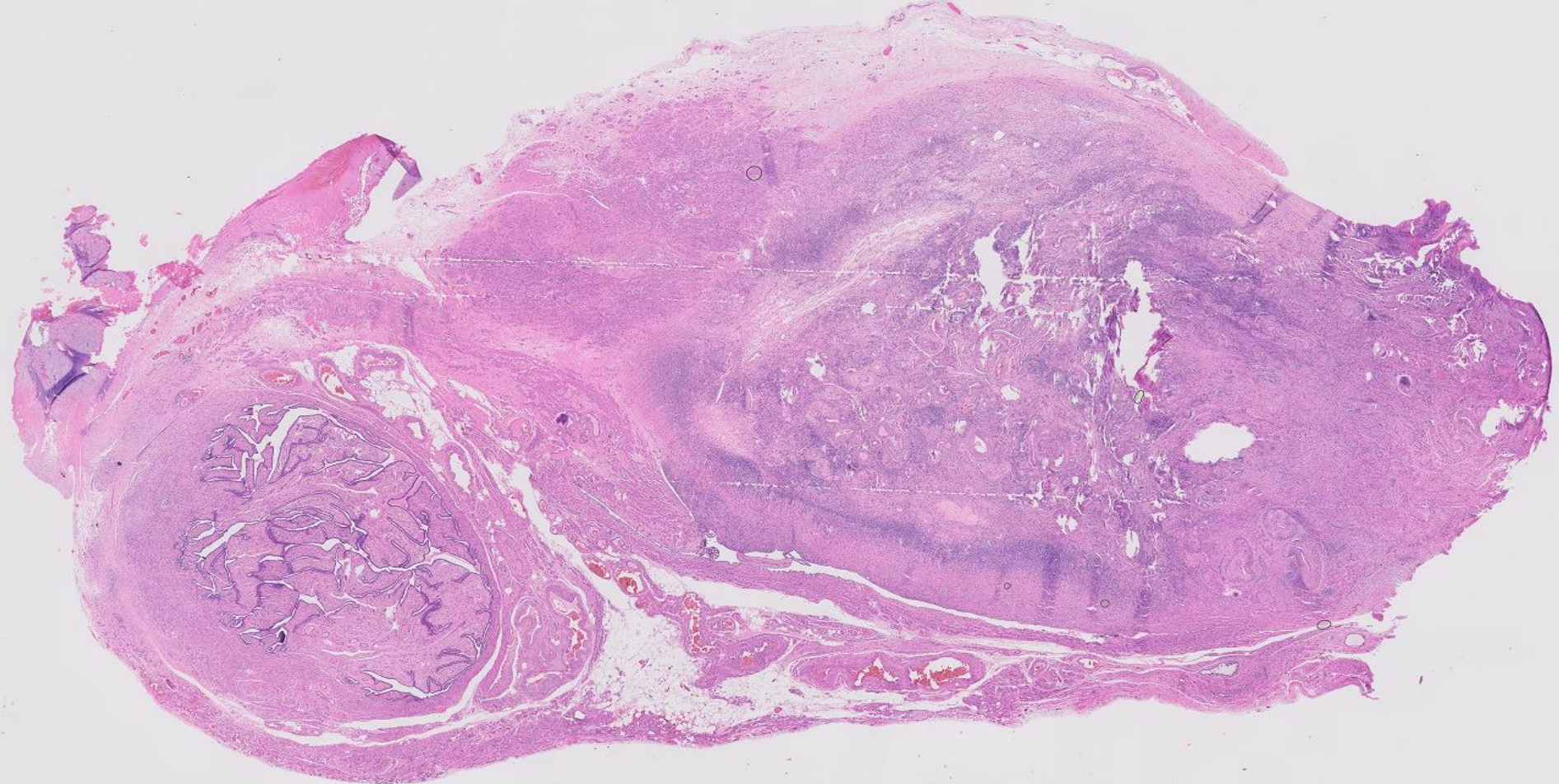


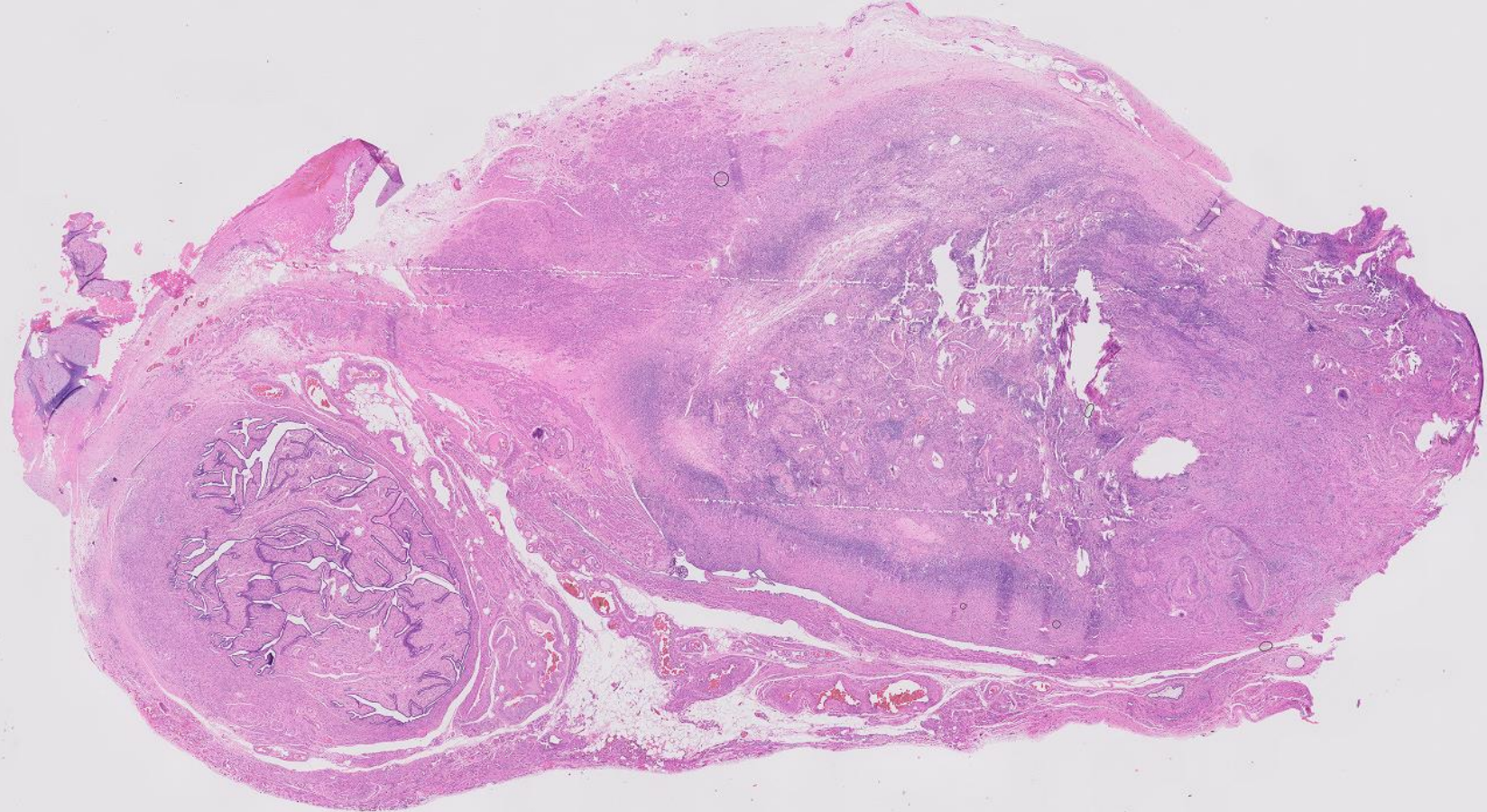
## **Tratamiento: Cirugía citorreductora tras 6 ciclos + SBRT nódulo pulmonar**

### **CARCINOMA SEROSO DE ALTO GRADO** presente en:

- OVARIO DERECHO: con extensa necrosis tumoral (más del 90 % de toda la tumoración) y presencia de carcinoma residual. Se identifica estroma ovárico residual en la periferia y remanente de pared tubárica atrapada en la fibrosis periférica.
  - TROMPA IZQUIERDA: afectación extrínseca de la pared por carcinoma.
  - BIOPSIA PERITONEAL: múltiples focos de carcinoma infiltrante (extensión del foco mayor de 12,3 mm).
  - LIGAMENTO REDONDO HEPÁTICO: se identifica carcinoma en la grasa alrededor del ligamento (extensión del carcinoma de 3 mm).
  - IMPLANTE MESO-COLON: fibrosis con mínimo foco de carcinoma residual ( menor de 1 mm).
  - EPIPLON: focos de carcinoma infiltrante en las lesiones macroscópicas de 7 cm y 3 cm. Presencia de un ganglio linfático en grasa de epiplon con infiltración por carcinoma.
  - No se ha visto invasión linfovascular.
- pTNM (8va ed.2017)/FIGO(2014): ypT3c/(IIIC) pN0 LO V0**

Efecto del tratamiento (2): Respuesta tumoral apreciable en el tumor viable, comprendiendo desde la regresión multifocal o difusa asociada a cambios fibroinflamatorios con tumor viable a la regresión extensa asociada a los cambios fibroinflamatorios con tumor residual multifocal.





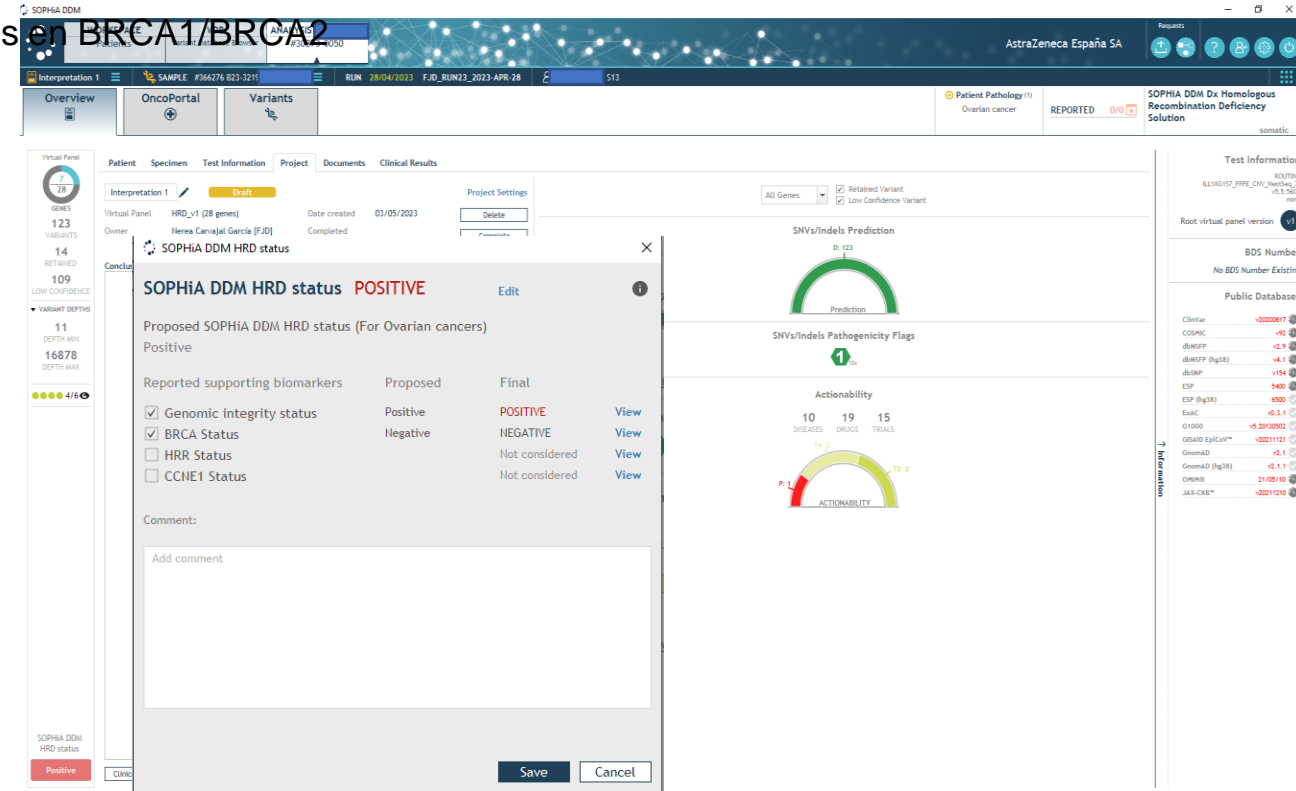
# SOPHiA DDM Dx HRD status: POSITIVO

Inestabilidad genómica (GIS): POSITIVO

Índice de inestabilidad genómica: 11.5 (valor de inestabilidad genómica mayor o igual a 0 confiere un GIS positivo)

## Mutaciones BRCA1/BRCA2:

No se han identificado mutaciones en BRCA1/BRCA2



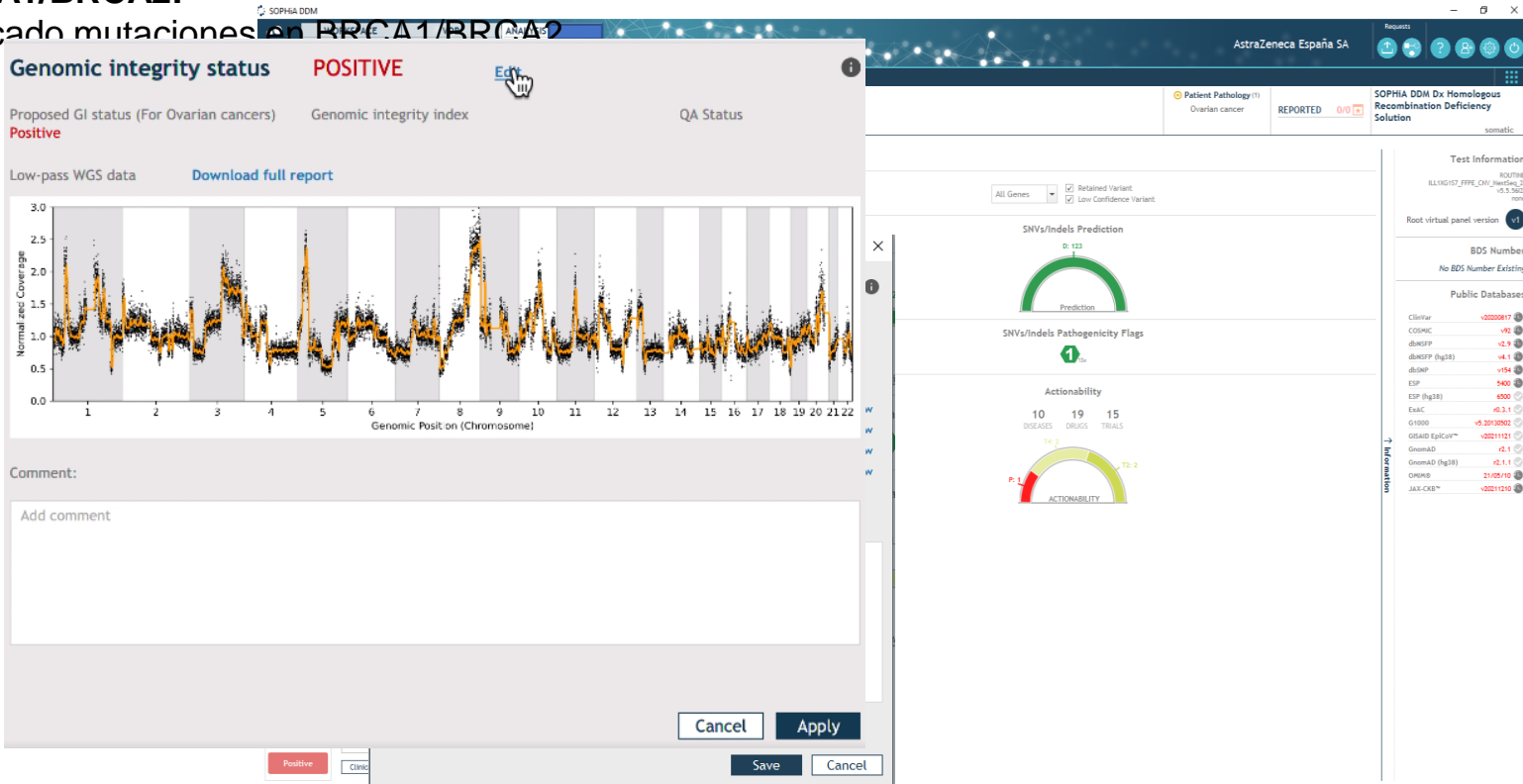
**SOPHiA DDM Dx HRD status: POSITIVO**

Inestabilidad genómica (GIS): POSITIVO

Índice de inestabilidad genómica: 11.5 (valor de inestabilidad genómica mayor o igual a 0 confiere un GIS positivo)

## Mutaciones BRCA1/BRCA2:

No se han identificado mutaciones en **BRCA1/BRCA2**



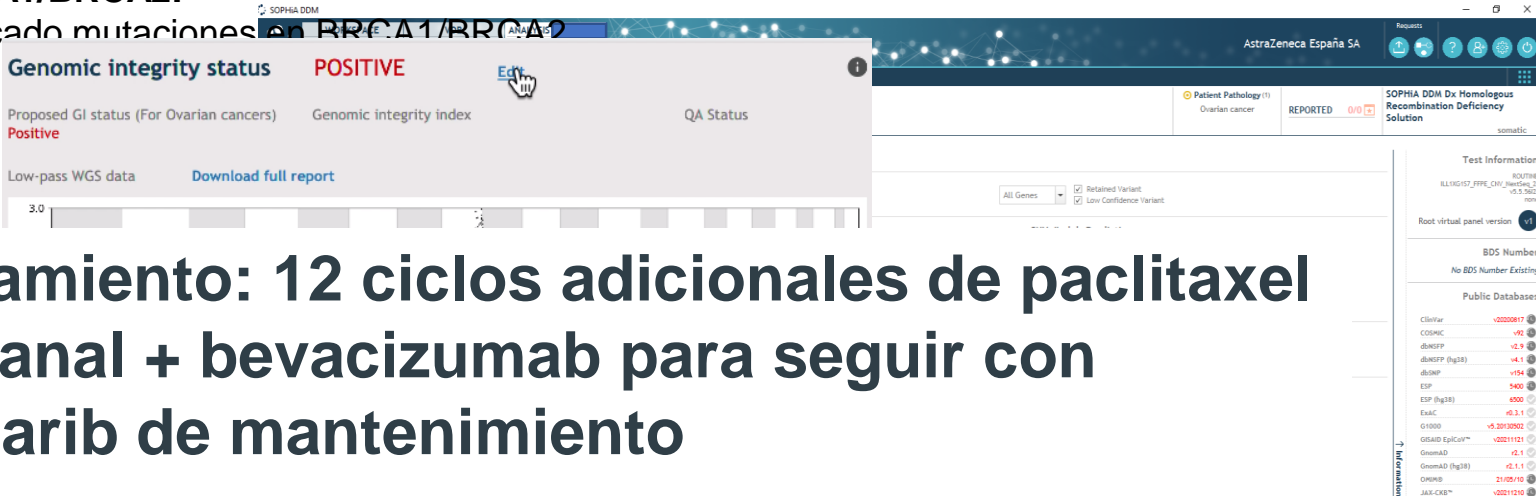
**SOPHiA DDM Dx HRD status: POSITIVO**

Inestabilidad genómica (GIS): POSITIVO

Índice de inestabilidad genómica: 11.5 (valor de inestabilidad genómica mayor o igual a 0 confiere un GIS positivo)

## Mutaciones BRCA1/BRCA2:

No se han identificado mutaciones en BRCA1/BRCA2



**Tratamiento: 12 ciclos adicionales de paclitaxel semanal + bevacizumab para seguir con olaparib de mantenimiento**

**5/23, sin evidencia de progresión**

FORMACIÓN **IAVANTE** Fundación Progreso y Salud

# CENTRO DE SIMULACIÓN **CLÍNICA AVANZADA**

@IAVANTE\_FPS | #IAVANTEsimulación | [www.iavante.es](http://www.iavante.es)



Gracias por su atención  
[www.IAVANTE.es](http://www.IAVANTE.es)